


Федеральное государственное бюджетное образовательное учреждение  
высшего профессионального образования  
"ЧЕЛЯБИНСКИЙ ГОСУДАРСТВЕННЫЙ УНИВЕРСИТЕТ"

  
На правах рукописи  
УДК 517.9

Шайхуллина Полина Алексеевна

**АНАЛИТИЧЕСКАЯ КЛАССИФИКАЦИЯ ПРОСТЕЙШИХ  
РОСТКОВ ПОЛУГИПЕРБОЛИЧЕСКИХ ОТОБРАЖЕНИЙ**

01.01.02 — Дифференциальные уравнения, динамические системы  
и оптимальное управление

Диссертация на соискание ученой степени  
кандидата физико-математических наук

Научный руководитель:  
доктор физико-математических наук, доцент С.М. Воронин

ЧЕЛЯБИНСК — 2019

# Содержание

Введение	4
<b>1 Схема решения и методы исследования</b>	<b>18</b>
<b>2 Формальная классификация</b>	<b>22</b>
2.1 Схема доказательства . . . . .	24
2.2 Предварительная формальная нормальная форма . . . . .	24
2.3 Второй шаг формальной нормализации . . . . .	29
2.4 Окончание доказательства теоремы о формальной классификации . . . . .	31
2.5 Единственность ФНФ и формальной нормализующей замены .	32
2.6 Доказательство следствий . . . . .	34
<b>3 Секториальная нормализация</b>	<b>35</b>
3.1 Выпрямляющие координаты . . . . .	35
3.2 Функциональные и гомологические уравнения . . . . .	37
3.3 Main Lemma . . . . .	39
3.4 Решение гомологических уравнений на $\tilde{W}_r$ . . . . .	49
3.5 Решение гомологических уравнений на $\tilde{W}_l$ . . . . .	64
3.6 Вспомогательные операторы . . . . .	75
3.7 Доказательство теоремы о секториальной нормализации . . . .	82
<b>4 Теорема об аналитической классификации</b>	<b>87</b>
4.1 Теорема об эквивалентности и эквимодальности . . . . .	87
4.2 Реализация . . . . .	92
<b>5 Следствия</b>	<b>101</b>
5.1 Необходимые и достаточные условия существования центрального многообразия . . . . .	101

5.2	Связь с одномерной динамикой . . . . .	103
5.3	Проблема включения . . . . .	104
<b>Заключение</b>		<b>109</b>
<b>Обозначения и соглашения</b>		<b>110</b>
<b>Список литературы</b>		<b>111</b>

# Введение

## Актуальность темы исследования

«бaccdae13eff7i3l9n4o4qrr4s8t12ux»

«Data aequatione quotcunque fluentes quantitae involvente fluxiones invenire et vice versa»

«Полезно решать дифференциальные уравнения» — так сформулировал одно из своих величайших открытий Ньютон, засекретив его в виде анаграммы в своём письме к Лейбницу [2], [40].

Однако уже в 19 веке выяснилось, что дифференциальные уравнения, как правило, не удаётся решить явно (в квадратурах). С целью преодоления этой трудности А. Пуанкаре в конце 19 века предложил следующую стратегию исследования дифференциальных уравнений: если уравнение не может быть решено, то нужно найти такую замену координат, чтобы уравнение имело по возможности более простой вид (нормальную форму). Тем самым он поставил два вопроса: к какому простейшему виду можно привести уравнение? как узнать, можно ли привести одно уравнение к другому заменой координат? Ответы на эти вопросы сильно зависят от классов рассматриваемых уравнений и замен. Обширная библиография по этим вопросам содержится в книгах [4]- [6], [9], [27], [61], [62], [64].

При исследовании дифференциальных уравнений, имеющих замкнутую траекторию, Пуанкаре предложил использовать так называемое «отображение первого возвращения» (first return map), часто называемое теперь отображением Пуанкаре, [43]. Это отображение тесно связано со свойствами исходного дифференциального уравнения. Подобная конструкция проходит и для монодромных особых точек векторных полей на плоскости. Более того, для аналитических векторных полей так же можно построить аналогичное отображение (комплексное преобразование монодромии, [1]).

Например, в работе [18] исследована орбитальная аналитическая классификация ростков седловых векторных полей на плоскости: преобразованию монодромии при обходе особой точки на сепаратрисе ставится в соответствие росток одномерного конформного отображения. Аналогичные связи исследовались в многочисленных работах: Брюно [8], Дюлака [17], Воронина [12]-[14], [16], [58], [59], [60], Мартине и Рамиса [39], и других.

Поэтому актуальной задачей является классификация отображений (дискретных динамических систем). Одним из методов их исследования также является метод нормальных форм.

### **Степень разработанности темы исследования**

В работах Пуанкаре [41]- [45] поставлена задача формальной и аналитической классификации векторных полей и отображений; там же проведена формальная классификация и получены условия аналитической приводимости к линейной нормальной форме (отсутствие резонансов и малых знаменателей). В начале 20-го века Дюлак [17] описал аналитическую классификацию ростков голоморфных векторных полей типа Пуанкаре в случае наличия резонанса. В работе Зигеля [19] доказана аналитическая линеаризуемость, в случае отсутствия резонансов, ростка векторного поля с особой точкой типа «седло» (ростки типа Зигеля), если его собственные значения образуют так называемый «Диофантов набор». Результаты Зигеля уточнили Брюно [7], [8], Йоккоз [61]. Таким образом неисследованными оставались ростки голоморфных векторных полей и отображений типа Зигеля в случае наличия резонанса.

Во многих работах изучалась расходимость нормализующих рядов: [1], [2], [7]- [10], [19]- [21], [25], [26], [46]. Фундаментальный результат был получен Брюно [7]- [10]. Он указал необходимые и достаточные условия, при которых формальная нормальная форма может быть выбрана сходящейся и нормали-

зующее отображение аналитично. Тем самым была решена задача об эквивалентности аналитической и формальной классификаций векторных полей и отображений. Однако открытым оставался вопрос: какова полная система инвариантов, совпадение которых необходимо и достаточно для аналитической эквивалентности двух ростков?

До 70-х годов двадцатого века в случае нелинейной формальной нормальной формы аналитическая теория развита не была даже в простейших случаях: в размерности 1 для отображений и 2 для векторных полей. Ответ на этот вопрос для отображений в размерности 1 был получен в 1981 году, независимо: в феврале Ворониным [11], в мае Экаллем [33], и в ноябре Мальгранжем [37]. В этих работах описана полная система функциональных инвариантов (модулей) ростков конформных параболических отображений.

Оказалось, что аналитическая классификация ростков одномерных конформных отображений  $x \mapsto x + ax^2 + bx^3 + \dots, a \neq 0$  имеет функциональные модули. В дальнейшем функциональные модули были обнаружены в других классификационных задачах: в задаче о классификации особых точек голоморфных слоений (седлоузлы [38] и резонансные седла [39]); в аналогичной задаче для векторных полей [15], [53], [54], [59]; в задаче о классификации исключительных разрешимых конечно порождённых групп ростков одномерных голоморфизмов [32], [64] и в других задачах [12], [23], [31], [47]- [50]...

В 1983 году в работе Мартине и Рамиса получена общая аналитическая классификация ростков одномерных резонансных голоморфных отображений [39]. На её основе там же была получена орбитальная классификация ростков двумерных резонансных векторных полей. Аналитическая орбитальная классификация седлоузлов была получена Мартине и Рамисом в [38]. Эта работа существенно использует результаты Хукухары, Кимуры, Матуда [35]. Позже Ворониным и Мещеряковой [15], [24] и, независимо, Тессье [55], была получена аналитическая классификация двумерных векторных полей с особой точкой типа седлоузел [15]; аналитическая классификация резонансных

сёдел исследовалась в работе [59].

Двумерные ростки голоморфных полугиперболических отображений рассматривались в работах Уеда [56], [57]. Для таких ростков было построено голоморфное секториальное центральное многообразие; при условии же существования «настоящего» голоморфного центрального многообразия были получены некоторые частные результаты аналитической классификации. А именно: построены голоморфные нормализующие отображения в полуинвариантных областях (инвариантных относительно отображения или обратного к нему); построен одномерный функциональный инвариант. Отметим, что в многомерных задачах аналогичные результаты о нормализации на полуинвариантных областях для произвольных резонансных ростков типа Зигеля были получены Столовичем [51], [52].

Вопрос о существовании голоморфных инвариантных многообразий рассматривался в работах [6], [9], [38] и других.

## **Цели и задачи**

Целью диссертации является исследование аналитической классификации простейших ростков полугиперболических отображений.

## **Научная новизна**

Результаты диссертации являются новыми. Основные из них состоят в следующем:

1. Получена аналитическая классификация ростков полугиперболических отображений в простейшем случае.
2. Разработан оригинальный метод решения простейшего функционального уравнения со специальной правой частью в области типа «криволинейная полоса», дающий асимптотическую оценку решения. Данный ме-

тод позволяет построить полную аналитическую классификацию ростков полугиперболических отображений в размерности 2.

3. Исследована связь аналитической классификации двумерных полугиперболических отображений с аналитической классификацией ростков седло-узловых голоморфных векторных полей на плоскости и ростков одномерных параболических отображений, касательных к тождественному.

### **Теоретическая и практическая значимость работы**

Результаты диссертации носят теоретический характер. Её значимость заключается как в решении конкретной задачи о классификации, так и в возможности применения разработанного метода к решению близких задач (например, аналитической классификации ростков седло-узловых голоморфных векторных полей в размерности 3 или ростков полугиперболических отображений в размерности выше 2).

### **Методология и методы исследования**

Для построения нормализующих отображений в секториальных областях использован метод сжимающих отображений. Для построения функциональных инвариантов используется традиционная система, основанная на построении нормализующего атласа. Для доказательства теоремы о реализации применена теория почти комплексных структур.

### **Положения выносимые на защиту**

1. Доказана теорема о строгой аналитической классификации простейших ростков полугиперболических отображений; в частности, построены функциональные модули аналитической классификации;



2. Получены необходимые и достаточные условия существования голоморфного центрального многообразия простейших ростков полугиперболических отображений; в случае существования такого многообразия исследована связь с модулями Экалля-Воронина аналитической классификации ростков одномерных конформных отображений, касательных к тождественному;
3. Получены необходимые и достаточные условия включаемости простейшего ростка полугиперболического отображения в поток; исследована связь модулей построенной классификации с модулями Мартине-Рамиса и Мещеряковой-Тессье аналитической классификации ростков седло-узловых векторных полей.

### **Степень достоверности и апробация результатов**

1. Результаты диссертации докладывались и обсуждались на семинарах кафедры математического анализа Челябинского государственного университета (рук. д.ф.-м.н., проф. В. Е. Федоров);
2. Международная конференция «Дифференциальные уравнения и смежные вопросы», г. Москва, 29 мая - 4 июня 2011 г.;
3. Международная конференция «Комплексный анализ, математическая физика и нелинейные уравнения», оз. Банное, респ. Башкортостан, 12-16 марта 2018 г.;
4. Международная конференция по дифференциальным уравнениям и динамическим системам, г. Суздаль, 6-11 июля 2018 г.;
5. Международная конференция «Вещественные и комплексные динамические системы», г. Москва, 26-30 ноября 2018 г.

Все результаты диссертации получены лично автором. В совместных работах с С. М. Ворониным научному руководителю принадлежат постановка задачи и общее руководство.

## Структура и объём диссертации

Диссертационная работа содержит введение, пять глав, список обозначений и список литературы. Список литературы не претендует на полноту и отражает лишь личные вкусы автора. Работа поддержана грантом РФФИ 17-01-00739А.

## Краткое содержание диссертации

**Введение** содержит постановку задачи и основные определения, историографию вопроса, актуальность темы исследования, новизну полученных результатов, методы исследования, краткое содержание, апробации.

В **первой главе** описаны этапы решения задачи и собраны понятия и факты, которые так или иначе используются при доказательстве основных результатов диссертации.

В работе рассматриваются ростки голоморфных отображений  $(\mathbb{C}^2, 0) \rightarrow (\mathbb{C}^2, 0)$ . Как обычно, два отображения  $F$  и  $\tilde{F}$  с различными областями определения  $U, \tilde{U}$  будем называть *аналитически эквивалентными*, если существует голоморфная замена координат  $H : \tilde{U} \rightarrow U$ , сопрягающая  $\tilde{F}$  с  $F$ :

$$F \circ H = H \circ \tilde{F} \quad (0.0.1)$$

Эквивалентность будем называть *строгой*, если сопрягающая замена координат  $H$  имеет вид:

$$H(x, y) = (x + o(x^2), y + o(x)), \quad x \rightarrow 0 \quad (0.0.2)$$

Замены координат вида (0.0.2) будем называть *нормированными*.

Два ростка будем называть *строго аналитически эквивалентными*, если существуют их строго аналитически эквивалентные представители.

Два ростка  $F$  и  $\tilde{F}$  будем называть строго *формально* эквивалентными, если существует формальная нормированная замена координат  $H$ , для которой (0.0.1) верно как равенство формальных рядов.

Росток отображения неподвижной точке  $(0, 0)$ , а так же его представитель, называют *полугиперболическим*, если один из его мультипликаторов в этой точке гиперболический (не равный по модулю нулю или единице), а другой — параболический (равен единице).

Полугиперболический росток  $\mathbf{F}$  или его представитель  $F$  будем называть *типичным*, если в его разложении

$$F(x, y) = (x + cx^2 + \dots, \Lambda y + \dots), \text{ где } |\Lambda| \neq 0, 1, (x, y) \rightarrow (0, 0) \quad (0.0.3)$$

постоянная  $c$  не равна нулю. Например, росток  $\mathbf{F}_\lambda$  отображения

$$F_\lambda : (x, y) \mapsto \left( \frac{x}{1-x}, e^\lambda y \right), \lambda \in \mathbb{R}_+$$

является типичным полугиперболическим.

Пусть  $\mathbf{F}_\lambda$  — класс ростков, строго формально эквивалентных ростку  $\mathbf{F}_\lambda$ . Ростки этого класса будем называть *простейшими*. Росток  $\mathbf{F}_\lambda$  будем называть *нормальной формой* класса  $\mathbf{F}_\lambda$ . Объектом исследования в диссертации являются именно ростки класса  $\mathbf{F}_\lambda$ .

Обозначим  $\mathbf{SH}$  класс типичных ростков полугиперболических диффеоморфизмов. Из теоремы Адамара-Перрона [4] следует, что для диффеоморфизма класса  $\mathbf{SH}$  существует одномерное голоморфное инвариантное многообразие. Выпрямляя его, без ограничения общности можем считать, что оно совпадает с прямой  $\{x = 0\}$ . Класс ростков из  $\mathbf{SH}$ , инвариантное многообразие которых совпадает с прямой  $\{x = 0\}$ , будем обозначать  $\mathbf{SH}_0$ .

Во **второй главе** построена формальная классификация ростков класса  $\mathbf{SH}_0$ .

**Теорема 0.0.1** (о полуформальной нормализации). *1. Для ростка  $\mathbf{F} \in \mathbf{SH}$  существует единственный набор комплексных чисел  $(a, \lambda, \beta)$  такой,*

что  $\mathbf{F}$  формально эквивалентен  $\mathbf{F}_{a\lambda\beta}$ , где  $F_{a\lambda\beta} = g_{\omega_{a\lambda\beta}}^1$  — сдвиг за единичное время вдоль векторного поля

$$\omega_{a\lambda\beta} = v_a(x) + y(\lambda + \beta v'_a(x)) \frac{\partial}{\partial y}, \quad (a, \lambda, \beta) \in \mathbb{C}^3$$

где  $v_a(x) = \frac{x^2}{1+ax} \frac{\partial}{\partial x}$ ,  $\text{Im } \lambda \in [0; 2\pi)$ ,  $\text{Re } \lambda \neq 0$ .

2. Для представителя  $F$  ростка  $\mathbf{F} \in \mathbf{SH}_0$  формальное нормализующее преобразование является полуформальным. А именно: нормализующий ряд  $H(x, y)$  является формальным по переменной  $x$  с аналитическими (в одной и той же области) по переменной  $y$  коэффициентами.

**Замечание 0.0.1.** Заметим, что класс  $\mathbf{F}_\lambda$  является подклассом  $\mathbf{SH}_0$  при значениях параметров  $a = \beta = 0$ ,  $\lambda \in \mathbb{R}_+$ . Тем самым часть задачи диссертации выполнена в более общем виде, чем заявлено.

Будет показано также, что формальная нормализующая замена единственна с точностью до «суперпозиционного» домножения на сдвиг  $g_{\omega_{a,\lambda,\beta}}^t$  за фиксированное время  $t \in \mathbb{C}$  и растяжения  $(x, y) \mapsto (x, ky)$ ,  $k \neq 0$ . В частности, отсюда следует, что:

**Замечание 0.0.2.** Полуформальная нормированная нормализующая замена координат единственна.

В **третьей главе** построены секториальные нормированные нормализующие отображения (т.е. голоморфные замены координат, строго сопрягающие нормальную форму  $\mathbf{F}_\lambda$  с ростком класса  $\mathbf{F}_\lambda$  на секториальных областях).

**Определение 0.0.1.** Будем называть левой секториальной областью  $S^l$  на  $\xi$ -плоскости дополнение к выпуклой оболочке объединения диска  $B_R \stackrel{\text{def}}{=} \{|\xi| \leq R\}$ , области, лежащей «справа» от прямой  $L_{R+3} \stackrel{\text{def}}{=} \{\xi \in \mathbb{C} : \text{Re } \xi = R+3\}$  (для любого  $\xi$  из области «справа» выполнено:  $\text{Re } \xi > R+3$ ) и сектора  $\{\xi \in \mathbb{C} : |\arg \xi| \leq \tilde{\delta}\}$ .

**Определение 0.0.2.** Будем называть левой верхней  $S_1$  (нижней  $S_2$ ) секториальной областью на  $\xi$ -плоскости пересечение  $S^l$  и полуплоскости  $\{\xi \in \mathbb{C} : \delta < \arg \xi < \pi + \delta\}$  ( $\{\xi \in \mathbb{C} : \pi - \delta < \arg \xi < 2\pi - \delta\}$ ).

**Определение 0.0.3.** Будем называть правой верхней  $S_4$  (нижней  $S_3$ ) секториальной областью на  $\xi$ -плоскости пересечение области «справа» от прямой  $L_R \stackrel{\text{def}}{=} \{\xi \in \mathbb{C} : \operatorname{Re} \xi = R\}$  и полуплоскости  $\{\xi \in \mathbb{C} : -\delta < \arg \xi < \pi - \delta\}$  ( $\{\xi \in \mathbb{C} : \pi + \delta < \arg \xi < 2\pi + \delta\}$ ).

**Определение 0.0.4.** Будем называть секториальной областью  $X_j$  на  $x$ -плоскости прообраз области  $S_j$  при отображении  $\varkappa : x \mapsto \xi = -\frac{1}{x}$ :

$$X_j \stackrel{\text{def}}{=} \varkappa^{-1}(S_j)$$

Выбирая подходящие параметры секториальных областей, без ограничения общности можем считать, что набор  $\{\Omega\}$  секториальных областей  $\Omega_j = X_j \times \{|y| < \varepsilon\}$  образует покрытие прорезанной окрестности начала координат  $\{0 < |x| < \tilde{\varepsilon}\} \times \{|y| < \varepsilon\}$ , где  $\tilde{\varepsilon} = \frac{1}{R}$ . Это покрытие мы и будем называть *стандартным*. Секториальные области  $\Omega_j$  так же будем называть *стандартными секториальными областями*.

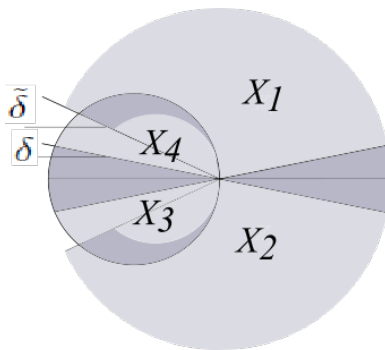


Рис. 1: Секториальные области на  $x$ -плоскости  $X_j$ .

**Теорема 0.0.2** (о секториальной нормализации). Для любого ростка  $\mathbf{F} \in \mathbf{F}_\lambda$  существует стандартное покрытие  $\{\Omega\}$  (рис.1) такое, что:

1. Существует единственное нормированное голоморфное отображение, сопрягающее  $F_\lambda$  с  $F$  на  $\Omega_j$ ,  $j \in \mathbb{Z}_4$ ;
2. Нормированное полуформальное нормализующее отображение является асимптотическим для построенного голоморфного нормированного нормализующего отображения в каждой стандартной секториальной области.

В **четвёртой главе** построены инварианты аналитической классификации и доказана теорема о реализации.

Пусть  $F$  — представитель ростка  $\mathbf{F} \in \mathbf{F}_\lambda$ ;  $H_j$  — построенные выше для  $F$  голоморфные нормированные секториальные нормализующие отображения на секториальных областях  $\Omega_j$ ,  $j \in \mathbb{Z}_4$ .

Так как области определения нормализующих отображений  $\Omega_j$ ,  $j \in \mathbb{Z}_4$  пересекаются, то естественным образом возникают так называемые «функции перехода»: пусть  $H_j$  и  $H_{j+1}$  — голоморфные отображения, сопрягающие отображение с нормальной формой на секториальных областях  $\Omega_j$  и  $\Omega_{j+1}$  соответственно. Отображения  $\Phi_{j,j+1} \stackrel{\text{def}}{=} H_{j+1}^{-1} \circ H_j$  будем называть *функциями перехода*; функции  $\Phi_{j,j+1}$  определены на областях  $\tilde{\Omega}_{j,j+1} \stackrel{\text{def}}{=} \Omega_j \cap H_j^{-1} \circ H_{j+1}(\Omega_{j+1})$ . Без ограничения общности можем считать, что  $\tilde{\Omega}_{j,j+1} = \Omega_{j,j+1}$  — пересечение областей  $\Omega_j$  и  $\Omega_{j+1}$  (этого можно добиться уменьшением параметров секториальных областей).

**Замечание 0.0.3.** Будет показано, что построенные функции перехода  $\Phi_{j,j+1}$  голоморфны на  $\Omega_{j,j+1}$  и в координатах  $I : (x, y) \mapsto (t = e^{-\frac{2\pi i}{x}}, \tau = ye^{\frac{\lambda}{x}})$  имеют вид:

$$(t(1 + A_{j,j+1}), (\tau + B_{j,j+1})(1 + A_{j,j+1})^{-\frac{\lambda}{2\pi i}}), \quad j \in \mathbb{Z}_4$$

где:

$$\left. \begin{aligned} A_{1,2} &= 0, \quad B_{1,2} = C \in \mathbb{C}; \\ A_{4,1} &= A_{4,1}(t, \tau), \quad B_{4,1} = B_{4,1}(t, \tau) \quad \text{голоморфны в } \Theta_{4,1} = (\mathbb{C}^2, 0), \\ &\text{причём } A_{4,1}(t, \tau) = O(t), \quad B_{4,1}(t, \tau) = O(t), \quad t \rightarrow 0; \\ A_{2,3} &= A_{2,3}(t, \tau), \quad B_{2,3} = B_{2,3}(t, \tau) \quad \text{голоморфны в } \Theta_{2,3} = (\mathbb{C}, \infty) \times (\mathbb{C}, 0), \\ &\text{причём } A_{2,3}(t, \tau) = O(1), \quad B_{2,3}(t, \tau) = O(t^{-1}), \quad t \rightarrow \infty; \\ A_{3,4} &= A_{3,4}(\tau), \quad B_{3,4} = B_{3,4}(\tau) \quad \text{голоморфны в } \Theta_{3,4} = (\mathbb{C}, 0), \\ &\text{причём } A_{3,4}(\tau) = O(\tau), \quad B_{3,4}(\tau) = O(\tau^2), \quad \tau \rightarrow 0. \end{aligned} \right\} \quad (0.0.4)$$

**Определение 0.0.5.** Построенный выше набор  $(A_{j,j+1}, B_{j,j+1}, C)$ , будем называть набором функциональных инвариантов или функциональным модулем ростка  $\mathbf{F}$  и обозначать  $m_{\mathbf{F}}$ .

**Теорема 0.0.3** (об эквивалентности и эквимодальности). Для строгой аналитической эквивалентности ростков класса  $\mathbf{F}_{\lambda}$  необходимым и достаточным условием является совпадение их наборов функциональных инвариантов:  $\forall \mathbf{F}, \mathbf{G} \in \mathbf{F}_{\lambda} : \mathbf{F} \sim \mathbf{G} \iff m_{\mathbf{F}} = m_{\mathbf{G}}$ .

Пусть  $\mathbf{M}_{\lambda}$  — функциональное пространство, элементами которого являются всевозможные наборы  $(A_{j,j+1}, B_{j,j+1}, C)$ ,  $j \in \mathbb{Z}_4$ ,  $j = 2, 3, 4$  где  $A_{j,j+1}$  и  $B_{j,j+1}$  удовлетворяют условиям (0.0.4),  $C \in \mathbb{C}$ . Будет доказано, что каждый элемент пространства  $\mathbf{M}_{\lambda}$  может быть реализован как модуль аналитической классификации ростка класса  $\mathbf{F}_{\lambda}$ .

**Теорема 0.0.4** (о реализации). Для любого  $t \in \mathbf{M}_{\lambda}$  существует росток полугиперболического отображения  $\mathbf{F} \in \mathbf{F}_{\lambda}$  такой, что  $t$  является набором функциональных инвариантов ростка  $\mathbf{F}$ .

В **пятой главе** приведены три приложения полученной классификации.

**Теорема 0.0.5** (о существовании центрального многообразия).

Пусть  $(A_{j,j+1}(t, \tau), B_{j,j+1}(t, \tau), C)$ ,  $j \in \mathbb{Z}_4$ ,  $j = 2, 3, 4$  — набор функциональных инвариантов ростка  $\mathbf{F}$  класса  $\mathbf{F}_\lambda$ . Для ростка  $\mathbf{F}$  существует голоморфное в  $(\mathbb{C}^2, 0)$  центральное многообразие тогда и только тогда, когда выполнено:

$$B_{2,3}(t, 0) \equiv 0, \quad B_{4,1}(t, 0) \equiv 0, \quad C = 0$$

Отметим, что в случае, если росток  $\mathbf{F}$  имеет голоморфное центральное многообразие, то сужение ростка на это многообразие является ростком конформного параболического отображения. Аналитическая классификация таких отображений хорошо известна и имеет функциональные модули.

**Теорема 0.0.6** (о связи с одномерной динамикой).

Пусть росток  $\mathbf{F} \in \mathbf{F}_\lambda$  имеет голоморфное центральное многообразие. Тогда нетривиальные сужения компонент модуля ростка  $\mathbf{F}$  на центральное многообразие являются модулем Экалля-Воронина сужения ростка  $\mathbf{F}$  на центральное многообразие.

Голоморфный росток  $\mathbf{F}$  называется *включаемым* (в поток) если он является сдвигом за единичное время вдоль голоморфного в окрестности нуля ростка векторного поля. Два голоморфных в окрестности нуля ростка векторных полей  $v$  и  $\tilde{v}$  называются *строго формально эквивалентными*, если существует обратимая формальная замена координат  $H$  такая, что равенство

$$v \circ H = H' \cdot \tilde{v}$$

верно как равенство формальных рядов.

**Теорема 0.0.7** (о включении в поток).

Пусть росток  $\mathbf{F} \in \mathbf{F}_\lambda$  и  $(A_{j,j+1}, B_{j,j+1}, C)$  — его набор функциональных инвариантов. Тогда росток  $\mathbf{F}$  включаем если и только если:

$$A_{4,1} = B_{4,1} = A_{2,3} = B_{2,3} = 0$$



**Замечание 0.0.4.** Таким образом, если росток класса  $\mathbf{F}_\lambda$  включаем, то из его функциональных инвариантов нетривиальными являются инварианты  $A_{3,4}(\tau)$ ,  $B_{3,4}(\tau)$  и  $C$ . Аналитическая классификация ростков голоморфных векторных полей класса  $\mathbf{v}_\lambda$  (строго формально эквивалентных ростку поля  $v_\lambda = x^2 \frac{\partial}{\partial x} + \lambda y \frac{\partial}{\partial y}$ ,  $\lambda \in \mathbb{R}_+$ ), имеет три функциональных инварианта: модули Мартине-Рамиса и модуль Мещеряковой-Тессье. Тогда в условиях теоремы 0.0.7 инварианты  $A_{3,4}(\tau)$  и  $C$  являются модулями Мартине-Рамиса ростка  $v \in \mathbf{v}_\lambda$ ;  $B_{3,4}(\tau)$  — модуль Мещеряковой-Тессье ростка  $v \in \mathbf{v}_\lambda$ .

## 1. Схема решения и методы исследования

Решение задачи о строгой аналитической классификации ростков класса  $\mathbf{F}_\lambda$  состоит из следующих этапов:

1. Приведение отображения  $F$  (представителя ростка  $\mathbf{F} \in \mathbf{F}_\lambda$ ) к предварительной нормальной форме.

Из теоремы 0.0.1 о полужормальной классификации, в частности, следует, что если  $\mathcal{H}(x, y)$  — полужормальная нормализующая замена координат (формальный степенной ряд по переменной  $x$  с голоморфными по  $y$  коэффициентами), то её частичная сумма  $\mathcal{H}_N(x, y)$  является голоморфной заменой координат, которая сопрягает отображение  $F$  с *предварительной нормальной формой*  $F_N$  которая отличается от  $F_\lambda$  на малую невязку:

$$F_N = F_\lambda + \Delta_N$$

где  $\Delta_N = (O(x^N), O(x^N))$  при  $x \rightarrow 0$ .

2. На втором шаге строим голоморфные отображения, строго сопрягающее нормальную форму  $F_\lambda$  с предварительной нормальной формой  $F_N$  на секториальных областях.

Покроем начало координат набором секториальных областей  $\{\Omega\}$ . Обозначим  $H_N^j$  голоморфную нормализующую замену координат, сопрягающую нормальную форму  $F_\lambda$  с предварительной нормальной формой  $F_N$  на секториальной области  $\Omega_j$ . Тогда  $H_N^j$  удовлетворяет функциональному уравнению

$$F_\lambda \circ H_N^j - H_N^j \circ F_\lambda = \Delta_N \circ H_N^j, \quad (x, y) \in \Omega_j$$

линеаризация которого доставляет гомологическое уравнение

$$F_\lambda \circ H_N^j - H_N^j \circ F_\lambda = \Delta_N, \quad (x, y) \in \Omega_j$$

Две секториальные области  $\Omega_1$  и  $\Omega_2$  будут полуинвариантны относительно обратного отображения  $F^{-1}$ , что позволит частично решить гомологическое

уравнение методом простого суммирования. В областях  $\Omega_3$  и  $\Omega_4$  будет доказано существование голоморфного центрального многообразия и инвариантных кривых  $\Gamma_c = \{(x, y) : y = ce^{-\frac{\lambda}{x}}\}$ . Сужение гомологического уравнения на инвариантные кривые в условиях существования центрального многообразия позволит решить гомологическое уравнение. Разработанный механизм построения решения на инвариантных кривых позволяет достроить решение гомологического уравнения в этих областях.

Полученные в процессе построения решения гомологического уравнения асимптотические оценки позволяют применить для построения решения функционального уравнения теорему о сжимающих отображениях и получить голоморфное нормализующее отображение  $H_N^j$  в некоторых секториальных областях  $\hat{\Omega}_j$  ( $\Omega_j$ , но при, возможно, более малых радиусах).

Композиция частичной суммы  $\mathcal{H}_N$  и голоморфного секториального нормализующего отображения  $H_N^j$  доставляет искомое нормированное голоморфное секториальное нормализующее отображение  $H^j$ , сопрягающее нормальную форму  $F_\lambda$  с  $F$  на  $\Omega_j$ . Отображение  $H^j$  является единственным в классе голоморфных нормированных отображений, сопрягающих  $F_\lambda$  с  $F$  на некоторой секториальной области;  $H^j$  не зависит от выбора  $N$ ; нормированное полужормальное нормализующее отображение  $\mathcal{H}$  является асимптотическим для  $H^j$ ,  $j \in \mathbb{Z}_4$ .

3. Третий шаг — построение инвариантов аналитической классификации.

На предыдущем шаге был построен атлас нормализующих преобразований отображения  $F$ . Функции перехода нормализующего атласа доставляют так называемые «функциональные инварианты». Доказанная в главе 4 теорема об эквивалентности и эквимодальности утверждает, что вся информация об аналитическом типе отображения содержится именно в этих функциональных инвариантах.

4. Реализация.

Построенные функциональные модули, описанные в замечании 0.0.3 являются элементами некоторого функционального пространства  $\mathbf{M}_\lambda$  (точное описание в главе 4). На последнем шаге будет показано, что каждый набор из пространства  $\mathbf{M}_\lambda$  может быть реализован как функциональный модуль роста класса  $\mathbf{F}_\lambda$ .

Из построений функциональных модулей следует, что пара  $(\{\Omega\}, \{H_j\})$ ,  $j \in \mathbb{Z}_4$  (где  $\{\Omega\}$  — стандартное покрытие, а  $\{H_j\}$  — голоморфные нормализующие отображения), можно понимать как комплексную структуру на прорезанной окрестности начала координат такую, что существует представитель  $F$  роста  $\mathbf{F} \in \mathbf{F}_\lambda$  в картах  $(\tilde{x}, \tilde{y}) = H_j(x, y)$ ,  $(x, y) \in \Omega_j$  имеющий вид  $F_\lambda$ . Функции  $\Phi_{j,j+1} = H_{j+1}^{-1} \circ H_j|_{\Omega_j \cap \Omega_{j+1}}$  тогда суть функции перехода, компоненты которых являются элементами пространства  $\mathbf{M}_\lambda$ .

При доказательстве теоремы 0.0.4 о реализации мы наоборот, рассмотрим набор  $\{\Phi_{j,j+1}\}$  голоморфных на некоторых областях  $\{\Omega_{j,j+1}\}$ . Тогда существует стандартное покрытие  $\{\Omega\}$  такое, что  $\Omega_{j,j+1}$  являются пересечением секториальных областей  $\Omega_j$  и  $\Omega_{j+1}$ .

Склеивая секториальные области  $\Omega_j$  по голоморфизмам  $\Phi_{j,j+1}$ , получим многообразие  $\mathcal{M}$ . Построим диффеоморфизм из  $\mathcal{M}$  в некоторое многообразие  $\mathcal{N}_0$ . Многообразие  $\mathcal{N}_0$  представляет собой прямое произведение проколотой окрестности начала координат на диск малого радиуса и наделено почти комплексной структурой, индуцированной комплексной структурой  $\mathcal{M}$ . Продолжим по непрерывности почти комплексную структуру в начало координат (прямое произведение нуля на диск) — пространство  $\mathcal{N}$ . Определённая таким образом почти комплексная структура является гладкой. Тогда из теоремы Ньюлендера-Ниренберга следует, что в некоторой малой окрестности нуля  $\tilde{\mathcal{N}} \subset \mathcal{N}$  существует голоморфное в смысле почти комплексной структуры  $\mathcal{N}$  отображение из  $\tilde{\mathcal{N}}$  в  $(\mathbb{C}^2, 0)$ . Уменьшая, если требуется, радиусы исходных областей, без ограничения общности можем считать, что  $\tilde{\mathcal{N}} = \mathcal{N}$ .

Наконец, определим на многообразии  $\mathcal{M}$  некоторое голоморфное отобра-

ражение, в естественных картах совпадающее с  $F_\lambda$ . Тогда «сквозное» голоморфное отображение из  $\Omega_j$  в  $\mathcal{M}$ , из  $\mathcal{M}$  в  $\mathcal{N}$ , а потом в  $(\mathbb{C}^2, 0)$  сопрягает отображение  $F_\lambda$  с некоторым голоморфным отображением  $F$ , определённым на  $(\mathbb{C}^2, 0)$ . Причём «сквозное» отображение может быть выбрано вида

$$(x + o(x^2), y + o(x)) \text{ при } x \rightarrow 0$$

поэтому росток отображения  $F$  будет принадлежать классу  $\mathbf{F}_\lambda$ . Таким образом каждому набору голоморфизмов  $\Phi_{j,j+1}, j \in \mathbb{Z}_4$  поставлен в соответствие росток класса  $\mathbf{F}_\lambda$ .

## 2. Формальная классификация

Заметим, что росток класса  $\mathbf{SH}_0$  — резонансный. По теореме Пуанкаре-Дюлака [4] формальной заменой координат такой росток можно привести к виду

$$(x, y) \mapsto (f(x), yK(x))$$

Однако, такие ростки допускают и дальнейшую нормализацию. А именно, первая компонента  $x \mapsto f(x)$  является параболическим ростком. Формальная классификация параболических ростков хорошо известна [1]: в типичном случае класс формальной эквивалентности такого ростка определяется одним числовым модулем. Удобно использовать в качестве формальной нормальной формы параболического ростка сдвиг за единичное время  $g_{v_a}^1$  вдоль ростка (в начале координат) векторного поля

$$v_a(x) = \frac{x^2}{1 + ax} \frac{\partial}{\partial x}, \quad a \in \mathbb{C}$$

Далее, имеется известная параллельность результатов по классификации отображений и векторных полей. Формальная классификация векторных полей с особой точкой типа седлоузел в двумерном случае получена в [15]. Для типичных векторных полей с такой особой точкой (сдвиг за единичное время вдоль такого векторного поля как раз и есть полугиперболическое отображение), формальная классификация имеет три числовых параметра. Так что в качестве формальной нормальной формы для типичных полугиперболических отображений можно было бы взять сдвиги за единичное время вдоль формальной нормальной формы седлоузловых векторных полей из [15]. Однако для наших целей будет удобно использовать другие формальные нормальные формы, которые, впрочем, так же будут зависеть от 3-х параметров. Кроме того, для того, чтобы формальную классификацию ростков полугиперболических отображений получить из классификации седлоузловых векторных полей, надо доказать теорему о формальном включении ростков полугиперболических отображений в поток, что само по себе нетривиально.

Кроме того, как отмечалось выше, для дальнейших исследований полугиперболических ростков нам потребуется нечто большее нежели просто приводимость к формальной нормальной форме. Однако ни теорема Пуанкаре-Дюлака, ни теорема о формальном включении в поток не дают необходимого результата. Поэтому теорема о формальной классификации будет доказана прямыми выкладками, а теорему о формальном включении в поток (и даже в её усиленном «полуформальном» варианте) получим в качестве простого следствия. При этом мы получим существенно более сильный результат, состоящий в том, что представитель ростка класса  $\mathbf{SH}_0$  приводится к формальной нормальной форме полуформальной заменой.

**Теорема 2.0.1** (о полуформальной классификации). *1. Для ростка  $F \in \mathbf{SH}$  существует единственный набор комплексных чисел  $a, \lambda, \beta$  такой, что  $F$  формально эквивалентен  $F_{a\lambda\beta}$ , где  $F_{a\lambda\beta} = g_{\omega_{a\lambda\beta}}^1$  — сдвиг за единичное время вдоль векторного поля*

$$\omega_{a\lambda\beta} = v_a(x) + y(\lambda + \beta v'_a(x)) \frac{\partial}{\partial y}, \quad (a, \lambda, \beta) \in \mathbb{C}^3$$

где  $v_a(x) = \frac{x^2}{1+ax} \frac{\partial}{\partial x}$ ,  $\text{Im } \lambda \in [0; 2\pi)$ ,  $\text{Re } \lambda \neq 0$ .

*2. Для представителя  $F$  ростка класса  $\mathbf{SH}_0$  нормализующее преобразование является полуформальным (т.е. формальным по переменным  $x$  с аналитическими по переменным  $y$  коэффициентами, в одной и той же области для всех коэффициентов).*

**Замечание 2.0.1.** Будет показано так же, что  $\Phi H \Phi$  единственна, то есть по заданному ростку  $F \in \mathbf{SH}_0$  параметры  $a, \lambda, \beta$  его  $\Phi H \Phi$  определяются однозначно, а нормализующая замена единственна с точностью до «суперпозиционного» домножения на сдвиг  $g_{\omega_{a\lambda\beta}}^t$  за фиксированное время  $t \in \mathbb{C}$  и растяжения  $(x, y) \mapsto (x, ky)$ ,  $k \neq 0$ .

**Следствие 2.0.1.** Пусть  $F_{a,\lambda,\beta}$  — формальная нормальная форма ростка  $F \in \mathbf{SH}_0$ . Тогда:  $\forall N \in \mathbb{N}$  существует росток  $F_N \in \mathbf{SH}_0$ , аналитически

эквивалентный ростку  $F$  такой, что

$$F_N(x, y) - F_{a\lambda\beta}(x, y) = O(|x|^N) \text{ при } |x| \rightarrow 0$$

Росток  $F_N$  будем называть *предварительной нормальной формой*.

**Следствие 2.0.2.** *Для любого ростка  $F \in \mathbf{SH}_0$  можно построить такое росток формального векторного поля  $v$  с особой точкой типа седлоузла, что  $F = g_v^1$ .*

## 2.1. Схема доказательства

Теорема о полужормальной классификации будет доказана в два этапа. В пункте 2.2 (1 этап) стандартным методом последовательных приближений полугиперболический росток будет приведен с помощью полужормальных замен координат к так называемой предварительной формальной нормальной форме (ПФНФ). На втором этапе (пункт 2.3) ПФНФ будет приведена к полиномиальному виду, окончание доказательства — в пункте 2.4. В пункте 2.5 мы покажем единственность формальной нормальной формы (и «почти единственность» формальной нормализующей замены). Следствия 1 и 2 будут доказаны в пункте 2.6.

## 2.2. Предварительная формальная нормальная форма

Пусть росток  $F$  из класса  $\mathbf{SH}_0$ ,  $F$  — его представитель. В первую очередь преобразуем отображение  $F$  к более простому виду. Фактически, это и будет классическая формальная нормальная форма Пуанкаре-Дюлака. Однако мы покажем приводимость к такому виду «полужормальными» заменами координат.

**Лемма 2.2.1.** *Существует формальная замена координат, приводящая типичное полугиперболическое отображение  $F$  — представитель ростка из*



класса  $\mathbf{SH}_0$  к некоторому виду, который будем называть предварительная формальная нормальная форма (ПФНФ)

$$F_0(x, y) = (f(x), yK(x)), \text{ где } f(x) = x + x^2 + O(x^3), K(x) = \Lambda + O(x). \quad (2.2.1)$$

Нормализующее преобразование при этом может быть выбрано в виде

$$(x, y) \mapsto \left( \sum_i \alpha_i(y)x^i; \sum_j \beta_j(y)x^j \right), \quad i, j = 0, 1, \dots$$

с  $\alpha_i, \beta_j$  - аналитическими функциями, определенными для всех  $i, j$  в некоторой фиксированной окрестности начала координат.

*Доказательство.* 1. Коэффициент  $b_0$ .

Для представителя  $F$  ростка класса  $\mathbf{SH}_0$  прямая  $\{x = 0\}$  является инвариантной, поэтому  $F(\{x = 0\}) = \{x = 0\}$ . Представим отображение  $F$  в виде ряда Хартогса в полидиске  $S_{rR} = \{(x, y) : |x| < r, |y| < R\}$ :

$$F(x, y) = (xa_1(y) + x^2a_2(y) + \dots, b_0(y) + b_1(y)x + \dots)$$

в котором функции  $a_i(y), b_j(y)$ ,  $i = 1, 2, \dots$ ,  $j = 0, 1, \dots$ , голоморфны. Тогда они удовлетворяют условиям:  $a_1(0) = 1$ ,  $a_2(0) \neq 0$ ,  $b_0(0) = 0$ ,  $b'_0(0) = \Lambda$ ,  $|\Lambda| \neq 0, 1$ . Всюду ниже мы будем использовать такие же разложения в ряды Хартогса и отслеживать лишь значения параметра  $R$  (радиус сходимости круга, в котором голоморфны все коэффициенты ряда), не обращая внимания на другой параметр.

Сужение  $f$  отображения  $F$  на прямую  $\{x = 0\}$  — это гиперболическое отображение  $y \mapsto b_0(y)$ . По теореме Шредера [18] оно может быть линеаризовано аналитической заменой координат. Таким образом, без ограничения общности можем считать, что  $b_0(y) = \Lambda y$ .

2. Нормализация коэффициента  $a_1$ .

Аналитическая на  $S_{rR}$  замена координат  $H_1(x, y) = (k(y)x, y)$  преобразует  $F$  к виду

$$F_1(x, y) = H_1^{-1} \circ F \circ H_1(x, y) = (xa_1(y)k(y)\frac{1}{k(\Lambda y + \dots)} + \dots, \Lambda y + \dots)$$

Мы хотим выбрать такое  $k(y)$ , чтобы

$$a_1(y) \frac{k(y)}{k(\Lambda y)} = 1 \quad (2.2.2)$$

Если  $|\Lambda| > 1$ , то искомое голоморфное решение уравнения (2.2.2) дается формулой

$$k(y) = \prod_{n=1}^{\infty} a_1 \left( \frac{y}{\Lambda^n} \right)$$

Если же  $0 < |\Lambda| < 1$ , то голоморфным решением уравнения (2.2.2) будет функция

$$k(y) = \prod_{n=0}^{\infty} \frac{1}{a_1(\Lambda^n(y))}$$

Сходимость бесконечных произведений и их голоморфность в круге  $\{|y| < R\}$  следует из соответствующих теорем комплексного анализа. Таким образом, голоморфной на  $S_{rR}$  заменой координат коэффициент  $a_1$  можно сделать равным 1. Всюду далее будем считать  $a_1 \equiv 1$ .

**Замечание 2.2.1.** Отметим, что после выполненной замены второй параметр полидиска  $S_{rR}$  — радиус сходимости коэффициентов разложения в ряд Хартогса нормализуемого отображения — не изменился.

### 3. Нормализация коэффициентов $a_2$ и $b_1$ .

Рассмотрим преобразование  $H_2(x, y)$  вида:

$$H_2(x, y) = (x + \alpha(y)x^2, y + \beta(y)x)$$

и обратное к нему

$$H_2^{-1}(x, y) = (x - \alpha(y)x^2 + O(x^3), y - \beta(y)x + O(x^2))$$

Тогда

$$\begin{aligned} F_2(x, y) &= H_2^{-1} \circ F_1 \circ H_2(x, y) = \\ &= (x + x^2(\alpha(y) - \alpha(\Lambda y) + a_2(y)) + O(x^3), \Lambda y + x(\Lambda\beta(y) - \beta(\Lambda y) + b_1(y)) + O(x^2)), \end{aligned}$$

при  $x \rightarrow 0$

Мы бы хотели решить два уравнения:

$$\alpha(\Lambda y) - \alpha(y) = a_2(y) \quad (2.2.3)$$

$$\beta(\Lambda y) - \Lambda\beta(y) = b_1(y) \quad (2.2.4)$$

Это позволило бы максимально упростить, то есть сделать равными нулю соответствующие коэффициенты ряда  $F_2$ . Рассмотрим сначала уравнение (2.2.3).

Представим функции  $a_2(y)$  и  $\alpha(y)$  в виде степенных рядов:

$$\alpha(y) = \sum_{k=0}^{\infty} \alpha_k y^k, \quad a_2(y) = \sum_{k=0}^{\infty} a_{2,k} y^k$$

здесь первый ряд является разложением неизвестной функции  $\alpha$ , а второй ряд сходится в круге  $\{|y| < R\}$ . Подставим эти разложения в уравнение и, сравнивая левую и правую части, получим:

$$(\Lambda^k - 1)\alpha_k = a_{2,k}, \quad k = 0, 1, 2, \dots \quad (2.2.5)$$

Для любого  $k \neq 0$  уравнение (2.2.5) разрешимо; при  $k = 0$  решение существует только в случае  $a_{2,0} = 0$ . Повторяя те же рассуждения для (2.2.4), получаем для коэффициентов  $\beta_k$  и  $b_{1,k}$  разложений  $\beta(y) = \sum_{k=0}^{\infty} \beta_k(y)$  и  $b_1(y) = \sum_{k=0}^{\infty} b_{1,k}(y)$  систему

$$(\Lambda^k - \Lambda)\beta_k = b_{1,k}, \quad k = 0, 1, 2, \dots$$

уравнения которой разрешимы для всех  $k \neq 1$ ; при  $k = 1$  необходимым условием разрешимости является равенство нулю коэффициента  $b_{1,1}$ . Итак, при замене координат указанного вида коэффициент  $a_2$  можно сделать равным константе, а коэффициент  $b_1$  привести к линейному виду. Отметим, что из условий типичности следует, что  $a_2(0) \neq 0$ . Поэтому, без ограничения общности можем ниже считать, что  $a_2(y) = \text{const} \neq 0$ ,  $b_1(y) = b_{1,1}y$ . Наконец, используя дополнительное преобразование  $(x, y) \mapsto (mx, y)$ , можем добиться того, что  $a_2(y) = 1$ .

Так как функции  $a_2(y)$  и  $b_1(y)$  аналитические в области  $\{|y| < R\}$ , то ряды  $\alpha(y)$  и  $\beta(y)$  так же сходятся в круге  $\{|y| < R\}$ , поэтому построенное преобразование  $H$  голоморфно на  $S_{rR}$  и по прежнему справедливо замечание из предыдущего подпункта.

#### 4. Индукция.

Пусть на некотором шаге отображение  $F_{N-1}$  имеет форму

$$F_{N-1}(x, y) = (x + x^2 + \alpha_3 x^3 + \dots + \alpha_{N-1} x^{N-1} + \alpha_N(y) x^N + O(x^{N+1}); \\ y(\Lambda + \beta_1 x + \dots + \beta_{N-2} x^{N-2}) + \beta_{N-1}(y) x^{N-1} + O(x^N))$$

где  $\alpha_3, \dots, \alpha_{N-1}, \beta_1, \dots, \beta_{N-2}$  являются константами, функции  $\alpha_N(y)$  и  $\beta_{N-1}(y)$  голоморфны на  $\{|y| < R\}$ . Будем использовать преобразование

$$H_N(x, y) = (x + \alpha(y) x^N, y + \beta(y) x^{N-1})$$

Тогда, как и на предыдущем шаге, можем сделать коэффициент  $\alpha_N$  равным константе, а коэффициент  $\beta_{N-1}$  — линейным по переменной  $y$ , при этом  $H_N(x, y)$  будет голоморфно на  $S_{rR}$  и, опять же, будет справедливо замечание 2.

#### 5. Окончание доказательства.

Выполняя для любого  $N$  замену из предыдущего пункта, построим последовательность замен  $H_N$ , каждая из которых «улучшает» по одной паре «мономов» из разложения нормализуемого преобразования в ряд Хартогса. Заметим, что в суперпозиции  $\mathcal{H}_N = H_1 \circ H_2 \circ \dots \circ H_N$  происходит стабилизация «мономов» в разложении  $\mathcal{H}_N$ . То же происходит и с нормализуемым отображением  $F_N = \mathcal{H}_N^{-1} \circ F \circ \mathcal{H}_N$ . Поэтому бесконечная суперпозиция  $\mathcal{H} = \lim_{N \rightarrow \infty} \mathcal{H}_N$  сходится в пространстве формальных рядов по переменной  $x$  с коэффициентами, голоморфными по переменной  $y$  в круге  $\{|y| < R\}$ , и является искомой полуформальной нормализующей заменой координат, поскольку  $F_N$  сходятся к ПФНФ (2.2.1) в том же пространстве рядов.  $\square$

**Замечание 2.2.2.** Из специфики построения замен следует, что бесконечная суперпозиция, приводящая  $F$  к ПНФ, является формальным рядом по переменной  $x$  с коэффициентами, голоморфными в одной и той же окрестности начала координат.

### 2.3. Второй шаг формальной нормализации

Выше мы привели типичное полугиперболическое отображение к виду (2.2.1). Вторичная нормализация, приводящая его к ФНФ будет выполнена с помощью замены вида

$$H(x, y) = (p(x), yq(x)) \quad (2.3.1)$$

$$p'(0) = 1 \quad (2.3.2)$$

Эта замена приводит ПНФ (2.2.1) к виду  $\tilde{F} = H^{-1} \circ F_0 \circ H = (\tilde{f}(x), \tilde{K}(x)y)$ , где

$$\begin{aligned} \tilde{f}(x) &= p^{-1} \circ f \circ p \\ \tilde{K}(x) &= K \circ p \cdot \frac{q}{q \circ f} \end{aligned} \quad (2.3.3)$$

**Замечание 2.3.1.** Значения

$$\begin{aligned} f'''(0) &= \tilde{f}'''(0) \\ K(0) &= \tilde{K}(0) \\ K'(0) &= \tilde{K}'(0) \end{aligned} \quad (2.3.4)$$

не меняются при действии замены координат (2.3.1), (2.3.2) (являются инвариантами формальной классификации типичных полугиперболических отображений). Для второго и третьего равенств это очевидно, а первое показано в [11] (но, конечно, легко может быть проверено прямыми выкладками).

Напомним, что  $f$  является типичным параболическим отображением и  $\tilde{f}$  — сопряженное к нему. Из формальной классификации параболических отображений известно (см. [11]), что существует константа  $a$  и формальная

замена координат  $p(x)$ , переводящая отображение  $f$  к  $\tilde{f} = g_{v_a}^1(x)$ , где  $g_{v_a}^1(x)$  является сдвигом за единичное время вдоль векторного поля  $v_a = \frac{x^2}{1+ax} \frac{\partial}{\partial x}$ . Более того, если  $f(x)$  имеет вид  $f(x) = x + x^2 + \dots$  (а для первой компоненты отображения (2.2.1) это так), то для замены  $p(x)$  будет выполнено условие (2.3.2). Далее, положим  $\varphi = \ln q$ ,  $k = \ln \left( \frac{\tilde{K}}{K_{оп}} \right)$ , тогда второе уравнение из (2.3.3) принимает вид

$$-\varphi \circ \tilde{f} + \varphi = k. \quad (2.3.5)$$

**Определение 2.3.1.** *Параболическое отображение будем называть типичным, если в разложении*

$$f(x) = x + cx^2 + \dots$$

*постоянная «с» не равна нулю.*

**Лемма 2.3.1.** *Для любого типичного формального параболического отображения  $\tilde{f}$  и любой функции  $k(x)$ , такой, что  $k(0) = k'(0) = 0$ , существует единственное формальное решение  $\varphi(x)$  уравнения (2.3.5) такое, что  $\varphi(0) = 0$ .*

*Доказательство.* Пусть  $\tilde{f} = x + cx^2 + \dots$ ,  $c \neq 0$ ,  $k(x) = \sum_{j=2}^{\infty} k_j x^j$ ;  $\varphi(x) = \sum_{j=1}^{\infty} \varphi_j x^j$ . Подставляя эти разложения в (2.3.5), получим:

$$\sum_{j=1}^{\infty} \varphi_j x^j - \sum_{j=1}^{\infty} \varphi_j (x + cx^2 + \dots)^j = \sum_{j=2}^{\infty} k_j x^j$$

Приравнивая коэффициенты при  $x^j$ ,  $j = 1, 2, \dots$  мы получим бесконечную систему уравнений

$$-c(j-1)\varphi_{j-1} + \dots = k_j, \quad j = 2, \dots$$

где многоточием обозначены члены, зависящие от  $\varphi_s$  с номерами  $s$ , меньшими, чем  $j-1$ . Так как  $c \neq 0$  для типичного параболического отображения, то эти уравнения можно решать последовательно. Это дает существование, а так же и единственность формального решения.  $\square$

**Лемма 2.3.2.** *Для любых параболических диффеоморфизмов  $f(x) = x + x^2 + \dots$  и  $p(x) = x + \dots$ ; любых  $K$  и  $\tilde{K}$ , удовлетворяющих (2.3.4), существует формальное решение  $q$  второго уравнения системы (2.3.3), такое что  $q(0) = 1$ . Это решение является единственным (с точностью до умножения на константу). В частности это доказывает, что любое отображение  $F \in \mathbf{SH}_0$  вида (2.2.1) может быть приведено формальной заменой вида (2.3.1) к форме  $\tilde{F}_{a\lambda\beta}$*

$$\tilde{F}_{a\lambda\beta}(x, y) = (g_{v_a}^1(x), y(\Lambda + bx)), \quad \Lambda = e^\lambda$$

*Доказательство.* Первое утверждение леммы следует из леммы (2.3.1), а второе — из первого.  $\square$

#### 2.4. Окончание доказательства теоремы о формальной классификации

Пусть  $F_{a\lambda\beta} = g_{\omega_{a\lambda\beta}}^1(x, y)$  — сдвиг за единичное время вдоль векторного поля  $\omega_{a\lambda\beta}$ . Решим систему уравнений

$$\begin{cases} \dot{x} = v_a(x) \\ \dot{y} = y(\lambda + \beta v_a'(x)) \end{cases}$$

Пусть  $(x(t), y(t))$  — её решение с начальными условиями  $(x(0) = x_0, y(0) = y_0)$ . Получим  $x(t) = g_{v_a}^t(x_0)$ ,  $\frac{dy}{dx} = \lambda y \frac{1}{v_a(x)} + y\beta \frac{v_a'(x)}{v_a(x)}$ . Тогда  $dy = \lambda y dt + y\beta d(\ln v_a(x))$ , и  $y(t) = y_0 e^{\lambda t} \left( \frac{v_a(x_0)}{v_a(x(t))} \right)^{-\beta}$ . Обозначив  $f_a = g_{v_a}^1$ , мы получим

$$F_{a\lambda\beta}(x_0, y_0) = (f_a(x_0), e^\lambda y_0 (f_a'(x_0))^{-\beta}) \quad (2.4.1)$$

Наконец, если

$$\Lambda = e^\lambda, \quad \Lambda(x) = \Lambda (f_a'(x))^{-\beta}$$

то  $F_{a\lambda\beta} = (f_a(x), y\Lambda(x))$ .

Вычислим инварианты (2.3.4) для  $F_{a\lambda\beta}$ . Это и будут в точности параметры  $a$ ,  $\Lambda = e^\lambda$ ,  $\beta$ . Поэтому, по лемме 2.3.2,  $F_{a\lambda\beta}$  приводится к  $\tilde{F}_{a\lambda\beta}$

заменой вида (2.3.1). Но и исходное отображение  $F$ , в соответствии с построением этого и предыдущего пунктов, приводится к некоторой форме  $\tilde{F}_{a\lambda\beta}$  полужормальными заменами. Следовательно, исходное отображение  $F$  можно привести к виду  $F_{a\lambda\beta}$  полужормальными заменами переменных. Теорема о формальной нормализации доказана.

## 2.5. Единственность ФНФ и формальной нормализующей замены

Пусть  $F = F_{a\lambda\beta}$  и  $F' = F_{a'\lambda'\beta'}$  — две формальные нормальные формы из теоремы о формальной классификации, и пусть формальная замена координат  $H$  сопрягает  $F$  и  $F'$ :

$$F \circ H = H \circ F' \quad (2.5.1)$$

Заметим, что для формальных нормальных форм прямые  $\{x = 0\}$  и  $\{y = 0\}$  являются инвариантными (первая из них — их общее инвариантное гиперболическое подмногообразие, вторая — центральное многообразие). Поэтому замена координат  $H$  должна их сохранять. Значит, замена  $H$  имеет вид

$$H(x, y) = (xa(x, y); yb(x, y)) \quad (2.5.2)$$

где  $a(x, y), b(x, y)$  — формальные степенные ряды, причем  $a(0, 0) \cdot b(0, 0) \neq 0$ . Но тогда формальное отображение  $h(x) = xa(x, 0)$  сопрягает отображения  $f_a(x)$  и  $f_{a'}(x)$ :

$$h \circ f_a = f_{a'} \circ h \quad (2.5.3)$$

Из единственности ФНФ параболических отображений [11] отсюда следует совпадение параметров  $a$  и  $a'$ :  $a = a'$ . Аналогично, формальный диффеоморфизм  $g(y) = yb(0, y)$  сопрягает сужения  $F$  и  $F'$  на прямую  $\{x = 0\}$ :

$$g(\Lambda y) = \Lambda' g(y) \quad (2.5.4)$$

Дифференцируя (2.5.4) по  $y$  и подставляя  $y = 0$ , получим  $\Lambda = \Lambda'$ , а из условия  $\text{Im } \lambda, \text{Im } \lambda' \in [0; 2\pi)$  получим  $\lambda = \lambda'$ . Далее, сравнивая в (2.5.3), с учетом того,



что  $a = a'$ , коэффициенты при  $x^2$ , получим

$$h'(0) = a(0, 0) = 1 \quad (2.5.5)$$

Далее, подставляя (2.5.2) в (2.5.1) и вычисляя коэффициент при  $xy$  во второй компоненте полученного равенства, из равенства (2.5.5) мы получим  $\beta = \beta'$ . Это завершает доказательство единственности ФНФ.

Для изучения вопроса единственности нормализующей замены достаточно рассмотреть формальные замены координат, сохраняющие ФНФ. Таким образом, надо найти все формальные замены  $H(x, y)$ , удовлетворяющие условию (2.5.1) (для случая  $F = F'$ ). Повторяя те же рассуждения, что и выше и используя те же обозначения, получим опять же равенства (2.5.3) и (2.5.4), в которых  $a = a'$ ,  $\Lambda = \Lambda'$ . Из (2.5.3) следует, что  $h$  коммутирует с  $f_a$ . Как было показано в [11], все формально коммутирующие с  $f_a$  отображения  $h$  имеют вид  $h = g_{v_a}^t$  для некоторого  $t \in \mathbb{C}$ . Рассмотрим отображение  $H_t = g_{\omega_{a\lambda\beta}}^t$ ; так как  $F = g_{\omega_{a\lambda\beta}}^1$ , то  $H_t$  и  $F$  коммутируют:  $H_t \circ F = F \circ H_t$ . Но тогда и  $H_t^{-1} \circ H$  коммутирует с  $F$ . Поэтому, без ограничения общности можем считать, что  $h = id$  (этого можно добиться, заменив  $H$  на  $H_t^{-1} \circ H$ ).

Далее, из (2.5.4) следует линейность  $g$ :  $g(y) = ky$ ,  $k \neq 0$ . Линейное отображение  $L : (x, y) \mapsto (x, ky)$  так же коммутирует с ФНФ  $F$ . Повторяя те же выкладки, что и выше, мы можем, тем самым, считать, что и отображение  $g$  тождественно. Наконец, как и выше, подставляя (2.5.2) в (2.5.1) и используя условие « $H = id$  на прямых  $\{x = 0\}$  и  $\{y = 0\}$ », последовательным приравниванием коэффициентов при степенях  $x^k$  (то есть, фактически, повторяя все рассуждения из пунктов 4-6 и решая соответствующие, в данном случае однородные, уравнения), получим  $H \equiv id$ . С учетом двух сделанных поправок нормализующей замены, это и дает её единственность с точностью до растяжения вдоль  $y$  и сдвига вдоль векторного поля  $\omega_{a\lambda\beta}$ .

## 2.6. Доказательство следствий

### Доказательство следствия 1

Пусть  $H(x, y) = (H_1(x, y), H_2(x, y))$  — формальная нормализующая замена, построенная выше в теореме о формально классификации. Заметим, что каждый из формальных рядов  $H_j(x, y)$ ,  $j = 1, 2$  представим в виде  $H_j(x, y) = \sum_{k=0}^{\infty} c_k^j(y)x^k$ , где функции  $c_k^j(y)$  голоморфны в некоторой фиксированной окрестности начала координат. Рассмотрим замену  $H_N(x, y) = (H_{1N}(x, y), H_{2N}(x, y))$ , где  $H_{jN}(x, y) = \sum_{k=0}^N c_k^j(y)x^k$ . Это — голоморфная замена, и она переводит росток требуемого вида с ростком  $F$ .

### Доказательство следствия 2

Пусть  $F$  — произвольный росток из  $\mathbf{SH}_0$ ,  $F_{a\lambda\beta} = g_{\omega_{a\lambda\beta}}^1$  — его ФНФ, и пусть  $H$  — полужормальная замена координат, сопрягающая  $F$  и  $F_{a\lambda\beta}$ :

$$F \circ H = H \circ F_{a\lambda\beta}$$

Пусть замена  $H$  переводит векторное поле  $\omega_{a\lambda\beta}$  в векторное поле  $\omega$ :

$$H' \cdot \omega = \omega_{a\lambda\beta} \circ H$$

Тогда  $F = g_{\omega}^1$ , что и требовалось доказать.

### 3. Секториальная нормализация

В данном разделе будет доказана теорема 0.0.2 о секториальной нормализации на секториальных областях  $\Omega_j$ ,  $j \in \mathbb{Z}_4$ .

#### 3.1. Выпрямляющие координаты

**Определение 3.1.1.** *Отображение  $K$ , действующее по правилу*

$$(\xi, z) = K(x, y) \stackrel{def}{=} \left( \xi = \kappa(x), z = y(v(x))^{-\beta} \right) \quad (3.1.1)$$

где  $\kappa(x) = -\frac{1}{x} + a \ln x$ ,  $v(x) = \frac{x^2}{1+ax}$  (при соответствующем выборе ветви логарифма) будем называть выпрямляющими координатами (оно выпрямляет векторное поле  $\omega_{a\lambda\beta}$ ).

**Лемма 3.1.1.** *Пусть  $v_a = \frac{x^2}{1+ax}$  и  $\omega_{a\lambda\beta} = v_a \frac{\partial}{\partial x} + y(\lambda + \beta v'_a(x)) \frac{\partial}{\partial y}$  — векторные поля,  $f$  и  $F_{a\lambda\beta}$  — сдвиги за единичное время первого и второго поля, соответственно. Тогда:*

$$\kappa_* v_a = \frac{\partial}{\partial \xi}, \quad \kappa \circ f \circ \kappa^{-1} = \xi + 1;$$

$$K_* \omega_{a\lambda\beta} = \frac{\partial}{\partial \xi} + \lambda z \frac{\partial}{\partial z}, \quad K \circ F_{a\lambda\beta} \circ K^{-1} = F_0, \quad \text{где } F_0 : (\xi, z) \mapsto (\xi + 1, \Lambda z).$$

*Доказательство.* Доказательство проводится путем соответствующих вычислений. □

В этой главе мы построим голоморфное нормализующее отображение  $H_N$ , сопрягающие нормальную форму  $F_\lambda$  с предварительной нормальной формой  $F_N$ . Решать эту задачу удобнее в выпрямляющих координатах.

Обозначим  $F_0 \stackrel{def}{=} K \circ F_{a\lambda\beta} \circ K^{-1}$  нормальную форму на  $(\xi, z)$ -плоскости, которая имеет вид

$$F_0(\xi, z) = (\xi + 1, e^\lambda z) \quad (3.1.2)$$

**Лемма 3.1.2.** *Пусть отображения  $F$ ,  $F_0$ ,  $F_{a\lambda\beta}$  и  $F_N$  определены выше. Тогда отображение  $\tilde{F}_N \stackrel{def}{=} K \circ F_N \circ K^{-1}$  имеет вид*

$$\tilde{F}_N(\xi, z) = F_0(\xi, z) + O\left(\tilde{\Delta}_{1N}, \tilde{\Delta}_{2N}\right), \quad \tilde{\Delta}_{jN}(\xi, z) = O(|\xi|^{-N_1}), \quad j = 1, 2, \quad \text{при } \xi \rightarrow \infty$$

где  $N_1 = \min\{N - 2, N - 2\operatorname{Re}\beta\}$ .

*Доказательство.* Нам известно, что предварительная нормальная форма на  $(x, y)$ -плоскости имеет вид (см. следствие 2.0.1):

$$F_N(x, y) = (\lambda(x) + \Delta_{1N}(x, y), ye^\lambda \Lambda(x) + \Delta_{2N}(x, y))$$

где  $\Delta_{jN}(x, y) = O(|x|^N)$ ,  $j = 1, 2$  при  $x \rightarrow 0$ . На  $(\xi, z)$ -плоскости нормальная форма имеет вид:

$$F_{\alpha\lambda\beta}(x, y) = \left( \varkappa^{-1}(\varkappa(x) + 1), e^\lambda y \left( \frac{v(x)}{v(\varkappa^{-1}(\varkappa(x) + 1))} \right)^{-\beta} \right) \quad (3.1.3)$$

где

$$\varkappa(x) = O(|x|^{-1}), \quad v(x) = O(|x|^2), \quad x \rightarrow 0 \quad (3.1.4)$$

Отображение  $K$  сопрягает  $F_{\alpha\lambda\beta}$  нормальной формой  $F_0$ ; обратное к нему имеет вид

$$K^{-1} : (\xi, z) \mapsto (x = \varkappa^{-1}(\xi), y = zv^\beta(\varkappa^{-1}(\xi))),$$

$$\text{где } \varkappa^{-1}(\xi) = O(|\xi|^{-1}), \quad v^\beta(\varkappa^{-1}(\xi)) = O(|\xi|^{-2\operatorname{Re}\beta}), \quad |\xi| \rightarrow \infty \quad (3.1.5)$$

Подставляя  $K$  и  $K^{-1}$  в определение отображения  $\tilde{F}_N$  получаем

$$\tilde{F}_N(\xi, z) = \left[ \varkappa(\varkappa^{-1}(\xi + 1) + \Delta_{1N}(\varkappa^{-1}(\xi), zv^\beta(\varkappa^{-1}(\xi)))) \right. \\ \left. \frac{e^\lambda zv^\beta(\varkappa^{-1}(\xi + 1)) + \Delta_{2N}(\varkappa^{-1}(\xi), zv^\beta(\varkappa^{-1}(\xi)))}{v^\beta(\varkappa^{-1}(\xi + 1) + \Delta_{1N}(\varkappa^{-1}(\xi), zv^\beta(\varkappa^{-1}(\xi))))} \right] = F_0(\xi, z) + (\tilde{\Delta}_{1N}(\xi, z), \tilde{\Delta}_{2N}(\xi, z))$$

Отсюда

$$\begin{aligned} \tilde{\Delta}_{1N}(\xi, z) &= \varkappa(\varkappa^{-1}(\xi + 1) + \Delta_{1N}(\varkappa^{-1}(\xi), zv^\beta(\varkappa^{-1}(\xi)))) - (\xi + 1) = \\ &= \varkappa(\varkappa^{-1}(\xi + 1) + \Delta_{1N}(\varkappa^{-1}(\xi), zv^\beta(\varkappa^{-1}(\xi)))) - \varkappa(\varkappa^{-1}(\xi + 1)) = \\ &= \varkappa'(\varkappa^{-1}(\xi))\Delta_{1N}(\varkappa^{-1}(\xi), zv^\beta(\varkappa^{-1}(\xi))) + O(\Delta_{1N}) = O(|\xi|^{-N+2}) \end{aligned}$$

Аналогично для  $\tilde{\Delta}_{2N}(\xi, z)$ :

$$\begin{aligned}\tilde{\Delta}_{2N}(\xi, z) &= \frac{e^\lambda z v^\beta(\varkappa^{-1}(\xi + 1)) + \Delta_{2N}(\varkappa^{-1}(\xi), z v^\beta(\kappa^{-1}(\xi)))}{v^\beta(\varkappa^{-1}(\xi + 1) + \Delta_{1N}(\varkappa^{-1}(\xi), z v^\beta(\kappa^{-1}(\xi))))} - e^\lambda z = \\ &= e^\lambda z \frac{v^\beta(\varkappa^{-1}(\xi + 1)) - v^\beta(\varkappa^{-1}(\xi + 1) + \Delta_{1N})}{v^\beta(\varkappa^{-1}(\xi + 1) + \Delta_{1N})} + \Delta_{2N} v^{-\beta}(\varkappa^{-1}(\xi + 1) + \Delta_{1N}) = \\ &= z \frac{\partial v^\beta(\varkappa^{-1})}{\partial \xi}(\xi + 1) O(|\xi|^{-N+2Re\beta}) + O(|\xi|^{2Re\beta}) \Delta_{2N} = O(|\xi|^{-N_1})\end{aligned}$$

где  $N_1 = \min\{N - 2, N - 2Re\beta\}$ . Лемма доказана.  $\square$

**Замечание 3.1.1.** В рассматриваемом простейшем случае для значений параметров  $a = \beta = 0$  выполнено:

$$\tilde{\Delta}_{jN} = O(|\xi|^{-N_1}), \quad N_1 = N - 2$$

### 3.2. Функциональные и гомологические уравнения

В рассматриваемом простейшем случае выпрямляющие координаты имеют вид:

$$K : (x, y) \mapsto \left( \xi = -\frac{1}{x}, z = y \right) \quad (3.2.1)$$

Пусть в новых координатах голоморфное нормализующее преобразование  $\tilde{H}_N$  имеет вид:

$$\tilde{H}_N(\xi, z) = (\xi + h_N(\xi, z), z + g_N(\xi, z))$$

Тогда функции  $h_N$  и  $g_N$  удовлетворяют паре функциональных уравнений:

$$h_N \circ F_0 - h_N = \tilde{\Delta}_{1N} \circ \tilde{H}_N \quad (3.2.2)$$

$$g_N \circ F_0 - \Lambda g_N = \tilde{\Delta}_{2N} \circ \tilde{H}_N \quad (3.2.3)$$

Считая  $h_N$ ,  $g_N$ ,  $\tilde{\Delta}_{1N}$ ,  $\tilde{\Delta}_{2N}$  малыми, и пренебрегая членами порядка выше первого, из функциональных уравнений получим так называемые гомологические уравнения:

$$h_N \circ F_0 - h_N = \tilde{\Delta}_{1N} \quad (3.2.4)$$

$$g_N \circ F_0 - \Lambda g_N = \tilde{\Delta}_{2N} \quad (3.2.5)$$

где  $\tilde{\Delta}_{jN}(\xi, z) = O(|\xi|^{-N+2})$  при  $\xi \rightarrow \infty$ ,  $j = 1, 2$ .

Решать поставленную задачу — строить нормализующее преобразование мы будем по следующему алгоритму:

Шаг 1. Построение  $(h, g)$  — пары решений гомологических уравнений на некоторых секториальных областях.

Шаг 2. Построение вспомогательных операторов: оператора решения гомологических уравнений  $\mathcal{L} : (\Delta_1, \Delta_2) \rightarrow (h, g)$  и оператора подстановки  $\mathcal{R} : (h, g) \rightarrow (\delta_1, \delta_2) = (\Delta_1(\xi + h, z + g), \Delta_2(\xi + h, z + g))$ . Тем самым неподвижная точка композиции операторов  $\mathcal{H} = \mathcal{L} \circ \mathcal{R}$  доставляет решение функциональных уравнений  $\tilde{H}_N = id + (h_N, g_N)$ :

$$\mathcal{H} \circ (h_N, g_N) = (h_N, g_N)$$

Сжимаемость оператора  $\mathcal{H}$  будет обеспечена выбором подходящих параметров секториальных областей.

Шаг 3. Композиция частичной суммы полужормальной нормализующей замены координат  $\mathbf{H}_N$  и голоморфного нормализующего секториального отображения  $H_N$  доставляет секториальное нормализующее отображение  $H$ .

Дадим определение областей, в которых будем решать гомологические уравнения.

**Определение 3.2.1.** Обозначим  $\tilde{S}_r$  область, лежащую «справа» от вертикальной прямой  $\{Re\xi = R\}$  (то есть вещественные части всех точек области  $\tilde{S}_r$  больше чем  $R$ ).

**Определение 3.2.2.** Обозначим  $\tilde{S}_l$  область, лежащую «слева» от вертикальной прямой  $\{Re\xi = -R\}$ .

**Определение 3.2.3.** Обозначим  $\tilde{S}_r^\pm$  пересечение области  $\tilde{S}_r$  и полуплоскости  $\{0 < \pm \arg \xi + \delta < \pi\}$ .

**Определение 3.2.4.** Обозначим  $\tilde{S}_l^\pm$  пересечение области  $\tilde{S}_l$  и полуплоскости  $\{0 < \pm \arg \xi - \delta < \pi\}$ .

**Определение 3.2.5.** Обозначим  $\tilde{W}_r$  (соответственно,  $\tilde{W}_r^\pm$ ,  $\tilde{W}_l$ ,  $\tilde{W}_l^\pm$ ) область, полученную как прямое произведение  $\tilde{S}_r$  на диск  $\{|z| < \varepsilon\}$  (соответственно,  $\tilde{S}_r^\pm$ ,  $\tilde{S}_l$ ,  $\tilde{S}_l^\pm$ ).

**Определение 3.2.6.** Решением гомологического уравнения в некоторой замкнутой области  $W$  будем называть голоморфную на  $W$  функцию  $u$ , удовлетворяющую уравнению на  $\overset{\circ}{W} \stackrel{\text{def}}{=} \text{int}W$ . Норму решения на  $W$  будем задавать стандартным способом

$$\|u\|_W = \sup_W |u(\xi, z)| \quad (3.2.6)$$

**Определение 3.2.7.** Пусть  $\mathbf{D}_m(W)$  — класс функций, голоморфных на  $\overset{\circ}{W}$  и непрерывных на  $W$  с конечной нормой

$$\|d\|_{W,m} = \sup_W |d(\xi, z)(1 + |\xi|^2)^{\frac{m}{2}}| < +\infty, \quad m > 3 \quad (3.2.7)$$

### 3.3. Main Lemma

В этой части мы решим промежуточную задачу: простейшее функциональное уравнение

$$u(\xi + 1) - u(\xi) = d(\xi), \quad \xi \in \Pi \subset \mathbb{C} \quad (3.3.1)$$

в области типа «криволинейная полоса».

**Определение 3.3.1.** Пусть  $L_- \stackrel{\text{def}}{=} \{\xi = (x(y) + iy) : y \in \mathbb{R}\}$  — кусочно-гладкая кривая, где функция  $x$  удовлетворяет ограничению:

$$\left| \frac{dx}{dy} \right| \leq c_\Pi, \quad c_\Pi \in \mathbb{R} \quad (3.3.2)$$

Пусть кривая  $L_+ = L_- + \frac{3}{2}$  и кривые  $L_-$  и  $L_+$  образуют границу некоторой криволинейной полосы  $\Pi$ . Пусть  $\overset{\circ}{\Pi} \stackrel{\text{def}}{=} \text{Int}\Pi$  — внутренность полосы  $\Pi$ .

**Определение 3.3.2.** Обозначим  $\mathbf{D}_m(\Pi)$  класс функций, голоморфных на  $\overset{\circ}{\Pi}$  и непрерывных на  $\Pi$  с конечной нормой

$$\|d\|_{\Pi,m} = \sup_{\Pi} |d(\xi)(1 + |\xi|^2)^{\frac{m}{2}}| < +\infty, \quad m > 3 \quad (3.3.3)$$

**Определение 3.3.3.** Решением уравнения (3.3.1) с правой частью  $d \in \mathbf{D}_m(\Pi)$  будем называть функцию, голоморфную на расширенной полосе  $\Pi^1 \stackrel{\text{def}}{=} \overset{\circ}{\Pi} \cup \{\xi : \xi - 1 \in \overset{\circ}{\Pi}\}$  и удовлетворяющих уравнению (3.3.1) на  $\overset{\circ}{\Pi}$ . Норму решения на полосе  $\Pi$  будем задавать стандартным способом

$$\|u\|_{\Pi} = \sup_{\Pi} |u(\xi)|$$

**Лемма 3.3.1** (Main Lemma). *Функция*

$$u(\xi) = \frac{1}{2\pi i} \sum_{n=0}^{+\infty} \left( \int_{L_-} \frac{d(t)dt}{t - \xi - n} + \int_{L_+} \frac{d(t)dt}{t - \xi + n + 1} \right) \quad (3.3.4)$$

является решением уравнения (3.3.1) с правой частью  $d \in \mathbf{D}_m(\Pi)$  на полосе  $\Pi$ , причём:

1. существует некоторая постоянная  $c = c(m, c_{\Pi})$  такая, что:

$$\|u\|_{\Pi} \leq c \|d\|_{\Pi,m};$$

2. обозначим  $M_0 = \frac{1}{2} \int_{L_-} d(t)dt$ , тогда существует некоторая постоянная  $C = C(m, c_{\Pi})$  такая, что:

$$|u(\xi) \mp M_0| \leq \frac{C \|d\|_{\Pi,m}}{|\xi|^{m-3}} \text{ при } \pm \text{Im } \xi > |\text{Re } \xi|, \quad |\text{Im } \xi| > 1;$$

3. решение уравнения 3.3.1 единственно в классе голоморфных и ограниченных функций, удовлетворяющих утверждению 2.



*Доказательство.* Функция  $u$  вида (3.3.4) действительно является решением уравнения (3.3.1), так как

$$\begin{aligned} u(\xi + 1) - u(\xi) &= \frac{1}{2\pi i} \sum_{n=0}^{+\infty} \left( \int_{L_-} \frac{d(t)dt}{(t - \xi - n - 1)} + \int_{L_+} \frac{d(t)dt}{(t - \xi + n)} \right) - \\ &\quad - \frac{1}{2\pi i} \sum_{n=0}^{+\infty} \left( \int_{L_-} \frac{d(t)dt}{(t - \xi - n)} + \int_{L_+} \frac{d(t)dt}{(t - \xi + n + 1)} \right) = \\ &= \frac{1}{2\pi i} \left( \int_{L_+} \frac{d(t)dt}{t - \xi} - \int_{L_-} \frac{d(t)dt}{t - \xi} \right) = d(\xi) \end{aligned}$$

### Голоморфность и ограниченность

Рассмотрим часть полосы с «преобладанием» вещественной части:  $\Pi^{\text{Re}} \stackrel{\text{def}}{=} \Pi \cap \left\{ |\text{Im } \xi| \leq \max \left\{ 1; \frac{1}{1+\text{cn}} |\text{Re } \xi| \right\} \right\}$ .

Доказательство проведём на полосе  $\tilde{\Pi}$  ширины 1, граница которой состоит из кривых  $\tilde{L}_- \stackrel{\text{def}}{=} L_- + \frac{1}{4}$  и  $\tilde{L}_+ \stackrel{\text{def}}{=} L_+ - \frac{1}{4}$ . В дальнейшем мы сможем продолжить решение с полосы  $\tilde{\Pi}$  на полосу  $\Pi$ , используя уравнение (3.3.1). При этом голоморфность и ограниченность решения будут сохранены, так как функция в правой части уравнения голоморфна и ограничена на всей полосе  $\Pi$ .

Положим  $\tilde{\Pi}^{\text{Re}} \stackrel{\text{def}}{=} \tilde{\Pi} \cap \Pi^{\text{Re}}$ . На области  $\tilde{\Pi}^{\text{Re}}$  обе подынтегральные функции (в представлении (3.3.4) решения  $u$ ) голоморфны при  $n \geq 1$  и мы можем перейти к интегрированию по одной из границ, допустим, по  $L_-$  и сложить интегралы. Тогда:

$$|u(\xi)| \leq \left| \frac{1}{2\pi i} \left( \int_{L_+} \frac{d(t)dt}{t - \xi + 1} + \int_{L_-} \frac{d(t)dt}{t - \xi} \right) \right| + \left| \frac{1}{2\pi i} \sum_{n=1}^{+\infty} \int_{L_-} \frac{(2t - 2\xi + 1)d(t)dt}{(t - \xi - n)(t - \xi + n + 1)} \right|$$

**Замечание 3.3.1.** Здесь и далее при построении оценок мы опираемся на следующее утверждение: для любой пары неотрицательных чисел  $(x, y)$  вы-

полнено:

$$(1 + x^2 + y^2)^{\frac{1}{2}} \geq \frac{1}{2}(1 + x + y)$$

Это простое следствие известного неравенства о среднем.

Из определения кривой  $L_-$  следует, что для любого  $\xi \in \tilde{\Pi}$  выполнено:

$$\text{если } t \in L_- \text{ то } |t - \xi| \geq \frac{1}{4\sqrt{1+c_{\Pi}^2}}$$

$$\text{если } t \in L_+ \text{ то } |t - \xi + 1| \geq \frac{1}{4\sqrt{1+c_{\Pi}^2}}$$

$$\text{если } t \in L_-, n \geq 1 \text{ то } |t - \xi - n| \geq \frac{n}{\sqrt{1+c_{\Pi}^2}} \text{ и } |t - \xi + n + 1| \geq \frac{n}{\sqrt{1+c_{\Pi}^2}}$$

$$\text{а так же для любого } t \in \partial\Pi \text{ верно, что } |dt| \leq \sqrt{1+c_{\Pi}^2}dy$$

Так же полоса  $\Pi$  (а, значит, и  $\tilde{\Pi}$ ) гарантированно пересечёт или пару прямых  $l_1 = \{\xi = a + i, a \in \mathbb{R}\}$ ,  $l_2 = \{\xi = a - i, a \in \mathbb{R}\}$  или пару прямых  $l_3 = \{\xi = a + \frac{a}{(1+c_{\Pi})}i, a \in \mathbb{R}\}$ ,  $l_4 = \{\xi = a - \frac{a}{(1+c_{\Pi})}i, a \in \mathbb{R}\}$ .

Таким для любого  $\xi$  из  $\tilde{\Pi}^{Re} = \tilde{\Pi} \cap \Pi^{Re}$  верно, что  $|\xi|$  ограничен:

$$|\xi| \leq c|x(0)|, \quad c = c(c_{\Pi})$$

Из условия (3.3.2), в частности, следует, что

$$|c_{\Pi}|y| - |x(0)|| \leq |x(y)| \leq |x(0)| + c_{\Pi}|y| \quad (3.3.5)$$

Так как  $d \in \mathbf{D}_m(\Pi)$ , из замечания (3.3.1) и последнего неравенства:

$$|2t - 2\xi + 1||d(t)| \leq \frac{(c_1|y| + c_2|x(0)|)\|d\|_{\Pi,m}}{(1 + |x(y)| + |y|)^m}, \quad c_j = c_j(c_{\Pi}, m), \quad j = 1, 2$$

Если  $|x(0)| \leq c_{\Pi}|y|$ , то достаточно отбросить  $|x(y)|$  в знаменателе; если же  $|x(0)| \geq c_{\Pi}|y|$ , то оценка ниже следует из левой части неравенства (3.3.5):

$$|2t - 2\xi + 1||d(t)| \leq \frac{\hat{c}\|d\|_{\Pi,m}}{(1 + |y|)^{m-1}}, \quad \hat{c} = \hat{c}(m, c_{\Pi})$$

Так как в нашей задаче  $m > 3$ , то интеграл  $\int_{-\infty}^{+\infty} \frac{|y|dy}{(1+|y|)^{m-1}}$  сходится и из равномерности оценок выше и сходимости ряда  $\sum_{n=1}^{+\infty} \frac{1}{n^2}$  следует голоморфность

решения  $u$  на  $\tilde{\Pi}^{\text{Re}}$ , а так же истинность утверждения 1. То есть

$$\sup_{\tilde{\Pi}^{\text{Re}}} |u(\xi)| \leq c_1 \|d\|_{\Pi, m}, \quad c_1 = c_1(m, c_{\Pi}) \quad (3.3.6)$$

Часть полосы  $\Pi^{\text{Im}} \stackrel{\text{def}}{=} \Pi \setminus \Pi^{\text{Re}}$ . На части полосы с преобладанием мнимой части  $\Pi^{\text{Im}}$  нам потребуется преобразовать вид решения.

**Замечание 3.3.2.** Заметим, что для любого натурального числа  $s \geq 1$  на подмножестве  $\tilde{\Pi}^{\text{Im}} \stackrel{\text{def}}{=} \tilde{\Pi} \setminus \tilde{\Pi}^{\text{Re}}$  выполнено:

$$\begin{aligned} \sum_{n=0}^{\infty} \left( \frac{1}{(\xi + n)(\xi + n + 1) \dots (\xi + n + s + 1)} \right) + \\ + \sum_{n=0}^{\infty} \left( \frac{1}{(\xi - n - 1)(\xi - n) \dots (\xi - n + s)} \right) = 0 \end{aligned}$$

Это легко проверить прямыми вычислениями.

Функции вида  $t(t + 1) \dots (t + s)$ ,  $s \in \mathbb{N}$  голоморфны при  $t \in \Pi$ , поэтому для всех  $s \in \mathbb{N}$  суммы следующего рода будут равны нулю:

$$\begin{aligned} \sum_{n=0}^{\infty} \left( \int_{L_-} \frac{t(t + 1) \dots (t + s) d(t) dt}{(\xi + n)(\xi + n + 1) \dots (\xi + n + s + 1)} \right) + \\ + \sum_{n=0}^{\infty} \left( \int_{L_+} \frac{t(t + 1) \dots (t + s) d(t) dt}{(\xi - n - 1)(\xi - n) \dots (\xi - n + s)} \right) = 0 \quad (3.3.7) \end{aligned}$$

Будем для всех  $s = \overline{1, m - 3}$  последовательно прибавлять и вычитать из ре-

шения  $u$  вида (3.3.4) суммы вида (3.3.7) и получим следующий результат:

$$\begin{aligned}
u(\xi) &= \frac{1}{2\pi i} \left[ \sum_{n=0}^{\infty} \left( \int_{L_-} \frac{dt}{t - \xi - n} + \int_{L_+} \frac{dt}{t - \xi + n + 1} \right) + \right. \\
&+ \sum_{n=0}^{\infty} \left( \int_{L_-} \frac{t dt}{(\xi + n)(\xi + n + 1)} + \dots + \int_{L_-} \frac{t \cdot \dots \cdot (t + m - 4) dt}{(\xi + n) \dots (\xi + n + m - 3)} + \int_{L_-} \frac{dt}{\xi + n} + \right. \\
&+ \left. \int_{L_+} \frac{t dt}{(\xi - n - 1)(\xi - n)} + \dots + \int_{L_+} \frac{t \cdot \dots \cdot (t + m - 4) dt}{(\xi - n - 1) \dots (\xi - n + m - 4)} + \int_{L_+} \frac{dt}{\xi - n - 1} \right) - \\
&\quad - \sum_{n=0}^{\infty} \left( \int_{L_-} \frac{dt}{\xi + n} + \int_{L_+} \frac{dt}{\xi - n - 1} \right) - \\
&\quad - \sum_{n=0}^{\infty} \left( \int_{L_-} \frac{t dt}{(\xi + n)(\xi + n + 1)} + \int_{L_+} \frac{t dt}{(\xi - n - 1)(\xi - n)} \right) - \dots \\
&\quad \left. \dots - \sum_{n=0}^{\infty} \left( \int_{L_-} \frac{t \cdot \dots \cdot (t + m - 4) dt}{(\xi + n) \dots (\xi + n + m - 3)} + \int_{L_+} \frac{t \cdot \dots \cdot (t + m - 4) dt}{(\xi - n - 1) \dots (\xi - n + m - 4)} \right) \right] = \\
&= \frac{1}{2\pi i} \sum_{n=0}^{\infty} \left( \int_{L_-} \frac{t(t+1) \dots (t+m-3) d(t) dt}{(\xi+n)(\xi+n+1) \dots (\xi+n+m-3)(t-\xi-n)} + \right. \\
&\quad \left. + \int_{L_+} \frac{t(t+1) \dots (t+m-3) d(t) dt}{(\xi-n-1)(\xi-n) \dots (\xi-n+m-4)(t-\xi+n+1)} \right) - \\
&\quad - \frac{1}{2\pi i} \sum_{n=-\infty}^{\infty} \frac{1}{\xi+n} \int_{L_-} d(t) dt \quad (3.3.8)
\end{aligned}$$

Покажем голоморфность (1) Так как полоса  $\tilde{\Pi}$  отстоит от  $L_-$  и  $L_+$  на  $\frac{1}{4}$ , то множители  $(t - \xi - n)$  и  $(t - \xi + n + 1)$  из знаменателей первой суммы имеют

оценку:

$$|t - \xi - n| \geq \frac{\frac{1}{4} + n}{\sqrt{1 + c_{\Pi}^2}}, \quad t \in L_-, \quad \xi \in \tilde{\Pi}, \quad n \geq 0 \quad (3.3.9)$$

$$|t - \xi + n + 1| \geq \frac{\frac{1}{4} + n}{\sqrt{1 + c_{\Pi}^2}}, \quad t \in L_+, \quad \xi \in \tilde{\Pi}, \quad n \geq 0 \quad (3.3.10)$$

(2) В силу условия (3.3.3) на функцию  $d$ , определения кривых интегрирования  $L_-$  и  $L_+$ , а так же замечания 3.3.1 найдётся  $c = c(m, c_{\Pi})$  такая, что для любого  $t \in L_- \cup L_+$ , для любого  $m > 3$  выполнено:

$$|t(t+1)\dots(t+m-3)d(t)dt| \leq \frac{|t+m-3|^{m-2} \|d\|_{\Pi, m} |dt|}{(1+|t|^2)^{\frac{m}{2}}} \leq \frac{c \|d\|_{\Pi, m} dy}{(1+|y|)^2} \quad (3.3.11)$$

(3) Так как для любого  $\xi \in \tilde{\Pi}^{\text{Im}}$ ,  $|\text{Im } \xi| \geq \max \left\{ 1; \frac{1}{1+c_{\Pi}} |\text{Re } \xi| \right\}$ , то, согласно замечанию 3.3.1:

$$|\xi + n| \geq \frac{1}{2} (|\text{Re } \xi + n| + |\text{Im } \xi|) \geq \frac{1}{2} \left( |\text{Re } \xi + n| + \frac{1}{1+c_{\Pi}} |\text{Re } \xi| \right) \geq \frac{n}{2(1+c_{\Pi})}$$

отсюда:

$$\begin{aligned} |\xi + n| \dots |\xi + n + m - 3| &\geq \frac{n}{2(1+c_{\Pi})} \quad \text{где } n > 0, \quad \xi \in \tilde{\Pi}^{\text{Im}} \\ |\xi - n - 1| \dots |\xi - n + m - 4| &\geq \frac{n}{2(1+c_{\Pi})} \end{aligned} \quad (3.3.12)$$

если же  $n = 0$ , то

$$\begin{aligned} |\xi| |\xi + 1| \dots |\xi + m - 3| &\geq 1 \\ |\xi - 1| |\xi| \dots |\xi + m - 4| &\geq 1 \end{aligned} \quad \text{где } \xi \in \tilde{\Pi}^{\text{Im}} \quad (3.3.13)$$

Тогда из (3.3.9)-(3.3.13), а так же в силу сходимости интеграла  $\int_{-\infty}^{+\infty} \frac{dy}{(1+|y|)^2}$  и ряда  $\sum_{n=1}^{+\infty} \frac{1}{n^2}$  следует, что найдётся такая  $c_2 = c_2(m, c_{\Pi})$ , что для всех  $\xi \in \tilde{\Pi}^{\text{Im}}$  выполнено:

$$\begin{aligned} &\left| \frac{1}{2\pi i} \sum_{n=0}^{\infty} \left( \int_{L_-} \frac{t(t+1)\dots(t+m-3)d(t)dt}{(\xi+n)(\xi+n+1)\dots(\xi+n+m-3)(t-\xi-n)} + \right. \right. \\ &\quad \left. \left. + \int_{L_+} \frac{t(t+1)\dots(t+m-3)d(t)dt}{(\xi-n-1)(\xi-n)\dots(\xi-n+m-4)(t-\xi+n+1)} \right) \right| \leq \quad (3.3.14) \end{aligned}$$

$$\leq c_2(m, c_{\Pi}) \|d\|_{\Pi, m}$$

Осталось оценить «хвост»  $\left| \frac{1}{2\pi i} \sum_{n=-\infty}^{+\infty} \frac{1}{\xi+n} \int_{L_-} d(t) dt \right|$ .

Заметим, что

$$\sum_{n=-\infty}^{\infty} \frac{1}{\xi+n} = \pi \operatorname{ctg}(\pi \xi)$$

Отсюда  $\left| \frac{1}{2\pi i} \sum_{n=-\infty}^{+\infty} \frac{1}{\xi+n} \int_{L_-} d(t) dt \right| = \left| \frac{M_0}{i} \operatorname{ctg}(\pi \xi) \right|$ . Так как при  $|\operatorname{Im} \xi| \geq 1$  котангенс ограничен:  $|\operatorname{ctg}(\pi \xi)| \leq 3$ , и, так как функция  $d$  удовлетворяет (3.3.3), а кривая  $L_-$  — условию (3.3.2), так как  $m > 3$ , то:

$$|M_0| = \left| \frac{1}{2} \int_{L_-} d(t) dt \right| \leq \frac{1}{2} \int_{L_-} \frac{\|d\|_{\Pi, m} |dt|}{(1+|t|^2)^{m/2}} = \operatorname{const} \quad (3.3.15)$$

поэтому найдётся некоторая  $c_3 = c_3(m, c_{\Pi})$  такая, что для любого  $\xi \in \tilde{\Pi}^{Im}$  выполнено:

$$\left| \frac{1}{2\pi i} \sum_{n=-\infty}^{+\infty} \frac{1}{\xi+n} \int_{L_-} d(t) dt \right| \leq c_3 \|d\|_{\Pi, m} \quad (3.3.16)$$

Положим  $\tilde{c} \stackrel{\text{def}}{=} \max\{c_1; c_2 + c_3\}$ , где  $c_j$ ,  $j = 1, 2, 3$  из (3.3.6, 3.3.14 и 3.3.16). В силу равномерности оценок (3.3.14) и (3.3.16), решение  $u$  вида (3.3.4) голоморфно на  $\tilde{\Pi}$  и ограничено с постоянной  $\tilde{c}$ .

Продолжим решение с полосы  $\tilde{\Pi}$  на полосу  $\Pi$  по уравнению (3.3.1), причём, так как правая часть голоморфна и на  $\Pi$  удовлетворяет условию (3.3.3), то продолжение решения на  $\Pi$  так же голоморфно и ограничено, причём:

$$\|u\|_{\Pi} \leq c \|d\|_{\Pi, m}, \quad c = c(m, c_{\Pi})$$

## Асимптотика

Для построения асимптотической оценки вернёмся к третьему шагу доказательства голоморфности (пункт выше). Здесь будем считать, что  $|\operatorname{Im} \xi| \geq |\operatorname{Re} \xi|$ ,  $|\operatorname{Im} \xi| > 1$ .

Представим решение  $u$  в виде (3.3.8). Так как  $\operatorname{Re} \xi$  может быть произвольным, то для каждого значения  $n \in \mathbb{Z}$  может существовать  $\xi \in \tilde{\Pi}$  такое, что разность  $|\operatorname{Re} \xi - n| = 0$ . Если перенумеровать ряды  $\sum_{n=0}^{\infty} \frac{1}{(\xi+n)(\xi+n+1)\dots(\xi+n+m-3)}$  и  $\sum_{n=0}^{\infty} \frac{1}{(\xi-n-1)(\xi-n)\dots(\xi-n+m-4)}$  так, что для некоторого целого  $k: |\operatorname{Re} \xi + n + s| - k = 0$  ( $s = 0, m-3$ ), то, учитывая что множителей в знаменателе каждого из рядов ровно  $m-2$ , получим:

$$\begin{aligned} & \left| \sum_{n=0}^{\infty} \frac{1}{(\xi+n)(\xi+n+1)\dots(\xi+n+m-3)} \right| \leq \\ & \leq \sum_{k=0}^{\infty} \frac{2^{m-1}}{(k+|\operatorname{Im} \xi|)^{m-2}} \leq \frac{2^m}{(m-3)|\operatorname{Im} \xi|^{m-3}}; \end{aligned}$$

аналогично

$$\left| \sum_{n=0}^{\infty} \frac{1}{(\xi-n-1)(\xi-n)\dots(\xi-n+m-4)} \right| \leq \frac{2^m}{(m-3)|\operatorname{Im} \xi|^{m-3}};$$

отсюда

$$\left| u(\xi) + \frac{1}{2\pi i} \sum_{n=-\infty}^{\infty} \frac{1}{\xi+n} \int_{L_-} d(t) dt \right| \leq \tilde{C}(m, c_{\Pi}) \cdot \frac{2^{m+1}}{(m-3)|\operatorname{Im} \xi|^{m-3}} \quad (3.3.17)$$

где  $\tilde{C}(m, c_{\Pi}) = \int_{L_+(L_-)} \frac{(|t+m-3|)^{m-2} \|d\|_{\Pi, m} |dt|}{(1+|t|^2)^{\frac{m}{2}}}$  (интеграл сходится в силу условия (3.3.2)).

Напомним, что  $\sum_{n=-\infty}^{\infty} \frac{1}{\xi+n} = \pi \operatorname{ctg}(\pi \xi)$ , где  $\operatorname{ctg}(\pi \xi)$  принимает различные по знаку значения при  $\operatorname{Im} \xi \rightarrow +\infty$  или  $\operatorname{Im} \xi \rightarrow -\infty$ . Поэтому оценку асимптотики естественно проводить отдельно в верхней и нижней полуплоскости.

Пусть  $\text{Im } \xi > |\text{Re } \xi|$ ,  $|Im\xi| > 1$ , тогда с учётом (3.3.17) и (3.3.15):

$$\begin{aligned}
|u(\xi) - M_0| &= \left| u(\xi) + \frac{1}{2\pi i} \sum_{n=-\infty}^{\infty} \frac{1}{\xi + n} \int_{L_-} d(t) dt - \frac{1}{2\pi i} \sum_{n=-\infty}^{\infty} \frac{1}{\xi + n} \int_{L_-} d(t) dt - M_0 \right| \leq \\
&\leq \frac{\tilde{C}(m, c_{\Pi}) \cdot 2^{m+1}}{(m-3)|\text{Im } \xi|^{m-3}} + \left| -\frac{\text{ctg}(\pi\xi)}{2i} \int_{L_-} d(t) dt - \frac{1}{2} \int_{L_-} d(t) dt \right| \leq \\
&\leq \frac{\tilde{C}(m, c_{\Pi}) \cdot 2^{m+1}}{(m-3)|\text{Im } \xi|^{m-3}} + \left| \frac{2}{e^{2\pi \text{Im } \xi} - 1} \right| \int_{L_-} \frac{\|d\|_{\tilde{\Pi}^{\text{Im}, m}} |dt|}{(1+|t|^2)^{\frac{m}{2}}} \leq \\
&\leq \text{const}(m, c_{\Pi}) \cdot \frac{\|d\|_{\Pi, m}}{|\text{Im } \xi|^m}
\end{aligned}$$

В нижней полуплоскости ( $\text{Im } \xi < -|\text{Re } \xi|$ ) оценка аналогична.

Так как  $|\text{Re } \xi| \leq |\text{Im } \xi|$ , то  $|\text{Im } \xi| \geq \frac{|\xi|}{2}$ . Тогда, продолжая решение с полосы  $\tilde{\Pi}$  на полосу  $\Pi$ , получим, что найдётся некоторая  $C = C(m, c_{\Pi})$  такая, что для любого  $\xi \in \Pi$  выполнено:

$$|u(\xi) \mp M_0| \leq \frac{C \|d\|_{\Pi, m}}{|\xi|^{m-3}} \text{ при } \pm \text{Im } \xi > |\text{Re } \xi|, |Im\xi| > 1 \quad (3.3.18)$$

### Единственность

Пусть  $u_1, u_2$  — два голоморфных и ограниченных решения уравнения (3.3.1), удовлетворяющих утверждению 2 леммы. Обозначим  $u \stackrel{\text{def}}{=} u_1 - u_2$ ; тогда  $u$  голоморфна и ограничена на  $\Pi$  и удовлетворяет уравнению

$$u(\xi + 1) - u(\xi) = 0$$

Продолжим её на всю комплексную плоскость по 1-периодичности и получим ограниченную и голоморфную на всей комплексной плоскости функцию. Значит, по теореме Лиувилля [29],  $u \equiv \text{const}$ . С учетом асимптотики (3.3.18),  $u \equiv 0$ .  $\square$



**Замечание 3.3.3.** *Используя уравнение (3.3.1) мы можем продолжить решение и до голоморфного и ограниченного на области шире чем полоса  $\Pi$  — на полосу  $\Pi^1$  ( $\partial\Pi^1 \stackrel{def}{=} \{L_+ + 1\} - \{L_-\}$ ) по следующей формуле:*

$$u(\xi + 1) = u(\xi) + d(\xi)$$

с сохранением утверждения 2.

### 3.4. Решение гомологических уравнений на $\tilde{W}_r$

Будем решать уравнения

$$h(\xi + 1, e^\lambda z) - h(\xi, z) = \Delta_1(\xi, z) \quad (3.4.1)$$

$$g(\xi + 1, e^\lambda z) - e^\lambda g(\xi, z) = \Delta_2(\xi, z) \quad (3.4.2)$$

где  $\Delta_1 \in \mathbf{D}_m(\tilde{W}_r)$ ,  $\Delta_2 \in \mathbf{D}_m(\tilde{W}_r)$ .

Заметим, что функция  $J$ , определяемая по правилу

$$J(\xi, z) = ze^{-\lambda\xi}$$

является первым интегралом нормальной формы  $F_0(\xi, z) \mapsto (\xi + 1, e^\lambda z)$  ( $\forall c \in \mathbb{C}$  кривая  $\Gamma_c \stackrel{def}{=} \{(\xi, z) \in \tilde{W}_r : J(\xi, z) = c\}$  является инвариантной кривой отображения  $F_0$ ). Так как  $(\xi, z) \in \tilde{W}_r$ , то  $|z| < \varepsilon$ , поэтому для любых  $c \in \mathbb{C}$  должно выполняться неравенство  $|ce^{\lambda\xi}| < \varepsilon$ , откуда находим, что

$$\operatorname{Re} \xi < \frac{1}{\lambda} \ln \frac{\varepsilon}{|c|}$$

Также для построения решения в правой секториальной области мы будем применять Main Lemma, поэтому необходимо, чтобы полоса  $\Pi$  ширины  $3/2$ , определенная в предыдущей секции, содержалась в области значений переменной  $\xi$ . Отсюда получаем оценку на параметр « $c$ »:

$$\frac{1}{\lambda} \ln \frac{\varepsilon}{|c|} > R + 2$$

то есть

$$|c| < \varepsilon e^{-\lambda(R+2)} \stackrel{\text{def}}{=} c_0 \quad (3.4.3)$$

Определим инвариантную кривую  $\gamma_c$ :

$$\gamma_c \stackrel{\text{def}}{=} \left\{ \xi \in \tilde{S}_r : \operatorname{Re} \xi < \frac{1}{\lambda} \ln \frac{\varepsilon}{|c|} \right\}$$

**Определение 3.4.1.** Будем называть малой секториальной областью  $\sigma$  объединение инвариантных кривых  $\Gamma_c = \{(\xi, z) : \xi \in \gamma_c; z = c e^{-\lambda \xi}\}$  по всем « $c$ » таким, что  $|c| < c_0$ .

Отметим, что при  $c = 0$  инвариантная кривая  $\gamma_0$  совпадает с  $\tilde{S}_r$ .

**Определение 3.4.2.** Будем называть верхней или нижней малой секториальной областью  $\sigma^\pm$  (верхней или нижней инвариантной кривой  $\gamma_c^\pm$ ) пересечение области  $\sigma$  ( $\gamma_c$ ) с областью  $\tilde{W}_r^\pm$  ( $\tilde{S}_r^\pm$ ).

Отметим, что на параметр раствора  $\delta \in (0, \frac{\pi}{2})$  в данном разделе не накладываются дополнительные условия.

В этой части будут доказаны леммы:

**Лемма 3.4.1** (О решении первого гомологического уравнения на  $\sigma$ ). Пусть функция  $\Delta_1 \in \mathbf{D}_m(\tilde{W}_r)$ , тогда первое гомологическое уравнение имеет пару решений  $h^\pm$ , голоморфных и ограниченных на малой секториальной области  $\sigma$ , для которых выполнено:

1. найдётся  $c = c(m)$  такая, что  $\|h^\pm\|_\sigma \leq c \|\Delta_1\|_{\sigma, m}$ ;
2. найдётся  $C = C(m, \delta)$  такая, что:  $|h^\pm(\xi, z)| \leq \frac{C \|\Delta_1\|_{\sigma, m}}{|\xi|^{m-3}}$  при  $(\xi, z) \in \sigma^\pm$ ;
3. решение первого гомологического уравнения (3.4.1) в правой секториальной области единственно в классе голоморфных и ограниченных функций, удовлетворяющих утверждению 2.

**Лемма 3.4.2** (О решении второго гомологического уравнения на  $\sigma$ ). Пусть  $\Delta_2 \in \mathbf{D}_m(\tilde{W}_r)$ , тогда второе гомологическое уравнение имеет пару решений  $g^\pm$ , для которых выполнено:

1. найдётся  $c = c(m)$  такая, что  $\|g^\pm\|_\sigma \leq c\|\Delta_2\|_{\sigma,m}$ ;
2. найдётся  $C = C(m, \delta)$  такая, что  $|g^\pm(\xi, z)| \leq \frac{C\|\Delta_2\|_{\sigma,m}}{|\xi|^{m-3}}$  при  $(\xi, z) \in \sigma^\pm$ ;
3. решение второго гомологического уравнения на  $\tilde{W}_r$  единственно в классе голоморфных и ограниченных функций, удовлетворяющих утверждению 2.

**Доказательство леммы о решении первого гомологического уравнения на  $\sigma$ .**

Доказательство первой леммы будет построено следующим образом:

Шаг 1. Сужение первого гомологического уравнения на инвариантную кривую  $\gamma_c$  и построение решения в полосе  $\Pi \subset \gamma_c$ .

Шаг 2. Продолжение решения с полосы на  $\gamma_c$ .

Шаг 3. Построение решения в малой секториальной области.

*Шаг 1.* Положим

$$\begin{aligned}\varphi_c(\xi) &\stackrel{def}{=} h(\xi, ce^{\lambda\xi}), \quad \xi \in \gamma_c \\ \Delta_c(\xi) &\stackrel{def}{=} \Delta_1(\xi, ce^{\lambda\xi}), \quad \xi \in \gamma_c\end{aligned}$$

Тогда уравнение (3.4.1) сводится к уравнению

$$\varphi_c(\xi + 1) - \varphi_c(\xi) = \Delta_c(\xi), \quad \xi \in \gamma_c \quad (3.4.4)$$

Заметим, что область  $\gamma_c$  построена таким образом, что содержит некоторую вертикальную полосу

$$\Pi \stackrel{def}{=} \{\xi \in \gamma_c : \operatorname{Re} \xi \in [A, A + 3/2]\}, \quad A > R > 1 \quad (3.4.5)$$

А именно: пусть функция  $\Delta_c \in \mathbf{D}_m(\Pi)$ . Тогда граница  $\partial\Pi$  распадается на две части:  $\partial\Pi = L_+ - L_-$ , где  $L_- \stackrel{def}{=} \{\xi \in \gamma_c : \operatorname{Re} \xi = A\}$ ,  $L_+ \stackrel{def}{=} \{\xi \in \gamma_c : \operatorname{Re} \xi = A + \frac{3}{2}\}$ .

Следующее предложение следует из Main Lemma.

**Предложение 3.4.1.** *Функция*

$$\varphi_c(\xi) = \frac{1}{2\pi i} \sum_{n=0}^{\infty} \left( \int_{L_-} \frac{\Delta_c(t) dt}{t - \xi - n} + \int_{L_+} \frac{\Delta_c(t) dt}{t - \xi + n + 1} \right) \quad (3.4.6)$$

*голоморфна и ограничена на полосе*

$$\tilde{\Pi} \stackrel{\text{def}}{=} \{ \xi : \operatorname{Re} \xi \in [A, A + 5/2] \subset \gamma_c \}, \quad A > R > 1$$

*и является решением уравнения (3.4.4), причём:*

1. найдётся  $c = c(m)$  такая, что  $\|\varphi_c\|_{\Pi} = \sup_{\Pi} |\varphi_c(\xi)| \leq c \|\Delta_c\|_{\Pi, m}$ ;
2. найдётся  $C = C(m, \delta)$  такая что:

$$\sup_{\Pi} |\varphi_c(\xi) \mp M_0| \leq \frac{C \|\Delta_c\|_{\Pi, m}}{|\xi|^{m-3}}, \quad \xi \in \Pi, \quad \pm \operatorname{Im} \xi > \operatorname{tg} \delta \operatorname{Re} \xi$$

где

$$M_0 \stackrel{\text{def}}{=} \frac{1}{2} \int_{L_-} \Delta_c(t) dt \quad (3.4.7)$$

3. решение уравнения (3.4.4) единственно в классе голоморфных и ограниченных в полосе  $\tilde{\Pi}$  функций, удовлетворяющих утверждению 2;
4. если функция  $\Delta_c$  аналитически зависит от некоторого параметра «с», то и функция  $\varphi_c$  — тоже аналитически зависит от «с».

**Замечание 3.4.1.** *Без ограничения общности можем считать, что из построения оценок в доказательстве утверждения 2 Main Lemma следует истинность утверждения 2 последнего предложения.*

**Замечание 3.4.2.** *Аналитическая зависимость от параметра «с» следует из определения решения  $\varphi_c$ , а так же стандартных теорем о равномерной сходимости рядов и интегралов.*

Отметим, что Main Lemma, а также последнее предложение доставляют асимптотическую оценку решения  $\varphi_c$  на полосе  $\Pi$  при достаточно больших значениях мнимой части  $\xi$ . Следующее предложение доказывает аналогичную асимптотическую оценку на «куске» полосы  $\operatorname{Re} \xi > \operatorname{tg} \delta |\operatorname{Im} \xi|$ .

**Предложение 3.4.2.** Пусть  $\varphi_c$  — решение уравнения (3.4.4) вида (3.4.6) на полосе  $\Pi \in \gamma_c$ ;  $M_0$  из (3.4.7). Тогда найдётся  $C = C(m, \delta)$  такая, что

$$\sup_{\Pi} |\varphi_c(\xi) \mp M_0| \leq \frac{C \|\Delta_c\|_{\Pi, m}}{|\xi|^{m-2}}, \quad \xi \in \Pi, \quad |\operatorname{Im} \xi| < \operatorname{tg} \delta |\operatorname{Re} \xi|$$

*Доказательство.* Отметим, что так как  $|\operatorname{Im} \xi| < \operatorname{tg} \delta |\operatorname{Re} \xi|$  то  $|\xi| \leq (1 + \operatorname{tg} \delta) |\operatorname{Re} \xi|$ , то есть  $|\operatorname{Re} \xi| \geq \frac{|\xi|}{1 + \operatorname{tg} \delta}$ .

Представим решение  $\varphi_c$  в виде суммы первых двух слагаемых и ряда, в котором обе подынтегральные функции голоморфны на всей полосе  $\Pi$  (так как ширина полосы меньше 2), поэтому интегралы не зависят от прямой интегрирования и их можно объединить:

$$\begin{aligned} \varphi_c(\xi) = & \frac{1}{2\pi i} \left( \int_{L_-} \frac{\Delta_c(t) dt}{t - \xi} + \int_{L_+} \frac{\Delta_c(t) dt}{t - \xi + 1} + \int_{L_-} \frac{\Delta_c(t) dt}{t - \xi - 1} + \int_{L_+} \frac{\Delta_c(t) dt}{t - \xi + 2} \right) + \\ & + \frac{1}{2\pi i} \sum_{n=2}^{\infty} \int_{L_+} \frac{(2t - 2\xi + 1) \Delta_c(t) dt}{(t - \xi - n)(t - \xi + n + 1)} \end{aligned}$$

Оценим сначала первые четыре слагаемых. Отступим от границы полосы  $\Pi$  на  $1/4$  «внутрь» и обозначим  $\tilde{\Pi} \stackrel{\text{def}}{=} \{\xi : \operatorname{Re} \xi \in [A + \frac{1}{4}; A + \frac{5}{4}]\}$  и  $\tilde{\Pi}^{\operatorname{Re}} = \tilde{\Pi} \cap \{|\operatorname{Im} \xi| < \operatorname{tg} \delta |\operatorname{Re} \xi|\}$ . Тогда для любых  $t \in L_-$ ,  $\xi \in \tilde{\Pi}^{\operatorname{Re}}$  выполнено:

$$|t - \xi| > 1/4$$

$$|t - \xi - 1| > 1/4$$

$$(1 + |t|^2)^{m/2} > c(1 + A)^m, \quad \text{для некоторой } c = c(m)$$

$$1 + A > |\operatorname{Re} \xi - 1| > \tilde{C} |\operatorname{Re} \xi| > C |\xi| \quad \text{для некоторых } C = C(m, \delta), \quad \tilde{C} = \tilde{C}(m, \delta)$$

Тогда для  $s = -1, 0$ ,  $\xi \in \tilde{\Pi}^{\operatorname{Re}}$  выполнено:

$$\left| \frac{1}{2\pi i} \int_{L_-} \frac{\Delta_c(t) dt}{t - \xi + s} \right| \leq \frac{c_1 \|\Delta_c\|_{\gamma_c, m}}{|\xi|^{m-1}}, \quad c_1 = c_1(m, \delta) \quad (3.4.8)$$

из аналогичных рассуждений следует, что для  $s = 1, 2$ ,  $\xi \in \tilde{\Pi}^{\operatorname{Re}}$  выполнено:

$$\left| \frac{1}{2\pi i} \int_{L_+} \frac{\Delta_c(t) dt}{t - \xi + s} \right| \leq \frac{c_2 \|\Delta_c\|_{\gamma_c, m}}{|\xi|^{m-1}}, \quad c_2 = c_2(m, \delta) \quad (3.4.9)$$

Для оценки последнего слагаемого — ряда нам будут полезны несколько неравенств:

$$\begin{aligned}
t \in L_+ &= A + \frac{3}{2} + i\tau, \quad n \geq 2 : \\
|t - \xi - n| &= \sqrt{(A + \frac{3}{2} - \operatorname{Re} \xi - n)^2 + (\operatorname{Im} \xi - \tau)^2} \geq \frac{1}{2}(n - \frac{3}{2}); \\
|t - \xi + n + 1| &= \sqrt{(A + \frac{3}{2} - \operatorname{Re} \xi + n + 1)^2 + (\operatorname{Im} \xi - \tau)^2} \geq \frac{1}{2}n; \\
|2t - 2\xi + 1| &\leq (|2(A + \frac{3}{2}) - 2\operatorname{Re} \xi + 1| + 2|\operatorname{Im} \xi - \tau|) \leq \\
&\leq 2A + 6 + 2\operatorname{Re} \xi + 1 + 2\operatorname{tg} \delta \operatorname{Re} \xi + 2|\tau| \leq \operatorname{const} + c(\delta)A + 2|\tau|; \\
|\Delta_c(t)| &\leq \frac{\|\Delta_c\|_{m, \gamma_c}}{(1+(A+3/2)^2+|\tau|^2)^{\frac{m}{2}}} \leq \frac{2^{\frac{m}{2}} \|\Delta_c\|_{m, \gamma_c}}{(A+3/2+|\tau|)^m}.
\end{aligned}$$

Так как  $n > 2$ , то получаемый при оценке ряд сходится. Так как  $m > 3$ , то сходится интеграл. Поэтому существует некоторая  $c_3 = c_3(m, \delta)$  такая, что для любого  $\xi \in \tilde{\Pi}^{Re}$  выполнено:

$$\left| \frac{1}{2\pi i} \sum_{n=2}^{\infty} \int_{L_+} \frac{(2t - 2\xi + 1)\Delta_c(t) dt}{(t - \xi - n)(t - \xi + n + 1)} \right| \leq c_3(m, \delta) \frac{\|\Delta_c\|_{\gamma_c, m}}{|\xi|^{m-2}}$$

Так же получаем оценку для  $M_0$ :

$$|M_0| = \frac{1}{2} \left| \int_{L_-} \Delta_c(t) dt \right| \leq \frac{c_4(m, \delta) \|\Delta_c\|_{\gamma_c, m}}{|\xi|^{m-1}}, \quad \xi \in \Pi$$

Положим  $C(m, \delta) = \max\{c_1, c_2, c_3, c_4\}$ . Предложение доказано.  $\square$

**Замечание 3.4.3.** Утверждения 2 предложений 3.4.1 и 3.4.2 в совокупности могут быть сформулированы в следующей форме:

$$\exists C = C(m, \delta) \text{ такая что: } |\varphi_c(\xi) \mp M_0| \leq \frac{C \|\Delta_c\|_{\Pi, m}}{|\xi|^{m-3}}, \quad \xi \in \gamma_c^{\pm} \cap \Pi$$

*Шаг 2. Продолжение решения на  $\gamma_c$ .* На этом шаге покажем, что значение  $M_0$  зависит от выбора полосы (то есть полосу  $\Pi$  можно строить произвольно на  $\gamma_c$ ). А также что решение  $\varphi_c$ , построенное на некоторой полосе  $\Pi$  совпадает (на полосе  $\Pi$ ) с продолжением решения  $\tilde{\varphi}_c$ , построенным на некоторой другой полосе  $\tilde{\Pi}$ .

Для любого  $\xi$  с вещественной частью из отрезка  $\left[A + 5/2, \frac{1}{\lambda} \ln \frac{\varepsilon}{|c|}\right]$  найдется некоторое натуральное  $N \leq \left[\frac{1}{\lambda} \ln \frac{\varepsilon}{|c|} - A - 3/2\right]$  такое, что  $(\xi - N) \in \Pi$  и тогда продолжение решения вправо может быть определено как:

$$\varphi_c(\xi) = \varphi_c(\xi - N) + \sum_{n=1}^N \Delta_c(\xi - n) \quad (3.4.10)$$

Продолжение влево может быть определено аналогично

$$\varphi_c(\xi) = \varphi_c(\xi + K) - \sum_{k=0}^{K-1} \Delta_c(\xi + k) \quad (3.4.11)$$

где  $K \in \mathbb{N}$  таково, что  $(\xi + K) \in \Pi$ .

Обозначим

$$L_- \stackrel{def}{=} \{\xi \in \gamma_c : \operatorname{Re} \xi = A\}, \quad \tilde{L}_- \stackrel{def}{=} \{\xi \in \gamma_c : \operatorname{Re} \xi = B\}, \quad \text{где}$$

$$1 < R < A < B < \frac{1}{\lambda} \ln \frac{\varepsilon}{|c|} - \frac{3}{2}$$

Построим по ним полосы  $\Pi$  и  $\tilde{\Pi}$  вида (3.4.5); обозначим  $M_0 = \int_{L_-} \Delta_c(t) dt$  и

$$\tilde{M}_0 = \int_{\tilde{L}_-} \Delta_c(t) dt.$$

**Предложение 3.4.3.**  $M_0 = \tilde{M}_0$

*Доказательство.* Рассмотрим прямоугольник  $\Pi_{A,B,N}$  с границей:  $\partial\Pi_{A,B,N} = \{\xi : \operatorname{Re} \xi = A; \operatorname{Re} \xi = B; \operatorname{Im} \xi = -N; \operatorname{Im} \xi = N\}$ . В силу голоморфности функции  $\Delta_c$ , интеграл по границе прямоугольника будет равен нулю:

$$\int_{\partial\Pi_{A,B,N}} \Delta_c(t) dt = 0$$

Так как  $\Delta_c \in \mathbf{D}_m(\gamma_c)$ , то  $\Delta_c(\xi) = O(\xi^{-m+3})$ ,  $|\xi| \rightarrow \infty$ . Отсюда следует, что интегралы по верхней и нижней границам стремятся к нулю при  $N \rightarrow \infty$ , то есть  $M_0 = \tilde{M}_0$ .  $\square$

**Предложение 3.4.4.** Решение  $\varphi_c$  из (3.4.6), (3.4.10) и (3.4.11) не зависит от выбора полосы  $\Pi$ .

*Доказательство.* Пусть  $\varphi_c$  и  $\tilde{\varphi}_c$  — решения первого гомологического уравнения (3.4.4), построенные на некоторой полосе  $\Pi$  и  $\tilde{\Pi}$  соответственно (напомним, что полоса  $\Pi$  лежит «слева» от полосы  $\tilde{\Pi}$ , то есть  $A < B$ ). Продолжим по формуле (3.4.10) решение  $\varphi_c$  с полосы  $\Pi$  на полосу  $\tilde{\Pi}$ . Так как  $\varphi_c$  и  $\tilde{\varphi}_c$  — решения уравнения (3.4.4), то их разность

$$r(\xi) \stackrel{def}{=} \varphi_c(\xi) - \tilde{\varphi}_c(\xi), \quad \xi \in \tilde{\Pi}$$

голоморфна и ограничена на  $\tilde{\Pi}$  и является 1-периодической:

$$r(\xi + 1) - r(\xi) = 0$$

Так как ширина полосы  $\tilde{\Pi}$  больше единицы, то разность  $r$  по 1-периодичности может быть продолжена с полосы  $\tilde{\Pi}$  на всю комплексную плоскость. Отсюда, по теореме Лиувилля [29]  $r \equiv const$ .

Напомним, что из предложения (3.4.3) следует, что  $M_0 = \tilde{M}_0$ . Так как ширина полосы  $\Pi$  больше 1, то для любого  $\xi \in \Pi$  существует натуральное  $N$  такое, что  $\xi_N = \xi + N \in \tilde{\Pi}$ . Тогда согласно (3.4.11):

$$\varphi_c(\xi_N) = \varphi_c(\xi) + \sum_{n=0}^{N-1} \Delta_c(\xi + n), \quad \xi \in \Pi \quad (3.4.12)$$

Отметим, что при этом

$$\operatorname{Im} \xi = \operatorname{Im} \xi_N \stackrel{def}{=} I \quad (3.4.13)$$

Тогда, так как  $\Delta_c \in \mathbf{D}_m(\gamma_c)$ , то согласно (3.4.11), (3.4.13) и утверждению 2 Main Lemma:

$$\begin{aligned} |r| &= |\varphi_c(\xi_N) - \tilde{\varphi}_c(\xi_N)| = |\varphi_c(\xi) \mp M_0 + \sum_{n=1}^N \Delta_c(\xi + n) - \tilde{\varphi}_c(\xi_N) \pm M_0| \leq \\ &\leq |\varphi_c(\xi) \mp M_0| + |\pm M_0 - \tilde{\varphi}_c(\xi_N)| + \sum_{n=0}^{N-1} \frac{const \cdot \|\Delta_c\|_{\gamma_c, m}}{(1 + |I|^2)^{m/2}} \rightarrow 0, \quad I \rightarrow \pm\infty \end{aligned}$$

Отсюда  $r \equiv 0$ , то есть решение  $\varphi_c$  не зависит от выбора полосы  $\Pi$ .  $\square$



**Предложение 3.4.5.** Функция  $\varphi_c$ , определяемая формулами (3.4.10) и (3.4.11), является голоморфным и ограниченным решением уравнения (3.4.4) на  $\gamma_c$ , причём:

1. найдётся  $c(m)$  такая, что  $\|\varphi_c\|_{\gamma_c} \leq c(m)\|\Delta_c\|_{\gamma_{c,m}}$ ;
2. найдётся  $C(m, \delta)$  такая что  $\sup_{\gamma_c} |\varphi_c(\xi) \mp M_0| \leq \frac{C(m, \delta)\|\Delta_c\|_{\gamma_{c,m}}}{|\xi|^{m-3}}$ ,  $\xi \in \gamma_c^\pm$ ;
3. решение уравнения (3.4.4) единственно в классе голоморфных и ограниченных функций, удовлетворяющих условию 2.
4. если функция  $\Delta_c$  аналитически зависит от некоторого параметра «с», то и функция  $\varphi_c$  — тоже аналитически зависит от «с».

*Доказательство.* Функция  $\varphi_c$ , определяемая формулами (3.4.11) и (3.4.10) удовлетворяет уравнению (3.4.4) — это проверяется прямыми выкладками.

Функция  $\varphi_c$ , определяемая формулами (3.4.11) и (3.4.10) является голоморфной и ограниченной на каждой полосе  $\{\xi : \operatorname{Re} \xi \in (A; A+1) \subset \gamma_c, A \in \mathbb{Z}\}$  как сумма голоморфных и ограниченных функций. При этом, так как эти функции удовлетворяют уравнению (3.4.4), то все точки прямой  $\{\xi \in \gamma_c : \operatorname{Re} \xi \in \mathbb{Z}\}$  являются устранимыми, следовательно,  $\varphi_c$  голоморфна на  $\gamma_c$ .

Утверждения 2-4 следуют аналогичных утверждений для решения  $\varphi_c$  на полосе и предложения 3.4.5. Достаточно покрыть  $\gamma_c$  полосами вида  $\Pi$  и на каждой из них построить решение, для каждого из которых утверждения 2-4 верны.

□

*Шаг 3. Окончание доказательства леммы 3.4.1.*

Напомним, что функция  $\Delta_c$  является сужением функции  $\Delta_1$  на кривую  $\Gamma_c$ , аналитически зависящим от параметра «с».

В силу независимости решения  $\varphi_c$  от полосы (предложение 3.4.4), начинать построение решения  $\varphi_c$  мы можем с любой полосы  $\Pi_c \subset \gamma_c$ . Для

достаточно малых параметров « $c$ » и для всех  $\tilde{c} < c$ , полоса  $\gamma_c$  содержится в  $\gamma_{\tilde{c}}$ , то есть полоса  $\Pi_c$  может быть использована для построения всех решений  $\varphi_{\tilde{c}}$  с параметром « $\tilde{c}$ », меньшим « $c$ ».

*Случай  $c = 0$ .* Для любого  $c \neq 0$  область  $\gamma_c$  содержится в области  $\gamma_c|_{c=0} = \gamma_0$ . Поэтому построение «нулевого» решения, удовлетворяющего так же соотношениям оценки утверждения 1 и асимптотики утверждения 2 (при  $c = 0$ ) мы можем начинать с любой полосы  $\Pi_c$ . По тем же соображениям, что приведены выше, мы получаем единственность решения и аналитическую зависимость от параметра « $c$ » в точке  $c = 0$ .

Таким образом, мы построили решение первого гомологического уравнения в малой секториальной области  $\sigma$ . Это решение является голоморфным на каждой кривой  $\Gamma_c$  и аналитически зависит от параметра « $c$ ». По теореме Хартогса [30] оно голоморфно на  $\sigma$ .

Тем самым лемма 3.4.1 доказана.

**Доказательство леммы о решении второго гомологического уравнения на  $\sigma$ .**

**Замечание 3.4.4.** *Предположим, что на  $\tilde{S}_r$  существует голоморфное секториальное центральное многообразие для отображения  $\tilde{F}$ . Тогда мы можем выпрямить его и считать, что оно совпадает с прямой  $\{z = 0\}$ :  $\tilde{F}(\xi, 0) = (\dots, 0)$ .*

Тогда для функции  $\Delta_2$  из правой части второго гомологического уравнения выполнено:

$$\Delta_2(\xi, 0) = 0 \quad (3.4.14)$$

Учитывая (3.4.14) можно считать, что существует некоторая голоморфная в правой секториальной области  $S_{R\varepsilon}^r$  функция  $\tilde{\Delta}_2$  такая, что функция  $\Delta_2$  имеет вид

$$\Delta_2(\xi, z) = e^\lambda z \tilde{\Delta}_2(\xi, z) \quad (3.4.15)$$

Более того, по лемме Шварца также выполнено:

$$\tilde{\Delta}_2(\xi, z) = \frac{1}{\varepsilon} O(\xi^{-N}), \quad \xi \rightarrow \infty$$

где  $N$  достаточно большое. Таким образом, решение второго гомологического уравнения будем искать в форме

$$g(\xi, z) = z\tilde{g}(\xi, z). \quad (3.4.16)$$

После подстановки (3.4.15) и (3.4.16) во второе гомологическое уравнение мы получаем

$$\tilde{g} \circ F_0 - \tilde{g} = \tilde{\Delta}_2 \quad (3.4.17)$$

где в правой части стоит функция класса  $\mathbf{D}_m(\tilde{W}_r)$ . Уравнение (3.4.17) аналогично первому гомологическому уравнению, поэтому лемма о решении второго гомологического уравнения на  $\sigma$ .

**Замечание 3.4.5.** *Так как параметр  $R$  области  $\tilde{W}_r$  может быть выбран достаточно большим, а малая секториальная область  $\sigma$  «отличается» от  $\tilde{W}_r$  на полосу  $\Pi$  (ширины  $3/2$ ), то без ограничения общности можем считать, что решения гомологических уравнений построены на области  $\tilde{W}_r$ .*

### Секториальное центральное многообразие.

**Замечание 3.4.6.** *Существование голоморфного центрального многообразия в правой секториальной области доказали [34]. Этот факт не выносится на защиту.*

**Замечание 3.4.7.** *В данном разделе доказано существование центрального многообразия в области, чуть большей чем  $\tilde{W}_r$ . А именно, область  $S_{R\delta\varepsilon}^r$  является прямым произведением диска  $\{|z| < \varepsilon\}$  на область  $S_{R\delta}^r$ . Область  $S_{R\delta}^r$  — это дополнение к выпуклой оболочке объединения диска радиуса  $R$  и сектора  $\{|\arg \xi - \pi| < \delta\}$ ,  $\delta \in (0; \pi/2)$ .*

В этом разделе мы докажем существование голоморфного центрального многообразия в правой секториальной области  $S_{R\delta\epsilon}^r$ . Этот факт позволит свести решение второго гомологического уравнения к решению первого гомологического уравнения.

В координатах  $(\xi, z)$  отображение  $\tilde{F}$  имеет форму

$$\tilde{F}(\xi, z) = F_0(\xi, z) + (\Delta_1, \Delta_2), \quad (\xi, z) \in S_{R_0\delta\epsilon_0}^r$$

где  $F_0(\xi, z) = (\xi + 1, e^\lambda z)$ .

**Лемма 3.4.3.** *Для заданного  $\delta \in (0; \frac{\pi}{2})$  и для достаточно малого  $\epsilon > 0$  существует  $R_1$  такое, что для любого  $R > R_1$  и некоторой голоморфной функции*

$$\psi : S_{R\delta}^r \rightarrow D_\epsilon = \{|z| < \epsilon\}$$

её график  $\Gamma = \{(\xi, \psi(\xi)) : \xi \in S_{R\delta}^r\}$  является инвариантным для отображения  $\tilde{F}$ .

$$\tilde{F}(\Gamma) \subset \Gamma \tag{3.4.18}$$

*Доказательство.* Включение (3.4.18) означает что

$$\Lambda\psi(\xi) + \Delta_2(\xi, \psi(\xi)) = \psi(\xi + 1 + \Delta_1(\xi, \psi(\xi)))$$

или, по-другому,

$$\psi(\xi) = e^{-\lambda}(\psi(\xi + 1 + \Delta_1(\xi, \psi(\xi))) - \Delta_2(\xi, \psi(\xi))) =: [A\psi](\xi) \tag{3.4.19}$$

Правая часть (3.4.19) определяет оператор  $A : \psi \mapsto A\psi$ , действующий на множестве функций  $\psi$  с областью определения  $S_{R\delta}^r$ . Пусть  $M$  — метрическое пространство, состоящее из функций  $\psi$ , голоморфных на  $S_{R\tilde{\delta}}^r$  с нормой

$$\|\psi\| = \sup_{S_{R\tilde{\delta}}^r} |\psi(\xi)| \leq \epsilon$$

и метрикой, индуцированной этой нормой. Мы хотим для любого достаточно малого  $\epsilon > 0$  найти  $R_1 > R_0$  такое, что для любого  $R > R_1$ :

1. оператор  $A$  корректно определен на  $M$ ,
2.  $A$  действует из  $M$  в  $M$ ,
3.  $A$  - сжимающий.

1. Пусть

$$\varepsilon_i = \varepsilon_i(R) = \|\Delta_i\|_{S_{R\delta}^r \times D_\varepsilon} = \sup_{S_{R\delta}^r \times D_\varepsilon} |\Delta_i(\xi, z)|, \quad i = 1, 2$$

тогда для выполнения пункта 1) достаточно условия, что при всех  $\xi \in S_{R\delta}^r$  точка  $(\xi, \psi(\xi))$  принадлежит области  $S_{R_0\delta\varepsilon_0}^r$ , а точка  $\xi + 1 + \Delta_1(\xi, \psi(\xi))$  должна принадлежать  $S_{R\delta}^r$ . Первое будет верно, если (см. рис. ниже)

$$\varepsilon < \varepsilon_0 \quad (3.4.20)$$

а второе — если

$$\varepsilon_1 < \sin \delta \quad (3.4.21)$$

2. Если  $\psi \in M$ , то

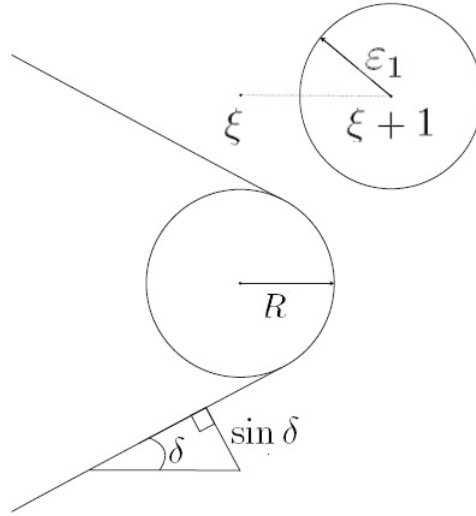


Рис. 2: Круг с центром в точке  $\xi + 1$  радиуса  $\varepsilon_1$  содержится в  $S_{R\delta}^r$  если  $\varepsilon_1 < \sin \delta$ .

$$|[A\psi](\xi)| \leq e^{-\lambda}(\|\psi\| + \|\Delta_2\|) \leq e^{-\lambda}(\varepsilon + \varepsilon_2) \leq \varepsilon$$

значит,  $A\psi$  будет принадлежать  $M$ , если

$$\varepsilon_2 = \varepsilon_2(R) < \varepsilon(\Lambda - 1) \quad (3.4.22)$$

3. Если  $\xi \in S_{R\delta}^r$ , где  $R \geq R_1$ , тогда

$$\begin{aligned} |[A\psi_1](\xi) - A[\psi_2](\xi)| &= e^{-\lambda} |(\psi_1(\xi + 1 + \Delta_1(\xi, \psi_1(\xi))) - \psi_2(\xi)(\xi + 1 + \Delta_1(\xi, \psi_2(\xi))) - \\ &\quad - \Delta_2(\xi, \psi_1(\xi)) + \Delta_2(\xi, \psi_2(\xi)))| \leq \\ &\leq e^{-\lambda} [|\psi_1(\xi)(\xi + 1 + \Delta_1(\xi, \psi_1(\xi))) - \psi_1(\xi)(\xi + 1 + \Delta_1(\xi, \psi_2(\xi)))| + \\ &+ |\psi_1(\xi)(\xi + \Delta_1(\xi, \psi_2(\xi))) - \psi_2(\xi)(\xi + 1 + \Delta_1(\xi, \psi_2(\xi)))| + |\Delta_2(\xi, \psi_1(\xi)) - \Delta_2(\xi, \psi_2(\xi))| ] \end{aligned}$$

Правая часть неравенства состоит из трех слагаемых. Ниже оценим каждое из них.

4. Расстояния в  $S_{R\delta}^r$  (рис. ниже). Обозначим за  $\gamma$  кратчайшую кривую, соеди-

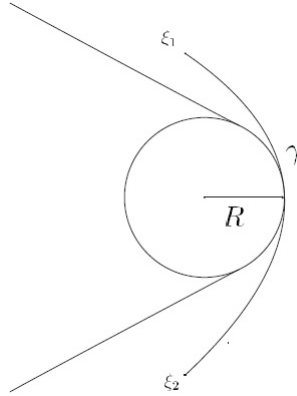


Рис. 3: Расстояния в  $S_{R\delta}^R$  от  $\xi_1$  до  $\xi_2$  - длина кратчайшей кривой  $\gamma \subset S_{R\delta}^r$ , их содержащей.

няющую точки  $\xi_1$  и  $\xi_2$ . Тогда для любых двух точек  $\xi_1$  и  $\xi_2$  из области  $S_{R\delta}^r$ , для любой голоморфной в  $S_{R\delta}^r$  функции  $f(\xi)$  выполнено:

$$|f(\xi_1) - f(\xi_2)| \leq c \cdot \sup_{\xi \in S_{R\delta}^R} |f'(\xi)| \cdot |\xi_1 - \xi_2|$$

для некоторой константы  $c = c(\delta)$ .

*Первое слагаемое.* Пусть  $d = d(R) = \sin \delta - \varepsilon_1 > 0$ . Тогда обе точки  $\xi_1 = \xi + 1 + \Delta_1(\xi, \psi_1(\xi))$  и  $\xi_2 = \xi + 1 + \Delta_1(\xi, \psi_2(\xi))$  лежат в круге  $K_\xi$  радиуса

$\varepsilon_1$  с центром в точке  $\xi + 1$ .

$$\begin{aligned} |\psi_1(\xi_1) - \psi_1(\xi_2)| &\leq |\Delta_1(\xi, \psi_1(\xi)) - \Delta_1(\xi, \psi_2(\xi))| \cdot \sup_{|t-(\xi+1)| < \varepsilon_1} |\psi_1'(t)| \leq \\ &\leq \sup_{|t-(\xi+1)| < \varepsilon_1} |\psi_1'(t)| \cdot \sup_{S_{R\delta}^r \times D_\varepsilon} |\Delta'_{1z}(\xi, z)| \cdot |\psi_1(\xi) - \psi_2(\xi)| \leq \end{aligned}$$

По интегральной формуле Коши: если  $t \in K_\xi$ ,  $\xi \in S_{R\delta}^r$ , то  $|\psi_1'(t)| \leq \frac{\|\psi\|}{d}$ ; если  $\varepsilon < \frac{\varepsilon_0}{2}$ , тогда  $|\Delta'_{1z}(\xi, z)| \leq \frac{\|\Delta_1\|}{\varepsilon_0 - \varepsilon}$

$$\leq \frac{\|\psi\|}{d} \cdot \frac{\|\Delta_1\|}{\varepsilon_0 - \varepsilon} \cdot \|\psi_1 - \psi_2\| \leq \varepsilon \cdot \varepsilon_1(R) \frac{1}{d(\varepsilon_0 - \varepsilon)} \|\psi_1 - \psi_2\|$$

В частности, если

$$\varepsilon_1 = \varepsilon_1(R) < \frac{1}{2} \sin \delta, \quad \varepsilon < \frac{\varepsilon_0}{2} \quad (3.4.23)$$

то  $|\psi_1(\xi_1) - \psi_1(\xi_2)| \leq \frac{2\varepsilon_1}{\sin \delta} \cdot \|\psi_1 - \psi_2\|$ .

*Второе слагаемое:*  $|\psi_1(\xi_2) - \psi_2(\xi_2)| \leq \|\psi_1 - \psi_2\|$ .

*Третье слагаемое:*

$$|\Delta_2(\xi, \psi_1(\xi)) - \Delta_2(\xi, \psi_2(\xi))| \leq \|\psi_1 - \psi_2\| \cdot \sup_{S_{R\delta \times D_\varepsilon}^r} |\Delta'_{2z}(\xi, z)| \leq$$

(аналогично оценке первого слагаемого)

$$\leq \|\psi_1 - \psi_2\| \cdot \frac{\varepsilon_2(R)}{\varepsilon_0/2}, \quad \text{если } \varepsilon < \frac{\varepsilon_0}{2}$$

5. Из 4 следует, что  $\|A\psi_1 - A\psi_2\| \leq \|\psi_1 - \psi_2\| \cdot e^{-\lambda} \cdot (\frac{2\varepsilon_1}{\sin \delta} + 1 + \frac{2}{\varepsilon_0}\varepsilon_2)$ .

6. Мы считаем, что  $N_2$  достаточно большое. Тогда  $\varepsilon_1(R)$  и  $\varepsilon_2(R)$  стремятся к нулю при  $R \rightarrow \infty$ . Поэтому существует достаточно большое  $R_1$  такое что (3.4.23) разрешимо и

$$\Lambda^{-1} \cdot \left( \frac{2\varepsilon_1}{\sin \delta} + \frac{2}{\varepsilon_0}\varepsilon_2 + 1 \right) < 1 \quad (3.4.24)$$

тогда оператор  $A$  является сжимающим.

7. Окончание доказательства. Выберем  $\varepsilon > 0$  из промежутка  $(0, \frac{\varepsilon_0}{2})$ , после этого мы выберем  $R_1$  такое, что выполнено (3.4.22), (3.4.23) и (3.4.24) для всех  $R \geq R_1$ . Тогда пункты а) б) и в) выполнены и по теореме о неподвижной точке

(метрическое пространство  $M$  является полным) мы получаем утверждение леммы.  $\square$

**Замечание 3.4.8.** *В приведенных выше рассуждениях параметр  $\delta$  был выбран произвольно. Поэтому, из утверждения о единственности теоремы о неподвижной точке следует, что секториальное центральное многообразие единственно в следующем смысле: два любых секториальных центральных многообразия с различными областями определения совпадают на общей области определения.*

### 3.5. Решение гомологических уравнений на $\tilde{W}_l$

В этом разделе мы докажем две леммы о решении гомологических уравнений области  $\tilde{W}_l$ . Отметим также, что в этом разделе, в лемме о решении второго гомологического уравнения, будет определено значение параметра раствора секториальной области  $\delta$ .

**Лемма 3.5.1** (о решении первого гомологического уравнения на области  $\tilde{W}_l$ ). *Пусть  $\Delta_1 \in \mathbf{D}_m(\tilde{W}_l)$ , тогда существует голоморфное решение  $h$  первого гомологического уравнения на  $\tilde{W}_l$ , такое что:*

1. найдётся  $c(m)$  такая, что  $\|h\|_{\tilde{W}_l} \leq c(m)\|\Delta_1\|_{\tilde{W}_l, m}$ ;
2.  $h(\xi, z) = O(|\xi|^{-m+1})$  при  $|\xi| \rightarrow \infty$ ,  $(\xi, z) \in \tilde{W}_l$ ;
3. решение первого гомологического уравнения на  $\tilde{W}_l$  единственно в классе голоморфных и ограниченных функций, для которых выполнено утверждение 2.

**Лемма 3.5.2** (о решении второго гомологического уравнения на  $\tilde{W}_l$ ). *Пусть  $\Delta_2 \in \mathbf{D}_m(\tilde{W}_l)$ , тогда существует голоморфное и ограниченное решение второго гомологического уравнения  $g^\pm$  на  $\tilde{W}_l$  такое что:*

1. найдётся  $c(m, \lambda)$  такая что  $\|g^\pm\|_{\tilde{W}_l} \leq c(m, \lambda)\|\Delta_2\|_{\tilde{W}_l, m}$ ;



2.  $g^\pm(\xi, z) = O(|\xi|^{-m+3})$  при  $|\xi| \rightarrow +\infty, (\xi, z) \in \tilde{W}_l^\pm$ ;

3. пусть  $\delta \in (0; \frac{\pi}{2})$  такое, что  $\operatorname{tg} \delta > \frac{\lambda}{2\pi}$ , тогда решение второго гомологического уравнения на области  $\tilde{W}_l^\pm$  единственно в классе голоморфных и ограниченных функций, для которых выполнено утверждение 2.

### Доказательство леммы 3.5.1 о решении первого гомологического уравнения

Решение первого гомологического уравнения может быть представлено следующим образом:

$$h(\xi, z) = \sum_{n=1}^{+\infty} \Delta_1(\xi - n, e^{-\lambda n} z) \quad (3.5.1)$$

Нетрудно проверить, что функция  $h$ , задаваемая (3.5.1), действительно удовлетворяет первому гомологическому уравнению в левой секториальной области.

Для доказательства утверждений 1 и 2 воспользуемся тем, что вещественная часть  $\xi$  для  $\xi \in \tilde{W}_l$  отрицательна:

$$(1 + |\xi - n|^2) \geq \frac{1}{4} (|\operatorname{Re} \xi| + n + |\operatorname{Im} \xi| + 1)^2 \geq \frac{1}{4} \left( \frac{1}{2} |\xi| + \frac{1}{2} (n + 1) \right)^2 \quad (3.5.2)$$

и условием (3.2.7) на функцию  $\Delta_1$  из правой части уравнения (3.2.4), отсюда

$$|h(\xi, z)| = \left| \sum_{n=1}^{+\infty} \Delta_1(\xi - n, e^{-\lambda n} z) \right| \leq \sum_{n=1}^{+\infty} \frac{\|\Delta_1\|_{S_{R\varepsilon}^l, m}}{(1 + |\xi - n|^2)^{\frac{m}{2}}} \leq \frac{2^{2m}}{(m-1)} \frac{\|\Delta_1\|_{S_{R\varepsilon}^l, m}}{|\xi|^{m-1}}$$

Так как  $|\xi| > R > 1$ , то в качестве  $c(m)$  можно выбрать  $c(m) = \frac{2^{2m}}{(m-1)}$ .

*Покажем единственность.* Предположим, что  $h_1$  и  $h_2$  — решения первого гомологического уравнения на области  $\tilde{W}_l$ , для которых выполнено условие 2. Пусть  $r = h_1 - h_2$  — разность этих решений. Тогда для  $r$  на всей области  $\tilde{W}_l$  выполнено:

$$r(\xi + 1, e^\lambda z) - r(\xi, z) = 0 \quad (3.5.3)$$

и  $r$  может быть продолжена на  $\mathbb{C}^2$  следующим способом. Пусть  $(\xi, z)$  — точка  $\mathbb{C}^2$  вне  $\tilde{W}_l$ . Тогда существуют такие  $n_1 = [\operatorname{Re} \xi + R] + 1$  и  $n_2 = [\log_{e^\lambda} \frac{1}{\varepsilon}] + 1$ , что для  $n = \max\{n_1; n_2\}$ , точка  $(\xi_0, z_0) = (\xi - n, e^{-\lambda n} z)$  попадает в область  $\tilde{W}_l$  и мы можем определить значение функции  $r$  в точке  $(\xi, z)$  через значение в точке  $(\xi_0, z_0)$ , а именно:

$$r(\xi, z) = r(\xi - n, e^{-\lambda n} z) = r(\xi_0, z_0)$$

Так как  $r$  голоморфна и ограничена на  $\tilde{W}_l$ , то её продолжение на  $\mathbb{C}^2$  голоморфно и ограничено на  $\mathbb{C}^2$ . Из теоремы Лиувилля [29] следует, что  $r \equiv \text{const}$ . С учётом условия 2,  $r \equiv 0$ .

Лемма 3.5.1 доказана.

### Доказательство леммы 3.5.2 о решении второго гомологического уравнения

Рассмотрим сужение второго гомологического уравнения на  $S_0 \stackrel{\text{def}}{=} \tilde{W}_l \cap \{z = 0\}$ . Отметим, что из определения левой секториальной области следует, что  $S_0 = \tilde{S}_l$ . Положим

$$\begin{aligned} g_0(\xi) &\stackrel{\text{def}}{=} g(\xi, 0) \\ \Delta_0(\xi) &\stackrel{\text{def}}{=} \Delta_2(\xi, 0) \end{aligned}$$

Тогда  $g_0$  может быть найдено как решение уравнения:

$$g_0(\xi + 1) - e^\lambda g_0(\xi) = \Delta_0(\xi), \quad \xi \in \tilde{S}_l \quad (3.5.4)$$

Умножим уравнение (3.5.4) на  $e^{-\lambda(\xi+1+R)}$  и положим

$$d(\xi) \stackrel{\text{def}}{=} e^{-\lambda(\xi+1+R)} \Delta_0(\xi) \quad (3.5.5)$$

Тогда уравнение (3.5.4) примет вид:

$$u(\xi + 1) - u(\xi) = d(\xi), \quad \xi \in \tilde{S}_l \quad (3.5.6)$$

Следуя Main Lemma, зададим на  $\tilde{S}_l$  полосу  $\Pi$  ширины  $3/2$  следующим образом: вертикальная прямая  $L_+ \stackrel{def}{=} \partial\tilde{S}_l = \{\operatorname{Re} \xi = -R\}$  будет образовывать правую границу полосы, а вертикальная прямая  $L_- = L_+ - 3/2$  — левую, причём  $\partial\Pi = L_+ - L_-$ .

Функция  $d$  в правой части уравнения (3.5.6), учитывая условие (3.2.7) на функцию  $\Delta_2$ , принадлежит классу  $\mathbf{D}_m(\Pi)$ . Поэтому верна следующая:

**Лемма 3.5.3** (следует из Main Lemma и замечания 3.4.1). *Функция*

$$u(\xi) = \frac{1}{2\pi i} \sum_{n=0}^{+\infty} \left( \int_{L_-} \frac{d(t)dt}{t - \xi - n} + \int_{L_+} \frac{d(t)dt}{t - \xi + n + 1} \right)$$

является решением уравнения (3.5.6) с правой частью  $d \in \mathbf{D}_m(\Pi)$  на полосе  $\Pi$ , причём:

1. существует  $c(m)$  такое, что  $\|u\|_{\Pi} \leq c(m)\|d\|_{\Pi, m}$ ;
2. существует  $M_0^R = \frac{1}{2} \int_{L_-} d(t)dt$ , существует  $C(m, \delta)$ :

$$\forall \delta \in \left(0; \frac{\pi}{2}\right), \sup_{\Pi} |u(\xi) \mp M_0^R| \leq \frac{C(m, \delta)\|d\|_{\Pi, m}}{|\xi|^{m-3}}, \quad \xi \in \Pi, \quad \pm \operatorname{Im} \xi > \operatorname{tg} \delta |\operatorname{Re} \xi|$$

3. решение уравнения (3.5.6) единственно в классе голоморфных и ограниченных функций, удовлетворяющих утверждению 2 на полосе  $\Pi$ .

Положим  $M_0(a) \stackrel{def}{=} \frac{1}{2} \int_{\operatorname{Re} t = a} \Delta_0(t) e^{-\lambda(t+1)} dt$ . Отметим, что при  $a = -R - \frac{3}{2}$ ,  $M_0 = M_0^R e^{\lambda R}$ . Тогда

**Предложение 3.5.1.** *Значение  $M_0$  не зависит от выбора  $a < -R$ .*

*Доказательство.* Рассмотрим для некоторого натурального  $N$  прямоугольник  $\Pi_N$  с границами  $L_-^1 = -R_1 + i\tau$ ,  $\tau \in [-N, N]$ ,  $L_-^2 = -R_2 + i\tau$ ,  $\tau \in [-N, N]$ ,  $L_-^{N-} = -iN + R$ ,  $R \in [R_1, R_2]$  и  $L_-^{N+} = +iN + R$ ,  $R \in [R_1, R_2]$ .

Так как функция  $\Delta_0(t)e^{-\lambda(t+1)}$  голоморфна на  $S_R^l$ , то интеграл по границе прямоугольника  $\Pi_N$  равен нулю. Рассмотрим интеграл во верхней границе прямоугольника  $L_-^{N+}$ :

$$\begin{aligned} \left| \frac{1}{2} \int_{L_-^{N+}} \Delta_0(R + iN) e^{\lambda(R+iN+1)} dR \right| &\leq \int_{R_1}^{R_2} \frac{\|\Delta_0\|_{S_{R,m}^l} e^{\lambda(R-1)} dR}{2(1 + |R|^2 + |N|^2)^{m/2}} \leq \\ &\leq \frac{\|\Delta_0\|_{S_{R,m}^l} (e^{\lambda(R_2-1)} - e^{\lambda(R_1-1)})}{N^m} \rightarrow 0 \text{ при } N \rightarrow \infty \end{aligned}$$

Аналогично рассмотрим интеграл по нижней границе прямоугольника и получим, что

$$\frac{1}{2} \int_{L_-^1} \Delta_0(t) e^{-\lambda(t+1)} dt = \frac{1}{2} \int_{L_-^2} \Delta_0(t) e^{-\lambda(t+1)} dt$$

Таким образом, предложение доказано.  $\square$

Пусть функция  $u$  — решение уравнения (3.5.6) с правой частью  $d \in \mathbf{D}_m(\Pi)$ , определённой в (3.5.5) из Main Lemma.

Положим

$$g_0(\xi) \stackrel{def}{=} u(\xi) e^{\lambda(\xi+R)}, \quad \xi \in \Pi \quad (3.5.7)$$

и продолжим его с полосы  $\Pi$  на полуплоскость  $\tilde{S}_l$  исходя из (3.5.4) по формуле:

$$g_0(\xi) \stackrel{def}{=} e^{-\lambda k} g_0(\xi+k) - \sum_{n=0}^{k-1} e^{-\lambda(n+1)} \Delta_0(\xi+n), \quad k = [-R - Re\xi], \quad \xi \in \tilde{S}_l \setminus \Pi \quad (3.5.8)$$

**Предложение 3.5.2.** *Функция  $g_0$ , определяемая формулами (3.5.7) и (3.5.8), является голоморфным и ограниченным решением уравнения (3.5.4) на  $\tilde{S}_l$ , причём:*

1.  $\exists c = c(m, \lambda)$  такая что:  $\|g_0\|_{\tilde{S}_l} \leq \|\Delta_0\|_{\tilde{S}_{l,m}}$
2.  $|g_0(\xi) \mp M_0 e^{\lambda\xi}| = O(|\xi|^{-m+3})$ ,  $\xi \in \tilde{S}_l^\pm$ ,  $|\xi| \rightarrow \infty$ .

*Доказательство.* Так как полоса  $\Pi$  ширины больше 1, то для любой точки  $\xi$  слева от полосы точка  $(\xi + k)$ ,  $k = [-R - Re\xi]$  попадает в полосу  $\Pi$ , поэтому решение  $g_0$ , определённое по формуле (3.5.8), корректно определено на  $\tilde{S}_l$  при этом:

— Функция  $g_0$  удовлетворяет уравнению (3.5.4) (проверяется прямыми выкладками).

— Функция  $g_0$  является голоморфной как конечная сумма голоморфных функций на каждой полосе  $\{\xi : Re\xi \in (-A - 1; -A), A \in \mathbb{N}\}$ . Заметим, что так как функция  $g_0$ , определяемая формулами (3.5.7) и (3.5.8), удовлетворяет уравнению (3.5.4), то все точки прямой  $\{\xi \in \tilde{S}_l : Re\xi \in \mathbb{Z}_-\}$  является устранимыми, следовательно,  $g_0$  голоморфна на  $\tilde{S}_l$ .

— Из Main Lemma следует оценка  $g_0$  на полосе  $\Pi$ :

$$\|g_0\|_{\Pi} = \left\| u(\xi)e^{\lambda(\xi+R)} \right\|_{\Pi} \leq c(m) \|\Delta_0(\xi)e^{-\lambda(\xi+R+1)}\|_{\Pi, m} \leq c(m) \|\Delta_0\|_{\Pi, m}$$

Оценим норму  $g_0$ , продолженного на  $\tilde{S}_l \setminus \Pi$  (напомним, что  $\lambda \in \mathbb{R}_+$ , то есть  $e^{-\lambda} < 1$ ):

$$\begin{aligned} \|g_0\|_{\tilde{S}_l \setminus \Pi} &\leq e^{-\lambda(k+1)} \|g_0\|_{\Pi} + \frac{e^{-\lambda} - e^{-\lambda(k+1)}}{1 - e^{-\lambda}} \|\Delta_0\|_{\tilde{S}_l, m} \leq c(m) \|\Delta_0\|_{\Pi, m} + \\ &+ \frac{1}{e^{\lambda} - 1} \|\Delta_0\|_{\tilde{S}_l, m} \leq \left(c(m) + \frac{1}{e^{\lambda} - 1}\right) \|\Delta_0\|_{\tilde{S}_l, m} = c(m, \lambda) \|\Delta_0\|_{\tilde{S}_l, m} \end{aligned}$$

Отсюда

$$\|g_0\|_{\tilde{S}_l} \leq c(m, \lambda) \|\Delta_0\|_{\tilde{S}_l, m}$$

Это доказывает первое утверждение предложения.

— Утверждение 2 Main Lemma доставляет асимптотическую оценку решения в полосе  $\Pi$  (напомним, что  $g_0(\xi) = u(\xi)e^{\lambda(\xi+R)}$ ,  $\Delta_0(\xi) = d(\xi)e^{\lambda(\xi+R+1)}$  и  $M_0e^{\lambda\xi} = M_0^R e^{\lambda(\xi+R)}$ ):

$$|g_0(\xi) \mp M_0e^{\lambda\xi}| \leq \frac{C(m) \|\Delta_0\|_{\Pi, m}}{|\xi|^{m-3}}, \quad \pm Im\xi > |Re\xi|, \quad \xi \in \Pi \quad (3.5.9)$$

Продолжим функцию  $g_0$  с полосы  $\Pi$  на  $\tilde{S}_l$  по формуле (3.5.8) (сохранив для продолженной функции то же обозначение). Тогда  $\forall \xi \in \tilde{S}_l$  такой что  $|Im\xi| >$

$|Re\xi|$  выполнено:

$$\begin{aligned} |g_0(\xi) \mp M_0 e^{\lambda\xi}| &= \left| e^{-\lambda k} g_0(\xi + k) \mp M_0 e^{\lambda(\xi+k)} e^{-\lambda k} - \sum_{n=0}^{k-1} e^{-\lambda(n+1)} \Delta_0(\xi + n) \right| \leq \\ &\leq |e^{-\lambda k} (g_0(\xi + k) \mp M_0 e^{\lambda(\xi+k)})| + \left| \sum_{n=0}^{k-1} e^{-\lambda(n+1)} \Delta_0(\xi + n) \right| \end{aligned}$$

Так как точка  $\xi + k$  попадает в полосу  $\Pi$ , то для первого слагаемого выполнено неравенство (3.5.9). Оценивая второе слагаемое, в результате получим:

$$|g_0(\xi) \mp M_0 e^{\lambda\xi}| \leq \frac{C(m) \|\Delta_0\|_{\Pi, m}}{|\xi + k|^{m-3} e^{\lambda k}} + \sum_{n=0}^{k-1} \frac{\|\Delta_0\|_{\tilde{S}_l, m}}{|Im\xi|^m e^{\lambda n}}, \quad \pm Im\xi > |Re\xi|, \quad \xi \in \tilde{S}_l$$

Заметим, что в этом рассматриваемом нами случае достаточно большой по модулю мнимой части  $\xi$  выполнено:  $|\xi + k| > |Im\xi| > |\xi|/2$ . Отсюда

$$|g_0(\xi) \mp M_0 e^{\lambda\xi}| \leq \frac{\hat{C}(m, \lambda) \|\Delta_0\|_{\tilde{S}_l, m}}{|\xi|^{m-3}}, \quad \pm Im\xi > |Re\xi|, \quad \xi \in \tilde{S}_l \quad (3.5.10)$$

Если же  $\xi$  лежит внутри сектора  $|Im\xi| \leq tg\delta |Re\xi|$ ,  $Re\xi < -R$ , то достаточно показать асимптотику вида  $O(|Re\xi|^{-m+3})$ , так как при  $|Im\xi| \leq tg\delta |Re\xi|$ ,  $|\xi| \leq (1 + tg\delta) |Re\xi|$ , то есть  $|Re\xi| \geq \frac{|\xi|}{1+tg\delta}$ .

Построим решение  $g_0(\xi)$  уравнения (3.5.4) в  $\tilde{S}_l$  по описанной выше схеме: пусть  $\xi \in \tilde{S}_l$ , тогда существует натуральное число  $k = [-Re\xi - R]$  такое, что  $\xi + k$  попадает в полосу  $\Pi$ :

$$|g_0(\xi) \mp M_0 e^{\lambda\xi}| = \left| e^{-\lambda k} \left( g_0(\xi + k) \mp M_0 e^{\lambda(\xi+k)} \right) - \sum_{n=0}^{k-1} e^{-\lambda(n+1)} \Delta_0(\xi + n) \right| \leq$$

Так как  $\xi + k$  лежит в полосе  $\Pi$ , то  $e^{-\lambda(\xi+k)}$  (очевидно) и  $g_0(\xi + k)$  (по Main Lemma) ограничены, отсюда:

$$\leq \frac{c \|\Delta_0\|_{\Pi, m}}{e^{\lambda k}} + \sum_{n=0}^{k-1} \frac{2^m \|\Delta_0\|_{\tilde{S}_l, m} e^{-\lambda(n+1)}}{(1 + |Re\xi + n|)^m} \leq \frac{c \|\Delta_0\|_{\Pi, m} e^{\lambda R}}{e^{\lambda |Re\xi|}} + \sum_{n=0}^{k-1} \frac{2^m \|\Delta_0\|_{\tilde{S}_l, m} e^{-\lambda(n+1)}}{(1 + |Re\xi + n|)^m}$$

Производная  $\frac{\partial}{\partial n} (e^{-\lambda(n+1)} (1 + |Re\xi| - n)^{-m}) = 0$  при  $n_0 = \frac{-m}{\lambda} + 1 + |Re\xi|$ ; при достаточно больших значениях  $|Re\xi|$  значение  $n_0 \in \mathbb{R}_+$ ;  $k \leq |Re\xi|$ , поэтому:

$$\begin{aligned} \sum_{n=0}^{k-1} e^{-\lambda(n+1)} (1 + |Re\xi + n|)^{-m} &= \sum_{n=0}^{k-1} e^{-\lambda(n+1)} (1 + |Re\xi| - n)^{-m} \leq \\ &\leq |Re\xi| \cdot (\lambda/m)^m e^{m-2\lambda} e^{-|Re\xi|} \end{aligned}$$

тогда для некоторой константы  $\tilde{C}(m, \lambda, \delta)$  выполнено:

$$|g_0(\xi) \mp M_0 e^{\lambda \xi}| \leq \frac{\tilde{C}(m, \lambda, \delta) \|\Delta_0\|_{\tilde{S}_l, m}}{|\xi|^m}, \quad |Im\xi| < tg\delta |Re\xi|, \quad \xi \in \tilde{S}_l \quad (3.5.11)$$

из неравенств (3.5.10), (3.5.11) и ограничения  $\delta \in (\frac{\pi}{4}; \frac{\pi}{2})$  следует второе утверждение предложения 2.  $\square$

**Предложение 3.5.3.** *Для любого  $\delta \in (\frac{\pi}{4}; \frac{\pi}{2})$  такого что  $tg\delta > \frac{\lambda}{2\pi}$  голоморфное и ограниченное на  $\tilde{S}_l$  решение уравнения (3.5.4), удовлетворяющее утверждению 2 леммы о решении второго гомологического уравнения, единственно.*

*Доказательство.* Пусть  $g_1^\pm(\xi)$  и  $g_2^\pm(\xi)$  являются голоморфными и ограниченными решениями уравнения:

$$g_0(\xi + 1) - e^\lambda g_0(\xi) = \Delta_0(\xi), \quad \xi \in \tilde{S}_l$$

и удовлетворяют утверждению 2 предложения 2 на  $\tilde{S}_l^\pm$ . Положим

$$g^\pm \stackrel{def}{=} g_1^\pm - g_2^\pm$$

Тогда

$$g^\pm(\xi + 1) - e^\lambda g^\pm(\xi) = 0, \quad \xi \in \tilde{S}_l^\pm$$

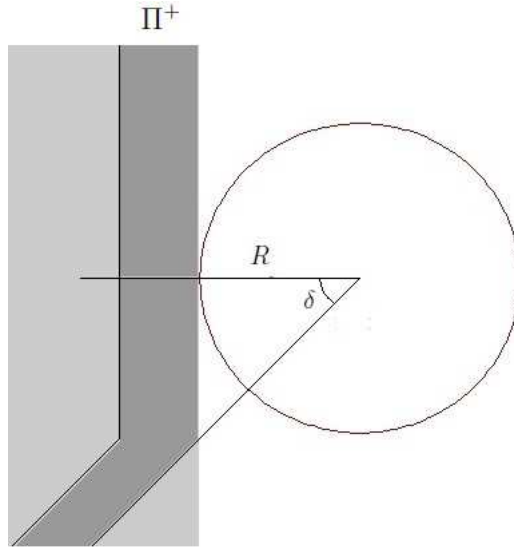
Обозначим  $u^\pm(\xi) \stackrel{def}{=} g^\pm(\xi) e^{-\lambda \xi}$ . Тогда функция  $u^\pm$  является голоморфной на  $\tilde{S}_l$ , а так же 1-периодической.

**Рассмотрим область  $\tilde{S}_l^+$ .**

Для любого  $\xi$  из  $\tilde{S}_l^+$  существует натуральное  $n$  такое, что  $\tilde{\xi} = \xi + n$  попадает в «ломаную» полосу

$$\Pi^+ = \begin{cases} -R - 1 \leq Re\xi \leq -R, & \text{если } Im\xi > -Rtg\delta \\ ctg\delta Im\xi - 1 \leq Re\xi \leq ctg\delta Im\xi, & \text{если } Im\xi \leq -Rtg\delta \end{cases}$$

В силу 1-периодичности,  $u^+(\tilde{\xi}) = u^+(\xi)$ . Покажем ограниченность функции

Рис. 4: Полоса  $\Pi^+$ .

$u^+$  на полосе  $\Pi^+$ . Положим

$$J : \xi \mapsto t = e^{2\pi i \xi} \quad (3.5.12)$$

Заметим, что:

$$\begin{aligned} J(\Pi^+ \cap \{Im\xi > -Rtg\delta\}) &= \{0 < |t| < e^{2\pi R}\} \\ J(\Pi^+ \cap \{Im\xi \leq -Rtg\delta\}) &= \{|t| \geq e^{2\pi R}\} \end{aligned}$$

Функция  $u^+$  в координатах (3.5.12) имеет вид:

$$\tilde{u}^+(t) \stackrel{def}{=} J^{-1} \circ u^+ \circ J = t^{\frac{-\lambda}{2\pi i}} g^+ \left( \frac{1}{2\pi i} \ln t \right)$$

В силу 1-периодичности функции  $u^+$ , функция  $\tilde{u}^+$  определена корректно и голоморфна на  $\mathbb{C}_* = J(\tilde{S}_l)$ . Кроме того:

$$|t| = |e^{2\pi i \xi}| = e^{-2\pi Im\xi}$$

В образе  $\{0 < |t| < e^{2\pi R}\}$  верхней части полосы выполнено:

$$\begin{aligned} \left| t^{\frac{-\lambda}{2\pi i}} \right| &= e^{-\lambda Re\xi} = e^{-\lambda Re\tilde{\xi}} \leq e^{\lambda(R+1)} \\ |\tilde{u}^+(t)| &\leq \left| g^+ \left( \frac{1}{2\pi i} \ln t \right) \right| e^{\lambda(R+1)} \leq Const \text{ при } \{0 < |t| < e^{2\pi R}\} \end{aligned} \quad (3.5.13)$$



Тогда в образе нижней части полосы (то есть  $\{|t| \geq e^{2\pi R}\}$ ) выполнено:

$$|t^{\frac{-\lambda}{2\pi i}}| = e^{-\lambda \operatorname{Re} \xi} = e^{-\lambda \operatorname{Re} \tilde{\xi}} \leq e^{-\frac{\lambda \operatorname{Im} \tilde{\xi}}{tg\delta}} e^\lambda = e^{-\frac{\lambda \operatorname{Im} \xi}{tg\delta}} e^\lambda = e^\lambda |t|^{\frac{\lambda}{2\pi tg\delta}}$$

$$|\tilde{u}^+(t)| \leq |t|^{\frac{\lambda}{2\pi tg\delta}} \left| g^+ \left( \frac{1}{2\pi i} \ln t \right) \right| \leq \operatorname{Const} |t|^{\frac{\lambda}{2\pi tg\delta}} \text{ при } \{|t| \geq e^{2\pi R}\}$$

Так как  $tg\delta > \frac{\lambda}{2\pi}$ , то из оценок Коши для коэффициентов ряда Тейлора [29] следует, что  $t = \infty$  является устранимой особой точкой функции  $\tilde{u}^+$ , так что  $\tilde{u}^+$  ограничена при  $\{|t| \geq e^{2\pi R}\}$ . А, с учётом (3.5.13),  $\tilde{u}^+$  ограничена на  $\mathbb{C}_*$ .

Так как  $\tilde{u}^+$  голоморфна на  $\mathbb{C}_*$ , то из теоремы Римана об устранимой особенности [29] следует, что  $\tilde{u}^+$  голоморфна (и ограничена) на  $\mathbb{C}$ . Из теоремы Лиувилля следует, что  $\tilde{u}^+ = \operatorname{const}$ .

Тогда  $g^+(\xi) = \operatorname{const} \cdot e^{\lambda \xi}$ ; в силу асимптотических свойств функций  $g^+$  (утверждение 2 предложения 2), так как лучи  $\{\xi : \operatorname{Re} \xi = \operatorname{const} \leq -R, \operatorname{Im} \xi \geq 0\}$  принадлежат области  $S_l^+$ , то  $g^+ \equiv 0$ .

**Аналогично рассмотрим область  $\tilde{S}_l^- = \{\operatorname{Re} \xi \leq -R, \operatorname{Im} \xi \leq -tg\delta \operatorname{Re} \xi\}$**

Для любого  $\xi \in \tilde{S}_l^-$  существует натуральное  $n$  такое, что  $\tilde{\xi} = \xi + n$  попадает в «ломаную» полосу  $\Pi^-$ :

$$\Pi^- = \begin{cases} -R - 1 \leq \operatorname{Re} \xi \leq -R, \text{ если } \operatorname{Im} \xi < Rtg\delta \\ -ctg\delta \operatorname{Im} \xi - 1 \leq \operatorname{Re} \xi \leq -ctg\delta \operatorname{Im} \xi, \text{ если } \operatorname{Im} \xi \geq Rtg\delta \end{cases}$$

Подействуем отображением (3.5.12) ( $J : \xi \mapsto (t = e^{2\pi i \xi})$ ):

$$J(\Pi^- \cap \{\operatorname{Im} \xi < Rtg\delta\}) = \{|t| > e^{-Rtg\delta}\}$$

$$J(\Pi^- \cap \{\operatorname{Im} \xi \geq Rtg\delta\}) = \{0 < |t| \leq e^{-Rtg\delta}\}$$

$$\tilde{u}^-(t) \stackrel{\text{def}}{=} J^{-1} \circ u^+ \circ J = t^{\frac{-\lambda}{2\pi i}} g^- \left( \frac{1}{2\pi i} \ln t \right)$$

Аналогично предыдущим рассуждениям, в силу 1-периодичности функции  $u^-$ , функция  $\tilde{u}^-$  определена корректно и голоморфна на  $\mathbb{C}_*$ . Кроме того,

в силу ограниченности  $g^-$ :

$$|\tilde{u}^-(t)| \leq Const \cdot \begin{cases} e^{\lambda(R+1)}, & \text{если } |t| > e^{-Rtg\delta} \\ e^{\lambda}|t|^{\frac{-\lambda}{2\pi tg\delta}}, & \text{если } 0 < |t| \leq e^{-Rtg\delta} \end{cases}$$

Из оценок Коши для коэффициентов ряда Лорана [29] следует, что  $t = 0$  является устранимой особой точкой  $\tilde{u}^-$ , поэтому  $\tilde{u}^-$  продолжаема до голоморфной и ограниченной на  $\mathbb{C}$  функции. Поэтому  $\tilde{u}^- = const$  на  $\mathbb{C}$ . Отсюда, как и в случае выше,  $g^- \equiv 0$ .  $\square$

Положим

$$g_0^\pm(\xi) \stackrel{def}{=} g_0(\xi) \mp M_0 e^{\lambda\xi}$$

Положим  $g_0^\pm(\xi) \stackrel{def}{=} g_0(\xi) \mp M_0 e^{\lambda\xi}$ . Мы построили решение редуцированного второго гомологического уравнения (3.5.4) на области  $\tilde{S}_l$ . Вычтем теперь из второго гомологического уравнения уравнение (3.5.4). Получим уравнение

$$r(\xi + 1, e^\lambda z) - e^\lambda r(\xi, z) = \rho_N(\xi, z), \quad (\xi, z) \in \tilde{W}_l \quad (3.5.14)$$

где

$$\rho_N(\xi, z) \stackrel{def}{=} \Delta_{2N}(\xi, z) - \Delta_0(\xi), \quad r(\xi, z) \stackrel{def}{=} g(\xi, z) - g_0(\xi)$$

Из леммы Шварца [29] следует, что  $\rho_N(\xi, z) = z\tilde{\Delta}_N(\xi, z)$ , где  $\tilde{\Delta}_N$  класса  $\mathbf{D}_m(\tilde{W}_l)$ . Решение уравнения (3.5.14) в левой секториальной области  $\tilde{W}_l$  будем искать в виде  $r(\xi, z) = z\tilde{g}(\xi, z)$ , где  $\tilde{g}$  удовлетворяет уравнению

$$\tilde{g}(\xi + 1, e^\lambda z) - \tilde{g}(\xi, z) = e^{-\lambda}\tilde{\Delta}_N(\xi, z), \quad (\xi, z) \in \tilde{W}_l \quad (3.5.15)$$

Так как функция  $e^{-\lambda}\tilde{\Delta}_N \in \mathbf{D}_m(\tilde{W}_l)$ , то справедливо следующее предложение (оно является переформулировкой леммы 1):

**Предложение 3.5.4.** *Функция  $\tilde{g}$  вида*

$$\tilde{g}(\xi, z) = \sum_{n=1}^{+\infty} e^{-\lambda n} \tilde{\Delta}_N(\xi - n, e^{-\lambda n} z)$$

*голоморфна, ограничена и является решением уравнения (3.5.15) на  $\tilde{W}_l$  причём:*

1. для некоторой константы  $c = c(m)$  верно:  $\|\tilde{g}\|_{\tilde{W}_l} \leq c\|\tilde{\Delta}_N\|_{\tilde{W}_{l,m}}$ ;
2.  $\tilde{g}(\xi, z) = O(|\xi|^{-m+1})$  при  $|\xi| \rightarrow \infty$ ,  $(\xi, z) \in \tilde{W}_l$ ;
3. решение уравнения (3.5.15) единственно на  $\tilde{W}_l$  в классе голоморфных и ограниченных функций, для которых выполнено утверждение 2.

Предложения 3.5.2-3.5.4 доставляют требуемое решение второго гомологического уравнения в области  $\tilde{W}_l$  следующего вида

$$g^\pm(\xi, z) = g_0^\pm(\xi) + z\tilde{g}(\xi, z), \quad (\xi, z) \in \tilde{W}_l$$

где  $g_0^\pm$  из предложений 3.5.2 и 3.5.3,  $\tilde{g}$  — из предложения 3.5.4.

Осталось отметить, что, так как  $\forall(\xi, z) \in \tilde{W}_l$ ,  $\operatorname{Re} \xi < -R$ , то

$$\begin{aligned} \|M_0 e^{\lambda\xi}\|_{\tilde{W}_l} &= \sup_{\tilde{W}_l} \left| \frac{1}{2} \int_{\operatorname{Re} t = -R - \frac{3}{2}} \Delta_0(t) e^{-\lambda(t-\xi)} dt \right| \leq \\ &\leq c(\lambda) \int_{\operatorname{Re} t = -R - \frac{3}{2}} \frac{\|\Delta_0\|_{\tilde{W}_{l,m}}}{(1 + |t|^2)^{m/2}} dt = C(\lambda) \|\Delta_0\|_{\tilde{W}_{l,m}} \end{aligned}$$

Тем самым доказана лемма 3.5.2 (её другие оценки следуют из соответствующих оценок предложений 3.5.2-3.5.4).

### 3.6. Вспомогательные операторы

Данный раздел посвящён второму шагу доказательства теоремы о секториальной  $W$ -нормализации. Здесь будут построены вспомогательные операторы  $\mathcal{L}$  и  $\mathcal{R}$ , а так же доказана сжимаемость оператора  $\mathcal{H} = \mathcal{L} \circ \mathcal{R}$  при подходящем выборе параметров секториальных областей.

Так как все рассуждения данного раздела для секториальных областей  $\tilde{W}_r$  и  $\tilde{W}_l$  полностью идентичны, обозначим для краткости, эти области  $W$ , а, соответственно, области  $\tilde{W}_r^\pm$  и  $\tilde{W}_l^\pm$  обозначим  $W^\pm$ .

Для вектор-функции  $d = (d_1, d_2)$ , голоморфной на области  $W$ , положим

$$\|d\|_{W,m} \stackrel{def}{=} \|d_1\|_{W,m} + \|d_2\|_{W,m} \quad (3.6.1)$$

Обозначим  $\mathbf{B}_m(W)$  — нормированное пространство, состоящее из всех вектор-функций  $d = (d_1, d_2)$ , голоморфных на  $W$  с конечной нормой  $\|d\|_{W,m} < \infty$ , определяемой (3.6.1).

Для вектор-функции  $f = (h, g)$ , голоморфной на левой секториальной области  $W$ , положим

$$\|f\|_W \stackrel{def}{=} \|h\|_W + \|g\|_W \quad (3.6.2)$$

Обозначим  $\mathbf{A}(W)$  — пространство вектор-функций  $f = (h, g)$  голоморфных на  $W$  с нормой (3.6.2).

Отметим, что пространства  $\mathbf{B}_m(W)$  и  $\mathbf{A}(W)$  — банаховы.

### Оператор решения гомологических уравнений $\mathcal{L}^\pm$

Обозначим  $\mathcal{L}^\pm$  оператор, разрешающий гомологические уравнения (3.2.4) и (3.2.5) с правой частью  $d \in \mathbf{B}_m(W)$  (сопоставляющий вектор-функции  $d \in \mathbf{B}_m(W)$  вектор-функцию  $f^\pm \in \mathbf{A}(W)$ ):

$$f^\pm = \mathcal{L}^\pm[d]$$

и действующий согласно леммам 3.5.1 и 3.5.2. Тогда следующая лемма следует непосредственно из лемм 3.5.1 и 3.5.2:

**Лемма 3.6.1.** *Для любого  $t \in (3; N - 2)$  оператор  $\mathcal{L}^\pm$  является корректно определённым оператором, действующим из  $\mathbf{B}_m(W)$  в  $\mathbf{A}(W)$ , причём для некоторой  $\mathfrak{C}(t, \lambda)$  верно:*

$$\forall d \in \mathbf{B}_m(W) : \|\mathcal{L}^\pm[d]\|_W \leq \mathfrak{C}(t, \lambda)\|d\|_{W,m}$$

### Оператор подстановки $\mathcal{R}$

Пусть  $\delta \in (0; \frac{\pi}{2})$  такое, что  $tg\delta > \frac{\lambda}{2\pi}$ . Пусть здесь и всюду далее вектор-функция  $\Delta_N = (\Delta_{1N}, \Delta_{2N})$  — фиксированная вектор-функция.

Выберем параметры  $R_0 > 1$ ,  $\varepsilon_0 > 0$  и построим  $W_{R_0\varepsilon_0}$  так, что  $\Delta_N$  голоморфна на  $W_{R_0\varepsilon_0}$ . Тогда из леммы 3.1.2 следует, что  $\Delta_N$  класса  $\mathbf{B}_{N-2}(W_{R_0\varepsilon_0})$ .

Выберем положительное число  $\varepsilon_1 < \varepsilon_0/2$  и  $R_1 > \max\{R_0 + 1; 1/\varepsilon_0\}$ , тогда для любого  $\xi \in \{Re\xi \leq -R_1\}$  прямое произведение единичного диска с центром в точке  $\xi$  на круг  $|z| < \varepsilon_0$  целиком содержится в  $W_{R_0\varepsilon_0}$ . Выберем некоторое  $R > R_1$ ,  $\varepsilon < \varepsilon_1$  и построим секториальную область  $W_{R\varepsilon}$ .

Пусть  $\omega = \min\{1/2; \varepsilon_0/2\}$ . Обозначим

$$\mathbf{M}_\omega(W_{R\varepsilon}) = \{f \in \mathbf{A}(W_{R\varepsilon}) : \|f\|_{W_{R\varepsilon}} \leq \omega\}$$

шар радиуса  $\omega$  (с центром в нуле) в метрическом пространстве  $\mathbf{A}(W_{R\varepsilon})$  с метрикой, определяемой нормой (3.6.2).

Обозначим  $\mathcal{R}$  оператор, действующий по правилу  $\mathcal{R}[(h, g)] = (d_1, d_2)$ , где:

$$d_1(\xi, z) = \Delta_{1N}(\xi + h(\xi, z), z + g(\xi, z)), \quad d_2(\xi, z) = \Delta_{2N}(\xi + h(\xi, z), z + g(\xi, z))$$

**Лемма 3.6.2.**  $\forall m \in (3; N - 2)$  оператор  $\mathcal{R}$  является корректно определённым оператором, действующим из  $\mathbf{M}_\omega(W_{R\varepsilon})$  в  $\mathbf{B}_m(W_{R\varepsilon})$  таким, что:

1.  $\|\mathcal{R}[f]\|_{W_{R\varepsilon}, m} \leq c_1$ ,  $\forall f \in \mathbf{M}_\omega(W_{R\varepsilon})$ , для некоторой  $c_1 = c_1(m, R, \varepsilon_0)$ ;
2. оператор  $\mathcal{R}^\pm$  — липшицев с постоянной  $c_2 = c_2(m, R, \varepsilon_0)$ .

*Доказательство.* Пусть  $f \in \mathbf{M}_\omega(W_{R\varepsilon})$ , тогда  $\forall (\xi, z) \in W_{R\varepsilon}$ :  $|h(\xi, z)| \leq \omega$ ,  $|g(\xi, z)| \leq \omega$ .

Обозначим  $\tilde{\xi} = \xi + h(\xi, z)$ ,  $\tilde{z} = z + g(\xi, z)$ .

Оператор  $\mathcal{R}^\pm$  корректно определён на  $\mathbf{M}_\omega(W_{R\varepsilon})$ , так как  $\tilde{\xi} = \xi + h(\xi, z)$  лежит в шаре  $|\tilde{\xi} - \xi| < \omega \leq 1/2$ , а  $|\tilde{z}| = |z + g(\xi, z)| < \varepsilon_0$ , поэтому если  $(\xi, z) \in W_{R\varepsilon}$ , то пара  $(\tilde{\xi}, \tilde{z}) \in W_{(R-\omega)\varepsilon_0} \subset W_{R_0\varepsilon_0}$  и пара  $(d_1, d_2)$  корректно определена на  $W_{R\varepsilon}$  и обе функции голоморфны, так как  $\Delta_N \in \mathbf{B}_{N-2}(W_{R_0\varepsilon_0})$ .

**Ограниченность.**

Для всех  $(\xi, z) \in W_{R\varepsilon}$  верны оценки:

$$\begin{aligned} \|d_1\|_{W_{R\varepsilon}, m} &= \sup_{W_{R\varepsilon}} |d_1(\xi, z)(1 + |\xi|^2)^{m/2}| = \\ &= \sup_{W_{R\varepsilon}} \left| \Delta_{1N}(\tilde{\xi}, \tilde{z})(1 + |\tilde{\xi}|^2)^{m/2} \frac{(1 + |\xi|^2)^{m/2}}{(1 + |\tilde{\xi}|^2)^{m/2}} \right| \leq 2^{m/2} \|\Delta_{1N}\|_{W_{(R-\omega)\varepsilon_0}, m} \end{aligned}$$

аналогично

$$\|d_2\|_{W_{R\varepsilon}, m} \leq 2^{m/2} \|\Delta_{2N}\|_{W_{(R-\omega)\varepsilon_0}, m}$$

Так как  $\omega \leq 1/2$ , то  $\|\Delta_{jN}\|_{W_{(R-\omega)\varepsilon_0}, m} \leq \|\Delta_{jN}\|_{W_{(R-1/2)\varepsilon_0}, m}$ ,  $j = 1, 2$ . Тем самым первая оценка получена с постоянной:

$$c_1 = 2^{m/2} \|\Delta_N\|_{W_{(R-1/2)\varepsilon_0}, m}$$

**Липшицевость.** Пусть  $(h, g) \in \mathbf{M}_\omega(W_{R\varepsilon})$  и  $(a, b) \in \mathbf{M}_\omega(W_{R\varepsilon})$ . Для точек  $(\xi, z) \in W_{R\varepsilon}$  обозначим  $(\xi_1, z_1) = (\xi + h(\xi, z), z + g(\xi, z))$ ,  $(\xi_2, z_2) = (\xi + a(\xi, z), z + b(\xi, z))$ . Тогда:

$$\begin{aligned} \|d_1[h, g] - d_1[a, b]\|_{W_{R\varepsilon}, m} &= \sup_{W_{R\varepsilon}} \left| (\Delta_{1N}(\xi_1, z_1) - \Delta_{1N}(\xi_2, z_2))(1 + |\xi|^2)^{m/2} \right| \leq \\ &\leq \sup_{W_{R\varepsilon}} \left[ \sup_{p \in [\xi_1, \xi_2]} \left| \frac{\partial \Delta_{1N}}{\partial \xi}(p, z_1)(1 + |\xi|^2)^{\frac{m}{2}} \right| \cdot |h(\xi, z) - a(\xi, z)| \right] + \\ &\quad + \sup_{W_{R\varepsilon}} \left[ \sup_{q \in [z_1, z_2]} \left| \frac{\partial \Delta_{1N}}{\partial z}(\xi_2, q)(1 + |\xi|^2)^{\frac{m}{2}} \right| \cdot |g(\xi, z) - b(\xi, z)| \right] \leq \end{aligned}$$

Так как  $(h, g) \in \mathbf{M}_\omega(W_{R\varepsilon}), (a, b) \in \mathbf{M}_\omega(W_{R\varepsilon})$ , то при  $(\xi, z) \in W_{R\varepsilon}$  выполнено:

1.  $|h(\xi, z)| < \omega < 1/2$ ,  $|a(\xi, z)| < \omega < 1/2$ , поэтому для любого  $p \in [\xi_1, \xi_2]$  шар  $B_p$  с центром в  $(p, z_1)$  радиуса  $1/4$  лежит в области  $W_{(R-3/4)\varepsilon}$ ;
2.  $|g(\xi, z)| < \omega < \varepsilon_0/2$ ,  $|b(\xi, z)| < \omega < \varepsilon_0/2$ , поэтому для любого  $q \in [z_1, z_2]$  шар  $B_q$  радиуса  $\varepsilon_0/4$  с центром в точке  $(\xi_2, q)$  лежит в области  $W_{R(\frac{3}{4}\varepsilon_0)}$ .

$$\begin{aligned} &\leq \sup_{W_{R\varepsilon}} \left[ \sup_{p \in [\xi_1, \xi_2]} \left| 4 \max_{\tilde{\xi} \in \partial B_p} \left( \Delta_{1N}(\tilde{\xi}, z_1) (1 + |\xi|^2)^{m/2} \frac{(1 + |\tilde{\xi}|^2)^{m/2}}{(1 + |\tilde{\xi}|^2)^{m/2}} \right) \right| \right] \|h - a\|_{W_{R\varepsilon}} + \\ &+ \sup_{W_{R\varepsilon}} \left[ \sup_{q \in [z_1, z_2]} \left| \frac{\max_{\tilde{z} \in \partial B_q} |\Delta_{1N}(\xi_2, \tilde{z})|}{\varepsilon_0/4} (1 + |\xi|^2)^{m/2} \frac{(1 + |\xi_2|^2)^{m/2}}{(1 + |\xi_2|^2)^{m/2}} \right| \right] \|g - b\|_{W_{R\varepsilon}} \leq \end{aligned}$$

Так как (из выбора параметров)  $\frac{1}{\varepsilon_0} < R$ , а так же:

1.  $W_{R\varepsilon} \subset W_{(R-3/4)\varepsilon} \subset W_{(R-3/4)\varepsilon_0}$ ;  $\sup_{W_{(R-3/4)\varepsilon_0}} \frac{(1+|\xi|^2)^{m/2}}{(1+|\tilde{\xi}|^2)^{m/2}} \leq 2$ ;
2.  $W_{R\varepsilon} \subset W_{R(\frac{3}{4}\varepsilon_0)} \subset W_{(R-3/4)\varepsilon_0}$ ;  $\sup_{W_{(R-3/4)\varepsilon_0}} \frac{(1+|\xi|^2)^{m/2}}{(1+|\xi_2|^2)^{m/2}} \leq 2$ ;

то

$$\begin{aligned} &\|d_1[h, g] - d_1[a, b]\|_{W_{R\varepsilon}, m} \leq \\ &\leq 4\|\Delta_{1N}\|_{W_{(R-3/4)\varepsilon_0}} \|h - a\|_{W_{R\varepsilon}} + 4R\|\Delta_{1N}\|_{W_{(R-3/4)\varepsilon_0}} \|d - b\|_{W_{R\varepsilon}} \leq \\ &\leq 4R\|\Delta_{1N}\|_{W_{(R-3/4)\varepsilon_0}} \|(h, g) - (a, b)\|_{W_{R\varepsilon}} \end{aligned}$$

Теми же рассуждениями покажем, что

$$\|d_2[h, g] - d_2[a, b]\|_{W_{R\varepsilon}, m} \leq 4R\|\Delta_{2N}\|_{W_{(R-3/4)\varepsilon_0}, m} \|(h, g) - (a, b)\|_{W_{R\varepsilon}}$$

Так как  $\omega \leq 1/2$ , то оператор  $\mathcal{R}$  — липшицев с постоянной

$$c_2 = 4R\|\Delta_N\|_{W_{(R-3/4)\varepsilon_0}, m}$$

□

**Предложение 3.6.1.**  $\forall m \in (3; N - 3)$  выполнено:

$$c(R, m) = \max\{c_1, c_2\} \leq \frac{2^{N-5} \|\tilde{\Delta}_N\|_{W_{R_0\varepsilon_0}, (N-2)}}{R^{N-3-m}}$$

*Доказательство.* Напомним, что  $\tilde{\Delta}_N \in \mathbf{B}_{N-2}(W_{R_0\varepsilon_0})$ ; заметим, что  $R - 3/4 > R/4$  (при  $R > 1$ ) и  $4^{\frac{N-2-m}{2}} \leq 2^{N-5}$  поэтому при заданных выше параметрах

$R_0$  и  $\varepsilon_0$  выполнено:

$$\begin{aligned} & \|\tilde{\Delta}_N\|_{W_{(R-3/4)\varepsilon_0}, m} = \\ & = \sup_{W_{(R-3/4)\varepsilon_0}} \left( (|\tilde{\Delta}_{1N}(\xi, z)| + |\tilde{\Delta}_{2N}(\xi, z)|)(1 + |\xi|^2)^{\frac{N-2}{2}} \cdot \frac{(1 + |\xi|^2)^{\frac{m}{2}}}{(1 + |\xi|^2)^{\frac{N-2}{2}}} \right) \leq \\ & \leq \sup_{W_{(R-3/4)\varepsilon_0}} \frac{\|\tilde{\Delta}_N\|_{W_{R_0\varepsilon_0}, (N-2)}}{(1 + |\xi|^2)^{\frac{N-2-m}{2}}} \leq \frac{4^{\frac{N-2-m}{2}} \|\tilde{\Delta}_N\|_{W_{R_0\varepsilon_0}, (N-2)}}{R^{N-2-m}} \leq \frac{2^{N-5} \|\tilde{\Delta}_N\|_{W_{R_0\varepsilon_0}, (N-2)}}{R^{N-2-m}} \end{aligned}$$

отсюда следует утверждение предложения.  $\square$

**Сжимаемость композиции операторов  $\mathcal{H}^\pm \stackrel{def}{=} \mathcal{L}^\pm \circ \mathcal{R}$ .**

Сначала уточним выбор параметров секториальных областей.

Выберем некоторые  $\varepsilon_0 > 0$ ,  $R_0 > 1$ ,  $3 < m < N - 3$ ; построим  $W_{R_0\varepsilon_0}$ ; по ним вычислим  $\|\Delta_N\|_{W_{R_0\varepsilon_0}, (N-2)}$  и  $\mathfrak{C}(m, \lambda)$  (из леммы 3.6.1). Положим

$$\omega = \min \{1/2; \varepsilon_0/2\}, \quad 0 < \varepsilon_1 < \varepsilon_0/2$$

Пусть  $c(N)$  из предложения 3.6.1, обозначим

$$R_1 = \max \left\{ R_0 + 1; 1/\varepsilon_0; \left( c(N)\omega^{-1}\mathfrak{C}(m, \lambda)\|\Delta_N\|_{W_{R_0\varepsilon_0}, (N-2)} \right)^{\frac{1}{N-m-3}} \right\}$$

Выберем, наконец,  $R \geq R_1$  и положительное  $\varepsilon \leq \varepsilon_1$ . Построим  $\mathbf{A}(W_{R\varepsilon})$ ,  $\mathbf{B}_m(W_{R\varepsilon})$  и  $\mathbf{M}_\omega(W_{R\varepsilon})$ .

**Лемма 3.6.3.** *Оператор  $\mathcal{H}^\pm$  при указанном выше выборе параметров действует из  $\mathbf{M}_\omega(W_{R\varepsilon})$  в  $\mathbf{M}_\omega(W_{R\varepsilon})$  и является сжимающим.*

*Доказательство.* Из леммы 3.6.1 следует, что оператор  $\mathcal{R}$  действует из  $\mathbf{M}_\omega(W_{R\varepsilon})$  в  $\mathbf{B}_m(W_{R\varepsilon})$  с константой  $c_1$  (утверждение 1) и липшицев с константой  $c_2$  (утверждение 2), также выполнено утверждение предложения 3.6.2.

Из леммы 3.6.1 следует, что линейный оператор  $\mathcal{L}^\pm$ , разрешающий гомологические уравнения, действует из  $\mathbf{B}_m(W_{R\varepsilon})$  в  $\mathbf{A}(W_{R\varepsilon})$  и ограничен с константой  $\mathfrak{C}(m, \lambda)$ .



Тогда: так как  $\forall f \in \mathbf{M}_\omega(W_{R\varepsilon})$ ,  $\mathcal{R}[f] \in \mathbf{B}_m(W_{R\varepsilon})$ , то для оператора  $\mathcal{H}^\pm$  выполнено:

$$\forall f \in \mathbf{M}_\omega(W_{R\varepsilon}) : \|\mathcal{H}^\pm[f]\|_{W_{R\varepsilon}} \leq \|\mathcal{L}^\pm\|_{W_{R\varepsilon}} \cdot \|\mathcal{R}[f]\|_{W_{R\varepsilon},m} \leq \mathfrak{C}(m, \lambda)\mathfrak{c}(R, m) \quad (3.6.3)$$

В силу линейности оператора  $\mathcal{L}^\pm$  также выполнено:

$$\begin{aligned} \forall f_{1,2} \in \mathbf{M}_\omega(W_{R\varepsilon}) : \|\mathcal{H}^\pm[f_1] - \mathcal{H}^\pm[f_2]\|_{W_{R\varepsilon}} = \\ = \|\mathcal{L}^\pm(\mathcal{R}[f_1] - \mathcal{R}[f_2])\|_{W_{R\varepsilon}} \leq \mathfrak{C}(m, \lambda)\mathfrak{c}(R, m)\|f_1 - f_2\|_{W_{R\varepsilon}} \end{aligned} \quad (3.6.4)$$

В силу выбора  $R$  из предложения 3.6.2 выполнено соотношение:

$$\mathfrak{c}(R, m)\mathfrak{C}(m, \lambda) \leq \omega \leq 1/2 \quad (3.6.5)$$

из (3.6.3) и (3.6.5) следует корректность оператора  $\mathcal{H}^\pm$ , из (3.6.4) и (3.6.5) — сжимаемость. Лемма доказана.  $\square$

### Доказательство леммы о решении функциональных уравнений.

Построим области  $W_{R\varepsilon}^\pm$ . Напомним, что  $\delta \in (0; \frac{\pi}{2})$  и  $tg\delta > \frac{\lambda}{2\pi}$ .

Напомним также, что  $\Delta_N$  — функция из правой части функциональных уравнений. Выбор класса  $\mathbf{B}_{N-2}$  с параметром  $N-2$  обусловлен леммой 3.1.2.

**Лемма 3.6.4.** *На области  $W_{R\varepsilon}$ :*

1. *существует голоморфное и ограниченное отображение  $\tilde{H}_N^\pm$  сопрягающее  $F_0$  с  $\tilde{F}_N$  вида:*

$$\tilde{H}_N^\pm(\xi, z) = (\xi + h_N(\xi, z), z + g_N^\pm(\xi, z))$$

2.  $\tilde{H}_N^\pm(\xi, z) = (\xi + o(|\xi|^{-N+6}), z + o(|\xi|^{-N+6}))$  при  $|\xi| \rightarrow \infty$ ,  $(\xi, z) \in W_{R\varepsilon}^\pm$ ;

3. *нормализующее отображение, сопрягающее  $F_0$  с  $\tilde{F}_N$  на области  $W_{R\varepsilon}^\pm$ , единственно в классе голоморфных и ограниченных функций, для которых выполнено утверждение 2.*

*Доказательство.* Пространство  $\mathbf{A}(W_{R\varepsilon})$  с нормой (3.6.2) является банаховым, поэтому пространство  $\mathbf{M}_\omega(W_{R\varepsilon})$  с индуцированной метрикой — полно. Так как по лемме 6 оператор  $\mathcal{H}^\pm$  действует из  $\mathbf{M}_\omega(W_{R\varepsilon})$  в  $\mathbf{M}_\omega(W_{R\varepsilon})$  и является сжимающим, то по теореме о сжимающих отображениях в области  $W_{R\varepsilon}$ :

$$\exists! (h_N^\pm, g_N^\pm) : (h_N^\pm, g_N^\pm) = \mathcal{H}^\pm (h_N^\pm, g_N^\pm) \quad (3.6.6)$$

Отсюда следует, что существует и единственно отображение  $\tilde{H}_N^\pm(\xi, z) = (\xi + h^\pm(\xi, z), z + g_N^\pm(\xi, z))$ , удовлетворяющее паре функциональных уравнений (т.е. сопрягающее  $F_0$  с  $\tilde{F}_N$ ). Так как  $(h_N^\pm, g_N^\pm) \in \mathbf{M}_\omega(S_{R\varepsilon})$ , то  $\tilde{H}_N$  голоморфно в  $W_{R\varepsilon}$ . Первое утверждение доказано (равенство отображений  $h_N^+ = h_N^-$  на пересечении  $W_{R\varepsilon}^+$  и  $W_{R\varepsilon}^-$  может быть показано в точности так же как утверждение предложения 3.5.3.

Так как из леммы 3.6.2 следует, что оператор  $\mathcal{R}$  действует из  $\mathbf{M}_\omega(W_{R\varepsilon})$  в  $\mathbf{B}_m(W_{R\varepsilon})$ , то из лемм 3.5.1 и 3.5.2 следует утверждение 2.

Утверждение 3 так же может быть показано аналогично утверждению предложения 3.5.3.  $\square$

**Замечание 3.6.1.** *Отметим, что из определения секториальных областей  $\tilde{W}_l^+$  и  $\tilde{W}_l^-$  следует, что они пересекаются. Равенство отображений  $h_N^+$  и  $h_N^-$  на пересечении этих областей может быть показано в точности так же как единственность секториального голоморфного нормализующего отображения в п.3.7.*

### 3.7. Доказательство теоремы о секториальной нормализации

Все рассуждения раздела проводятся в предположении выбора параметров для доказательства леммы 3.6.4.

## Существование решения

Лемма 3.6.4 доставляет голоморфную нормализующую замену координат  $\tilde{H}_N^\pm$ , сопрягающую нормальную форму  $F_0$  с предварительной нормальной формой  $\tilde{F}_N$  на области  $W_{R\varepsilon}$ . Тогда композиция  $\tilde{H}_N^\pm \circ \tilde{\mathfrak{H}}_N$  является голоморфным отображением, сопрягающим  $F_0$  с отображением  $\tilde{F}$  на  $W_{R\varepsilon}$ .

## Нормированность

Из построения следует, что отображение  $\tilde{H}_N^\pm \circ \tilde{\mathfrak{H}}_N$  является нормированным на  $W_{R\varepsilon}^\pm$ .

Отметим, что из нормированности отображения  $\tilde{H}_N^\pm \circ \tilde{\mathfrak{H}}_N$  в секториальных областях  $W_{R\varepsilon}^\pm$  следует их обратимость при подходящем выборе достаточно большого параметра  $R$ .

## Единственность

Пусть существует два голоморфных, ограниченных и нормированных отображения, сопрягающих  $F_0$  с  $\tilde{F}$  на области  $W_{R\varepsilon}^\pm$ . Обозначим их  $H^\pm$  и  $G^\pm$ . Из нормированности следует существование обратного отображения  $(G^\pm)^{-1}$ , которое действует из  $G^\pm(W_{R\varepsilon}^\pm)$  в  $W_{R\varepsilon}^\pm$ . Отображение  $\Phi^\pm = H^\pm \circ (G^\pm)^{-1}$  будем называть *функцией перехода*. Из построения функции перехода следует, что она коммутирует с нормальной формой  $F_0$ :

$$F_0 \circ \Phi^\pm = F_0 \circ H^\pm \circ (G^\pm)^{-1} = H^\pm \circ \tilde{F} \circ (G^\pm)^{-1} = H^\pm \circ (G^\pm)^{-1} \circ F_0 = \Phi^\pm \circ F_0$$

Пусть функция перехода имеет вид  $\Phi^\pm(\xi, z) = (\xi + h(\xi, z), z + g^\pm(\xi, z))$ , голоморфна, ограничена и так же является нормированной. Из коммутативности с нормальной формой следует, что:

$$h(\xi, z) = h(\xi + 1, e^\lambda z) \tag{3.7.7}$$

$$e^\lambda g^\pm(\xi, z) = g^\pm(\xi + 1, e^\lambda z)$$

Заметим, что для производной  $\frac{\partial g^\pm}{\partial z}$  выполнено то же соотношение, что и для функции  $h$ :

$$\frac{\partial g^\pm}{\partial z}(\xi, z) = \frac{\partial g^\pm}{\partial z}(\xi + 1, e^\lambda z) \quad (3.7.8)$$

Причём из оценок Коши [29] и нормированности следует, что производная  $\frac{\partial g^\pm}{\partial z}$  так же является голоморфной и ограниченной на, быть может, меньшей, секториальной области, с аналогичной асимптотикой.

Заметим, что уравнения (3.7.7) и (3.7.8) в точности повторяют уравнение (3.5.3) из доказательства единственности решения первого гомологического уравнения (лемма 3.5.1). Повторяя те же рассуждения, получим

$$h(\xi, z) = \frac{\partial g^\pm}{\partial z}(\xi, z) = 0, \quad (\xi, z) \in \mathbb{C}^2$$

Отсюда следует, что  $g^\pm$  не зависит от  $z$ : для  $g^\pm(\xi, z) = g^\pm(\xi)$  и выполнено:

$$e^\lambda g^\pm(\xi) = g^\pm(\xi + 1), \quad \xi \in S_{R\varepsilon}^\pm \quad (3.7.9)$$

В точности такое же уравнение и так же в области  $S_{R\varepsilon}^\pm$  уже было рассмотрено в доказательстве единственности редуцированного второго гомологического уравнения (предложение 3.5.4). Отсюда  $g^\pm \equiv 0$  на  $S_{R\varepsilon}^\pm$ .

### Асимптотика

Пусть  $\tilde{H}^\pm \stackrel{def}{=} \tilde{H}_N^\pm \circ \tilde{\mathfrak{H}}_N$  — построенные выше отображения. Из доказанной выше единственности и единственности аналитического продолжения следует, что при построении  $\tilde{\mathfrak{H}}_N$  и  $\tilde{H}_N^\pm$  параметр  $N > 6$  мог быть выбран произвольно. Тогда, так как

$$\tilde{\mathfrak{H}}_N = id + (O(|\xi|^{-N+6}), O(|\xi|^{-N+6})), \quad |\xi| \rightarrow \infty$$

то:

$$\forall N > 6 : \tilde{H}_N^\pm \circ \tilde{\mathfrak{H}}_N = \tilde{\mathfrak{H}}_N + O(|\xi|^{-N+6}), \quad |\xi| \rightarrow \infty$$

откуда и следует, что полуформальная нормализующая замена координат  $\tilde{\mathfrak{H}}$  является асимптотическим рядом для  $\tilde{H}_N^\pm \circ \tilde{\mathfrak{H}}_N$  при  $N \rightarrow \infty$ .

## Продолжение решений функциональных уравнений с области $\tilde{W}_l$ на секториальную область $S^l \times \{|z| < \varepsilon\}$

Напомним, что стандартные секториальные области  $\Omega_1$  и  $\Omega_2$  строились как прямое произведение прообраза левой секториальной области на  $\xi$ -плоскости  $S^l$  на диск  $\{|y| < \varepsilon\}$ . Обозначим  $W_l = S^l \times \{|z| < \varepsilon\}$  и определим области  $W_l^\pm$  аналогично областям  $\tilde{W}_l^\pm$ . Решения функциональных уравнений были построены на существенно меньшей чем  $W_l^\pm$  области  $\tilde{W}_l^\pm$ . Исправим это.

Были построены голоморфные секториальные нормализующие отображения  $\tilde{H}_N^\pm = (\xi + h_N(\xi, z), z + g_N^\pm(\xi, z))$  на секториальных областях  $\tilde{W}_l^\pm$ . Продолжим  $h_N$  и  $g_N^\pm$  по функциональным уравнениям на секториальные области  $W_l^\pm$  по следующему правилу.

Обозначим  $\xi_j = \xi - j$ ,  $z_j = e^{-\lambda j} z$ . Тогда для любого  $\xi \in W_l^\pm \setminus \tilde{W}_l^\pm$  найдётся  $k = [Re\xi - R + 1]$  такое, что  $(\xi_k, z_k) \in \tilde{W}_l^\pm$ . Тогда  $h_N$  и  $g_N^\pm$  могут быть корректно продолжены по индукции до голоморфных и ограниченных на  $W_l^\pm$  функций по формулам:

$$h_N(\xi, z) = h_N(\xi_k, z_k) + \sum_{n=1}^k \Delta_{1N}(\xi_n + h_N(\xi_n, z_n), z_n + g_N(\xi_n, z_n))$$

$$g_N(\xi, z) = e^{\lambda k} g_N(\xi_k, z_k) + \sum_{n=1}^k e^{\lambda(n-1)} \Delta_{1N}(\xi_n + h_N(\xi_n, z_n), z_n + g_N(\xi_n, z_n))$$

Из оценок  $\tilde{H}_N^\pm$  на  $\tilde{W}_l$  и ограниченности  $k$  ( $k$  не превышает  $2R+3$ ) следует, что продолженное таким образом на  $W_l$  отображение единственно, голоморфно, ограничено и сохраняет асимптотические свойства на  $W_l^\pm$ .

## Окончание доказательства теоремы о секториальной нормализации

Выбирая параметры областей достаточно большими (радиус  $R$  и раствор  $\delta$ ) и достаточно малыми (радиус  $\varepsilon$ ), без ограничения общности можем считать, что прообразами областей  $W_l^+$ ,  $W_l^-$ ,  $\tilde{W}_r^-$  и  $\tilde{W}_r^+$  при отображении  $K : (x, y) \mapsto (\xi = -\frac{1}{x}, z = y)$  являются стандартные секториальные области  $\Omega_1$ ,  $\Omega_2$ ,  $\Omega_3$  и

$\Omega_4$  и построенное отображение  $H_j = K^{-1} \circ \tilde{H}_j \circ K$ ,  $j \in \mathbb{Z}_4$  удовлетворяет теореме 0.0.2.

Таким образом теорема 0.0.2 о секториальной нормализации доказана.

## 4. Теорема об аналитической классификации

Для удобства последующих рассуждений обозначим  $W_j$  образ стандартной секториальной области  $\Omega_j$  при действии выпрямляющего отображения  $K$ . В разделе выше данные области были обозначены  $W_1 = W_l^+$ ,  $W_2 = W_l^-$ ,  $W_3 = \tilde{W}_r^-$  и  $W_4 = \tilde{W}_r^+$ .

Пусть  $H_j$ ,  $j \in \mathbb{Z}_4$  — построенные в теореме 0.0.2 голоморфные нормированные секториальные нормализующие отображения.

### 4.1. Теорема об эквивалентности и эквимодальности

**Определение 4.1.1.** *Функции  $\Phi_{j,j+1} \stackrel{def}{=} H_{j+1}^{-1} \circ H_j$ ,  $j \in \mathbb{Z}_4$  с областями определения  $\tilde{\Omega}_{j,j+1} = \Omega_j \cap H_j^{-1} \circ H_{j+1}(\Omega_{j+1})$  будем называть функциями перехода.*

**Замечание 4.1.1.** *В силу определения и теоремы о секториальной нормализации 0.0.2, тождественное отображение является асимптотическим для функций перехода при  $x \rightarrow 0$ , то есть*

$$\forall N \in \mathbb{N}, \quad \Phi_{j,j+1}(x, y) - (x, y) = (O(|x|^N), O(|x|^N)), \quad |x| \rightarrow 0, \quad (x, y) \in \tilde{\Omega}_{j,j+1}$$

Запишем функции перехода в выпрямляющих координатах:  $\Psi_{j,j+1} \stackrel{def}{=} K \circ \Phi_{j,j+1} \circ K^{-1}$ . Обозначим  $\tilde{W}_{j,j+1}$  образ области  $\tilde{\Omega}_{j,j+1}$  при отображении  $K$ . Отметим, что из замечания 4.1.1 следует, что

$$\forall N \in \mathbb{N}, \quad \Psi_{j,j+1}(\xi, z) - (\xi, z) = (O(|\xi|^{-N}), O(|\xi|^{-N})), \quad |\xi| \rightarrow \infty, \quad (\xi, z) \in \tilde{W}_{j,j+1} \quad (4.1.1)$$

Положим, что функции перехода имеют вид

$$\Psi_{j,j+1}(\xi, z) = (\xi + h_{j,j+1}(\xi, z), z + g_{j,j+1}(\xi, z))$$

где  $h_{j,j+1}$  и  $g_{j,j+1}$  голоморфны и ограничены на  $\tilde{W}_{j,j+1}$ ,  $j \in \mathbb{Z}_4$ . Из построения секториальных нормализующих отображений на секториальных областях  $\Omega_3$

и  $\Omega_4$  следует, что в силу существования голоморфного центрального многообразия, функция перехода  $\Psi_{3,4}$  может быть представлена в виде

$$\Psi_{3,4}(\xi, z) = (\xi + h_{j,j+1}(\xi, z), z(1 + \tilde{g}_{j,j+1}(\xi, z)))$$

где  $\tilde{g}_{3,4}$  голоморфна и ограничена на  $\tilde{W}_{3,4}$ .

Рассмотрим отображение  $J$ , действующее по правилу

$$J : (\xi, z) \mapsto (t = e^{2\pi i \xi}, \tau = ze^{-\lambda \xi})$$

Заметим, что отображение  $J$  является первым интегралом нормальной формы  $F_0$  (в частности, инвариантно относительно сдвига  $\xi \mapsto \xi + 1$ ). Поэтому корректно определено обратное к нему

$$J^{-1} : (t, \tau) \mapsto \left( \xi = \frac{1}{2\pi i} \ln t, z = \tau t^{\frac{\lambda}{2\pi i}} \right)$$

Обозначим  $\Upsilon_{j,j+1} \stackrel{\text{def}}{=} J \circ \Psi_{j,j+1} \circ J^{-1}$  и  $\Theta_{j,j+1} = J(\tilde{W}_{j,j+1})$ , тогда:

$$\Upsilon_{3,4}(t, \tau) = \left( te^{2\pi i \alpha_{3,4}(t, \tau)}, \tau (1 + \beta_{3,4}(t, \tau)) e^{-\lambda \alpha_{3,4}(t, \tau)} \right), (t, \tau) \in \Theta_{3,4}$$

$$\begin{aligned} \Upsilon_{j,j+1}(t, \tau) &= \left( te^{2\pi i \alpha_{j,j+1}(t, \tau)}, (\tau + \beta_{j,j+1}(t, \tau)) e^{-\lambda \alpha_{j,j+1}(t, \tau)} \right) \\ &(t, \tau) \in \Theta_{j,j+1}, j = 1, 2, 4 \end{aligned}$$

где:

$$\begin{aligned} \Theta_{3,4} &= \{0 < |t| < \infty\} \times \{|\tau| < \text{const} < +\infty\} \\ \alpha_{3,4}(t, \tau) &= h_{3,4} \left( \frac{1}{2\pi i} \ln t, \tau t^{\frac{\lambda}{2\pi i}} \right), \beta_{3,4}(t, \tau) = g_{3,4} \left( \frac{1}{2\pi i} \ln t, \tau t^{\frac{\lambda}{2\pi i}} \right) \\ \Theta_{1,2} &= \{0 < |t| < \infty\} \times \{|\tau| < +\infty\} \\ \Theta_{2,3} &= \{|t| > \text{const}\} \times \{|\tau| < \text{const} < +\infty\} \\ \Theta_{4,1} &= \{|t| < \text{const} < \infty\} \times \{|\tau| < \text{const} < +\infty\} \\ \alpha_{j,j+1}(t, \tau) &= \varphi_{j,j+1} \left( \frac{1}{2\pi i} \ln t, \tau t^{\frac{\lambda}{2\pi i}} \right), \beta_{j,j+1}(t, \tau) = t^{\frac{-\lambda}{2\pi i}} \varphi_{j,j+1} \left( \frac{1}{2\pi i} \ln t, \tau t^{\frac{\lambda}{2\pi i}} \right) \\ j &= 1, 2, 4 \end{aligned}$$



Отметим, что функции  $\alpha_{j,j+1}$  и  $\beta_{j,j+1}$ ,  $j \in \mathbb{Z}_4$  голоморфны и ограничены на областях определения. Тогда:

1) Из теоремы Лиувилля и теоремы об устранимой особенности [29] следует, что  $\alpha_{3,4} = \alpha_{3,4}(\tau)$ ,  $\beta_{3,4} = \beta_{3,4}(\tau)$ ,  $\alpha_{1,2} \equiv C_1$ ,  $\beta_{1,2} \equiv C_2$ , где  $C_j$ ,  $j = 1, 2$  — некоторые постоянные.

2) Из построения голоморфных нормализующих отображений в правой секториальной области (а именно, решения гомологических уравнений на инвариантных кривых  $\Gamma_c$ ) следует, что если параметр «с» выбрать равным нулю, то голоморфное нормализующее отображение в области  $\tilde{W}_3$  совпадёт с решением в  $\tilde{W}_4$ . Напомним, что «нулевая» инвариантная кривая задаётся парами  $(\xi, z)$  из правой секториальной области такими, что  $0 = ze^{-\lambda\xi}$ . Таким образом  $\alpha_{3,4}(0) = \beta_{3,4}(0) = 0$ .

3) Функции перехода  $\Upsilon_{2,3}$  при  $t \rightarrow \infty$  и  $\Upsilon_{4,1}$  при  $t \rightarrow 0$  асимптотически тождественны.

Окончательно имеем:

$$\begin{aligned} \Upsilon_{1,2}(t, \tau) &= (t, \tau + C) \\ \Upsilon_{2,3}(t, \tau) &= \left( t(1 + A_{2,3}(t, \tau)), (\tau + B_{2,3}(t, \tau)) (1 + A_{2,3}(t, \tau))^{\frac{-\lambda}{2\pi i}} \right) \\ \Upsilon_{3,4}(t, \tau) &= \left( t(1 + A_{3,4}(\tau)), \tau (1 + B_{3,4}(\tau)) (1 + A_{3,4}(\tau))^{\frac{-\lambda}{2\pi i}} \right) \\ \Upsilon_{4,1}(t, \tau) &= \left( t(1 + A_{4,1}(t, \tau)), (\tau + B_{4,1}(t, \tau)) (1 + A_{4,1}(t, \tau))^{\frac{-\lambda}{2\pi i}} \right) \end{aligned} \quad (4.1.2)$$

где

$$\left. \begin{aligned} A_{4,1} = A_{4,1}(t, \tau), \quad B_{4,1} = B_{4,1}(t, \tau) \quad \text{голоморфны в } (\mathbb{C}^2, 0), \\ \text{причём } A_{4,1}(t, \tau) = O(t), \quad B_{4,1}(t, \tau) = O(t), \quad t \rightarrow 0; \\ A_{2,3} = A_{2,3}(t, \tau), \quad B_{2,3} = B_{2,3}(t, \tau) \quad \text{голоморфны в } (\mathbb{C}, \infty) \times (\mathbb{C}, 0), \\ \text{причём } A_{2,3}(t, \tau) = O(1), \quad B_{2,3}(t, \tau) = O(t^{-1}), \quad t \rightarrow \infty; \\ A_{3,4} = A_{3,4}(\tau), \quad B_{3,4} = B_{3,4}(\tau) \quad \text{голоморфны в } (\mathbb{C}, 0), \\ \text{причём } A_{3,4}(\tau) = O(\tau), \quad B_{3,4}(\tau) = O(\tau), \quad \tau \rightarrow 0 \\ C \in \mathbb{C}. \end{aligned} \right\} \quad (4.1.3)$$

**Определение 4.1.2.** Построенный выше набор  $(A_{j,j+1}, B_{j,j+1}, C)$ ,  $j \in \mathbb{Z}_4$   $j = 2, 3, 4$  будем называть набором функциональных инвариантов отображения  $F \in \mathbf{F}_\lambda$  и обозначать  $t_F$ . Без ограничения общности можем считать, что набор  $t_F$  так же является функциональным модулем роста  $\mathbf{F}$ .

Покажем теперь, что построенные выше наборы действительно являются инвариантами аналитической классификации ростков полугиперболических отображений класса  $\mathbf{F}_\lambda$ .

Напомним, что два ростка  $\mathbf{F}$  и  $\tilde{\mathbf{F}}$  будем называть *строго аналитически эквивалентными*, если существует сопрягающая их представителей голоморфная замена координат  $H$ , такая, что

$$H(x, y) = (x + o(x^2), y + o(x)), \quad x \rightarrow 0 \quad (4.1.4)$$

**Теорема 4.1.1** (Об эквивалентности и эквимодальности). *Для строгой аналитической эквивалентности ростков класса  $\mathbf{F}_\lambda$  необходимым и достаточным условием является условие совпадения их наборов функциональных инвариантов.*

*Доказательство.* Необходимость.

Пусть  $F$  и  $\tilde{F}$  — представители ростков  $\mathbf{F}$  и  $\tilde{\mathbf{F}}$  класса  $\mathbf{F}_\lambda$ ;  $U$  и  $\tilde{U}$  — их области определения. Пусть  $F$  и  $\tilde{F}$  строго аналитически эквиваленты, и  $H : \tilde{U} \rightarrow U$  — сопрягающая их замена вида (4.1.4):

$$F \circ H = H \circ \tilde{F}, \quad (x, y) \in \tilde{U}$$

Пусть  $H_j$  — одно из секториальных нормализующих преобразований для  $F$ , определенное на секториальной области  $\Omega_j$ :

$$F \circ H_j = H_j \circ F_\lambda, \quad (x, y) \in \Omega_j$$

Меняя, если требуется, параметры секториального покрытия  $\{\Omega_j\}_{j \in \mathbb{Z}_4}$ , без ограничения общности можем считать, что  $U \setminus \{x = 0\} = \bigcup_{j \in \mathbb{Z}_4} H_j(\Omega_j)$ . Тогда

отображение  $G_j \stackrel{def}{=} H^{-1} \circ H_j$  является корректно определённым соответствующим секториальным нормализующим аналитическим отображением для  $\tilde{F}$ :

$$\begin{aligned} \tilde{F} \circ G_j &= (H^{-1} \circ F \circ H) \circ (H^{-1} \circ H_j) = \\ &= H^{-1} \circ F \circ H_j = H^{-1} \circ H_j \circ F_\lambda = G_j \circ F_\lambda, \quad (x, y) \in \Omega_j \quad (4.1.5) \end{aligned}$$

Пусть  $H_j$  и  $H_{j+1}$  — два нормализующих секториальных отображения, определенных на соседних секториальных областях  $\Omega_j$  и  $\Omega_{j+1}$ , и  $\Phi_{j,j+1} \stackrel{def}{=} H_{j+1}^{-1} \circ H_j$  — функция перехода отображения  $F$ . Тогда для функции перехода  $\tilde{\Phi}_{j,j+1}$  отображения  $\tilde{F}$  выполнено:

$$\tilde{\Phi}_{j,j+1} = G_{j+1}^{-1} \circ G_j = H_{j+1}^{-1} \circ H \circ (H^{-1} \circ H_j) = H_{j+1}^{-1} \circ H_j = \Phi_{j,j+1}$$

Отсюда следует совпадение соответствующих росткам наборов функциональных инвариантов.

Достаточность.

Пусть для определённых выше отображений  $F$  и  $\tilde{F}$  заданы системы секториальных нормализующих отображений  $\{H_j\}$  и  $\{G_j\}$  соответственно и по ним построены наборы функций перехода  $\{\Phi_j\}$ ,  $\{\tilde{\Phi}_j\}$ :

$$\Phi_{j,j+1} = H_{j+1}^{-1} \circ H_j, \quad \tilde{\Phi}_{j,j+1} = G_{j+1}^{-1} \circ G_j$$

Так как  $F$  и  $\tilde{F}$  являются представителями ростков, то без ограничения общности можем считать, что функции перехода определены на одних и тех же секториальных областях.

Пусть наборы функциональных инвариантов, соответствующие этим наборам функций перехода, совпадают; тогда совпадают и сами наборы функций перехода:

$$\Phi_{j,j+1} = \tilde{\Phi}_{j,j+1}$$

Положим  $D_j \stackrel{def}{=} H_j \circ G_j^{-1}$  на каждой секториальной области  $\Omega_j$  соответственно. Тогда на пересечении соседних областей  $j$  и  $j+1$  выполнено следующее:

$$D_j = H_j \circ G_j^{-1} = H_{j+1} \circ \Phi_{j,j+1} \circ \tilde{\Phi}_{j,j+1}^{-1} \circ G_{j+1}^{-1} = H_{j+1} \circ G_{j+1}^{-1} = D_{j+1}$$

Поэтому на объединении всех секториальных областей корректно определено отображение  $D$ , совпадающее с  $D_j$  на  $\Omega_j$ . Это отображение сопрягает  $F$  и  $\tilde{F}$ :

$$\tilde{F} \circ D_j = \tilde{F} \circ H_j \circ G_j^{-1} = H_j \circ F_\lambda \circ G_j^{-1} = H_j \circ G_j^{-1} \circ F = D_j \circ F$$

Осталось отметить, что по теореме Хартогса [?]  $D$  аналитически продолжается до локального голоморфизма  $\mathcal{D}$ . Более того, из оценок секториального нормализующего отображения следует выполнение условий нормировки (4.1.4) из определения строгой эквивалентности. Это дает строгую аналитическую эквивалентность ростков  $\mathbf{F}$  и  $\tilde{\mathbf{F}}$ .  $\square$

## 4.2. Реализация

Пусть  $\mathbf{M}_\lambda$  — пространство, элементами которого являются всевозможные наборы  $(A_{j,j+1}, B_{j,j+1}, C)$ ,  $j = 2, 3, 4$ , удовлетворяющие (4.1.3). В этом разделе будет доказана следующая теорема.

**Теорема 4.2.1** (о реализации). *Для любого набора  $t \in \mathbf{M}_\lambda$  найдётся росток  $F \in \mathbf{F}_\lambda$  такой, что  $t = t_F$ .*

Из определения областей стандартного покрытия следует, что  $\Omega_j$  и  $\Omega_{j+1}$  пересекаются. Пересечение областей стандартного покрытия будем называть *стандартным пересечением* и обозначать  $\Omega_{j,j+1}$ . Набор стандартных пересечений, соответственно, обозначим  $\{\Omega_{j,j+1}\}$ .

**Замечание 4.2.1.** *Заметим, что по стандартному пересечению может быть однозначно восстановлено стандартное покрытие.*

**Определение 4.2.1.** *Будем говорить, что набор областей  $A = \{A_j\}$  вписан в набор областей  $B = \{B_j\}$ , если для любого  $j$  область  $A_j$  является подобластью  $B_j$ .*

**Определение 4.2.2.** Набор областей  $\{E_j\}$  (набор  $\{E_{j,j+1}\}$ ) будем называть секториальным покрытием (соответственно секториальным пересечением), если в  $\{E_j\}$  можно вписать стандартное покрытие и  $\{E_j\}$  можно вписать в стандартное покрытие (для набора  $\{E_{j,j+1}\}$  — аналогично).

### Построение топологического пространства $\mathcal{M}$

Пусть  $m = (A_{j,j+1}, B_{j,j+1}, C)$  — элемент пространства  $\mathbf{M}_\lambda$ . Определим по  $m$  набор отображений  $\{\Upsilon_{j,j+1}(t, \tau)\}$  с областями определения  $\Theta_{1,2} = \mathbb{C}^2$ ,  $\Theta_{2,3} = (\mathbb{C}, \infty) \times (\mathbb{C}, 0)$ ;  $\Theta_{3,4} = \mathbb{C} \times (\mathbb{C}, 0)$ ,  $\Theta_{4,1} = (\mathbb{C}^2, 0)$  по правилу:

$$\begin{aligned} \Upsilon_{1,2}(t, \tau) &= (t, \tau + C) \\ \Upsilon_{j,j+1}(t, \tau) &= \left( t(1 + A_{j,j+1}(t, \tau)), (\tau + B_{j,j+1}(t, \tau))(1 + A_{j,j+1}(t, \tau))^{-\frac{\lambda}{2\pi i}} \right), \quad j = 2, 4 \\ \Upsilon_{3,4}(t, \tau) &= \left( t(1 + A_{3,4}(\tau)), (\tau + B_{3,4}(\tau))(1 + A_{3,4}(\tau))^{-\frac{\lambda}{2\pi i}} \right) \end{aligned} \quad (4.2.1)$$

Области  $\Theta_{j,j+1}$  будем называть *естественными* областями определения функций  $\Upsilon_{j,j+1}$ . Запишем  $\Upsilon_{j,j+1}$  в координатах  $(x, y)$  где  $(t, \tau) = I(x, y)$  из (3.5.12):

$$\Phi_{j,j+1} \stackrel{def}{=} I^{-1} \circ \Upsilon_{j,j+1} \circ I$$

Будем называть *естественной* областью определения отображения  $\Phi_{j,j+1}$  часть прообраза области  $\Theta_{j,j+1}$  при отображении  $I$ , где обе компоненты отображения  $\Phi_{j,j+1}$  голоморфны; естественные области определения будем обозначать  $dom\Phi_{j,j+1}$ . Заметим, что в силу определения компонент  $A_{j,j+1}$  и  $B_{j,j+1}$  выполнено:

$$\forall N \in \mathbb{N} : \Phi_{j,j+1}(x, y) - (x, y) = (o(|x|^{-N}), o(|x|^{-N})), \quad x \rightarrow 0, \quad (x, y) \in dom\Phi_{j,j+1} \quad (4.2.2)$$

Без ограничения общности можем считать, что, в силу (4.2.2), в набор  $\{dom\Phi_{j,j+1}\}$  может быть вписано стандартное пересечение  $\{U_{j,j+1}\}$  такое, что:

- наборы  $\{\Phi_{j,j+1}(U_{j,j+1})\}$  и  $\{\Phi_{j,j+1}^{-1}(U_{j,j+1})\}$  тоже вписаны в  $\{dom\Phi_{j,j+1}\}$ ;
- в набор  $\{U_{j,j+1} \cap \Phi_{j,j+1}(U_{j,j+1}) \cap \Phi_{j,j+1}^{-1}(U_{j,j+1})\}$  может быть вписано некоторое стандартное пересечение.

Тем самым наборы

$$\begin{aligned}\{E_{j,j+1}\} &\stackrel{def}{=} \{\Phi_{j,j+1}^{-1}(U_{j,j+1}) \cap U_{j,j+1}\} \\ \{Z_{j,j+1}\} &\stackrel{def}{=} \{U_{j,j+1} \cap \Phi_{j,j+1}(U_{j,j+1})\}\end{aligned}$$

являются наборами секториальных пересечений. Причём

$$\Phi_{j,j+1}(E_{j,j+1}) = Z_{j,j+1}$$

Выберем некоторую секториальную область  $V_j$  так, что она «связывает» области  $E_{j,j+1}$  и  $Z_{j-1,j}$  в односвязную секториальную область. Кроме того, будут выполнены также условия замечаний 4.2.2 и 4.2.4 (см. ниже). Возможность построения такой области следует из построения областей стандартного пересечения. Построим набор секториальных областей  $\{\Omega_j\}$  по правилу:

$$\Omega_j \stackrel{def}{=} Z_{j-1,j} \cup V_j \cup E_{j,j+1} \quad (4.2.3)$$

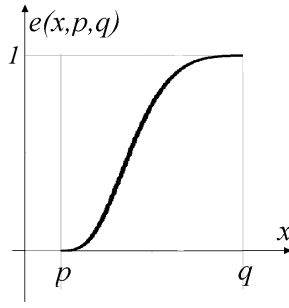
Рассмотрим топологическое пространство  $\mathcal{M}$  полученное из  $\{\Omega_j\}$  склейкой по отображениям  $\Phi_{j,j+1}$  по следующему правилу. Пусть элементами пространства  $\Omega_j \times \{j\}$  являются точки  $(x, y) \times \{j\}$ . Тогда  $\forall j$  отображения склейки  $\Phi_{j,j+1}$  действуют из  $E_j \times \{j\}$  в  $Z_{j+1,j+2} \times \{j+1\}$ . Элементами  $\mathcal{M}$  будут:

$$\begin{aligned}&\text{точки } (x, y) \times \{j\}, \text{ если } (x, y) \in \Omega_j \setminus (Z_{j,j+1} \cup E_{j,j+1}) \\ &\text{пары } ((x, y) \times \{j\}, \Phi_{j,j+1}(x, y) \times \{j+1\}), \text{ если } (x, y) \in E_{j,j+1}\end{aligned}$$

Пусть  $\pi_j : \Omega_j \rightarrow \mathcal{M}$  — естественные вложения; пусть  $W_j \stackrel{def}{=} \pi_j(\Omega_j)$ . Топологию на  $\mathcal{M}$  определим стандартным образом: множество  $U \subset \mathcal{M}$  открыто если и только если  $\forall j$  множества  $\pi_j^{-1}(U \cap W_j)$  открыты. Тогда  $(W_j, \pi_j^{-1})$  — естественные карты многообразия  $\mathcal{M}$ ,  $\Phi_{j,j+1}$  — их функции перехода:

$$\pi_{j+1}^{-1} \circ \pi_j = \Phi_{j,j+1} \quad (4.2.4)$$

**Замечание 4.2.2.** *Без ограничения общности можем считать, что в силу выбора областей  $V_j$ , пространство  $\mathcal{M}$  является хаусдорфовым, поэтому карты  $(W_j, \pi_j^{-1})$  определяют на  $\mathcal{M}$  структуру комплексного многообразия. Совокупность  $W = \{W_j\}$  образует открытое покрытие многообразия  $\mathcal{M}$ .*



Введём вспомогательную функцию

$$e(x, p, q) = \exp\left(\frac{-\exp\left(\frac{-1}{(q-x)^2}\right)}{(p-x)^2}\right), \quad x \in (p, q)$$

её график представлен на рис. выше.

**Замечание 4.2.3.** Функция  $e(x, p, q)$  — бесконечно гладкая и ограниченная на замыкании области определения.

**Замечание 4.2.4.** В силу построения областей  $E_{j,j+1}$ ,  $Z_{j,j+1}$  и выбора  $V_j$ , существует стандартное пересечение  $\{\omega_{j,j+1}\}$  с параметрами  $d$ ,  $\tilde{d}$  и  $\tilde{R}$  такое что области  $\omega_{j,j+1}$  вписаны в  $E_j \cap Z_j$  (для подходящих  $0 < d < \delta$ ,  $\tilde{\delta} < \tilde{d} < \frac{\pi}{2}$ ,  $\tilde{R} > R$ , где  $\delta$ ,  $\tilde{\delta}$  и  $R$  — параметры стандартного пересечения  $\{U_{j,j+1}\}$ ).

Пусть кривые  $\arg x = \alpha_{j,j+1}(|x|)$  и  $\arg(x) = \beta_{j,j+1}(|x|)$  задают «левую» и «правую» границу секториальной области  $\omega_{j,j+1}$  (то есть  $\omega_{j,j+1} = \{(x, y) : \alpha_{j,j+1}(|x|) \leq \arg(x) \leq \beta_{j,j+1}(|x|)\}$ ).

По стандартному пересечению  $\{\omega_{j,j+1}\}$  построим стандартное покрытие  $\{\omega_{j,j+1}\}$ . Определим на каждом  $\omega_j$  срезающую функцию  $\theta_j$  по правилу:

$$\theta_j = \begin{cases} 1, & (x, y) \in \omega_j \setminus (\omega_{j,j+1} \cup \omega_{j-1,j}) \\ 1 - e(\arg x, \alpha_{j-1,j}(|x|), \beta_{j-1,j}(|x|)), & (x, y) \in \omega_{j-1,j} \\ e(\arg x, \alpha_{j,j+1}(|x|), \beta_{j,j+1}(|x|)), & (x, y) \in \omega_{j,j+1} \end{cases}$$

Заметим, что функции  $\theta_j$  продолжаемы по тем же формулам с  $\omega_j$  на  $\Omega_j$ . Без ограничения общности можем считать, что  $\theta_j$  определены на  $\Omega_j$ .

## Почти комплексная структура

Определим на  $W_j$  функцию  $\theta_j \circ \pi_j^{-1}$  и продолжим её с  $W_j$  на всё  $\mathcal{M}$ , полагая равной нулю вне  $W_j$ .

Положим

$$G \stackrel{\text{def}}{=} \sum_{j=1}^4 \theta_j \circ \pi_j^{-1} \cdot \pi_j^{-1}$$

Тогда  $G$  действует из  $\mathcal{M}$  в  $\mathbb{C}^2$ . Обозначим  $\mathcal{N}_0$  образ многообразия  $\mathcal{M}$  при отображении  $G$ . Из построения многообразия  $\mathcal{M}$  и отображения  $G$  следует, что,  $\mathcal{N}_0 = (\mathbb{C}_*, 0) \times (\mathbb{C}, 0)$ . Обозначим  $G_j$  сужение  $G$  на  $W_j$ .

**Замечание 4.2.5.** *Несложно проверить, что, если радиусы исходных областей достаточно малы, то  $G$  инъективно на  $\mathcal{M}$ . А, значит,  $G_j$  инъективно на  $W_j$ .*

Из замечания 4.2.5 следует, что существуют обратные отображения  $G^{-1} : \mathcal{N}_0 \rightarrow \mathcal{M}$  и  $G_j^{-1} : G(W_j) \rightarrow W_j$ .

**Замечание 4.2.6.** *Диффеоморфизм  $G : W \rightarrow \mathcal{N}_0$  задаёт на  $\mathcal{N}_0$  почти комплексную структуру (ПКС) [28], индуцированную комплексной структурой  $\mathcal{M}$  (замечание 4.2.2).*

**Замечание 4.2.7.** *Из (4.2.2) и ограниченности срезающих (замечание 4.2.3) следует, что*

$$\begin{aligned} \forall N \in \mathbb{N} : G_j \circ \pi_j - (x, y) &= (o(x^N), o(x^N)), \quad x \rightarrow 0, \quad (x, y) \in \Omega_j \\ \forall N \in \mathbb{N} : \pi_j^{-1} \circ G_j^{-1} - (x, y) &= (o(x^N), o(x^N)), \quad x \rightarrow 0, \quad (x, y) \in G(W_j) \end{aligned} \tag{4.2.5}$$

Более того, из замечания 4.2.3 и вида секториального покрытия  $\{\Omega_j\}$  следует возможность почленного дифференцирования выражения (4.2.5).

Обозначим

$$\begin{aligned} \pi_j^{-1} \circ G_j^{-1} &= (a_j, b_j) \\ \omega_1^j &= d(a_j), \quad \omega_2^j = d(b_j) \end{aligned}$$



Определим на  $\mathcal{N}_0$  две 1-формы по правилу:

$$\omega_1 = \sum_{j=1}^4 \theta_j \circ \pi_j^{-1} \circ G_j^{-1} \cdot \omega_1^j \quad \omega_2 = \sum_{j=1}^4 \theta_j \circ \pi_j^{-1} \circ G_j^{-1} \cdot \omega_2^j$$

Отметим, что в силу построения, функции  $\theta_j \circ \pi_j^{-1} \circ G_j^{-1}$  отличны от нуля лишь на  $G(W_j)$ . Таким образом, 1-формы  $\omega_1$  и  $\omega_2$  в действительности являются суммой двух слагаемых (на пересечении  $G(W_j)$  и  $G(W_{j+1})$ ) и ровно одним слагаемым вне пересечений.

Пусть  $\Omega_h$  — пространство 1-форм, голоморфных на  $\mathcal{N}_0$  в смысле ПКС из замечания 4.2.6. Тогда

**Лемма 4.2.1.** *Радиусы исходных областей могут быть выбраны достаточно малыми для того, чтобы  $\Omega_h = \langle \omega_1, \omega_2 \rangle$ .*

*Доказательство.* По определению индуцированной ПКС, в точках  $B = G(A)$  таких, что  $A \in W_j$ , пространство  $\Omega_h(B)$  голоморфных 1-форм ПКС натянуто на дифференциалы компонент отображения  $G_j^{-1}(B)$ :

$$\Omega_h(B) = \langle \omega_1^j, \omega_2^j \rangle$$

По определению 1-форм  $\omega_1^j, \omega_2^j$ , так как  $(a_{j+1}, b_{j+1}) = \Phi_{j,j+1}(a_j, b_j)$ , то  $\langle \omega_1^{j+1}, \omega_2^{j+1} \rangle = \langle \omega_1^j, \omega_2^j \rangle$  (там, где все они определены — т.е. на пересечении секторов  $G(W_j)$  и  $G(W_{j+1})$ ). Поскольку формы  $\omega_1$  и  $\omega_2$  есть линейные комбинации форм  $\omega_1^j$  и  $\omega_2^j$ , то  $\langle \omega_1^j, \omega_2^j \rangle \subset \Omega_h$ . С учётом асимптотики (4.2.5) и определения срезающих функций, получим линейную независимость 1-форм  $\omega_1$  и  $\omega_2$ . Откуда и следует требуемое:

$$\forall B \in \mathcal{N}_0 : \Omega_h(B) = \langle \omega_1, \omega_2 \rangle$$

□

Таким образом на  $\mathcal{N}_0$  задана почти комплексная структура (ПКС), индуцированная диффеоморфизмом  $G$ .

## Окончание доказательства теоремы о реализации

Определённая таким образом на  $\mathcal{N}_0$  почти комплексная структура является интегрируемой (или, согласно терминологии [28], разрешимой), так как индуцирована.

Продолжим ПКС по непрерывности с  $\mathcal{N}_0 = (\mathbb{C}_*, 0) \times (\mathbb{C}, 0)$  на  $\text{Int}(\overline{\mathcal{N}_0}) = \mathcal{N} = (\mathbb{C}^2, 0)$ , полагая

$$\Omega_h(0, y) = \langle dx, dy \rangle, \quad (0, y) \in \mathcal{N} \setminus \mathcal{N}_0 \quad (4.2.6)$$

Из замечания 4.2.7 и леммы 4.2.1 следует, что определённая таким образом структура на  $\mathcal{N}$  является гладкой, то есть ПКС на  $\mathcal{N}$ . Более того, так как исходная ПКС на  $\mathcal{N}_0$  была интегрируемой, то по непрерывности продолженная ПКС на  $\mathcal{N}$  тоже будет интегрируема.

**Теорема 4.2.2** (Ньюлендера-Ниренберга 5.7.4, [28]). *Всякая разрешимая ПКС определяется (локально) единственной аналитической структурой.*

Из теоремы Ньюлендера-Ниренберга следует, что существует определённое в некоторой окрестности  $\tilde{\mathcal{N}} \subset \mathcal{N}$  точки  $(0, 0)$  голоморфное в смысле ПКС инъективное отображение  $P : \tilde{\mathcal{N}} \rightarrow (\mathbb{C}^2, 0)$  (т.е. такое, что линейное подпространство дифференциальных 1-форм  $\Omega_h$  в точках из  $\tilde{\mathcal{N}}$  порождено дифференциалами компонент отображения  $P$ ); кроме того,  $P \in C^\infty(\tilde{\mathcal{N}})$ . Уменьшая, если требуется, радиусы исходных областей, без ограничения общности можем считать, что  $\tilde{\mathcal{N}} = \mathcal{N}$ .

**Замечание 4.2.8.** *Если отображение  $P$  удовлетворяет теореме Ньюлендера-Ниренберга, то для любого голоморфного и инъективного в некоторой достаточно малой окрестности  $(\mathbb{C}^2, 0)$  отображения  $T$  композиция  $T \circ P$  так же удовлетворяет теореме.*

Пусть  $J_j = P \circ G_j$ . Тогда отображение  $J_j$  действует из  $W_j \subset \mathcal{M}$  в  $\mathbb{C}^2$  и комплексную структуру  $\mathcal{M}$  переводит в комплексную структуру  $\mathbb{C}^2$ . А, зна-

чит,  $J_j$  голоморфно. Отображение  $J = P \circ G$  — биголоморфизм многообразия  $\mathcal{M}$  на  $P(\mathcal{N}_0)$ .

Поскольку отображения склейки  $\Phi_{j,j+1}$  коммутируют с нормальной формой  $F_\lambda$ , то на некоторой подобласти  $\tilde{\mathcal{M}} \subset \mathcal{M}$  корректно определено голоморфное отображение  $\tilde{F}$ , в естественных картах совпадающее в  $F_\lambda$ .

Биголоморфизм  $J$  сопрягает  $\tilde{F}$  с некоторым голоморфным отображением  $\mathring{F}$ , определенным, в свою очередь, на подобласти  $\mathcal{N}_1 = P(G(\tilde{\mathcal{M}}))$ . Как обычно, выбирая параметры исходных областей достаточно малыми, без ограничения общности можем считать, что  $\tilde{\mathcal{M}} = \mathcal{M}$ ,  $\mathcal{N}_0 = G(\mathcal{M})$ ,  $\mathcal{N}_1 = P(\mathcal{N}_0)$ .

Обозначим  $\mathcal{N}_2 = \text{Int}(\overline{\mathcal{N}_1})$ . Обозначим  $L$  часть прямой  $\{x = 0\}$ , пересекающаяся с  $\mathcal{N}$ . Тогда  $L = \mathcal{N} \setminus \mathcal{N}_0$ . Тогда  $\mathring{F}$  голоморфно всюду на  $\mathcal{N}_2$  кроме  $P(L)$ . Заметим, что сужение  $P$  на  $L$  голоморфно (это следует из (4.2.6)), так что  $P(L)$  — аналитическая кривая и, согласно [30], является «тонким множеством». Таким образом, согласно теореме Римана (см. теорему 2, гл.3 §7 [30]),  $\mathring{F}$  продолжается до некоторого  $\dot{F}$ , голоморфного на  $\mathcal{N}_2 = (\mathbb{C}^2, 0)$ .

Заметим, что отображение  $\hat{G}_j \stackrel{\text{def}}{=} G_j \circ \pi_j$  является гладким (согласно построению) и сопрягает отображение  $F_\lambda$  с некоторым гладким отображением  $\hat{F}_j$ , заданным на  $\hat{\Omega}_j = \hat{G}_j(\Omega_j) \subset \mathcal{N}$ .

В силу построения, существует некоторая секториальная область  $\tilde{V}_j \subset V_j$  ( $V_j$  из (4.2.3)) такая, что срезающая  $\theta_j$  равна 1 на  $\tilde{V}_j$ . Тогда на этой секториальной области пространство голоморфных 1-форм  $\Omega_h$  порождено  $\langle dx, dy \rangle$ . То есть  $\hat{G}_j$  голоморфно на  $\tilde{V}_j$ . Следовательно, отображение  $P$  голоморфно в образе  $\hat{G}_j(\tilde{V}_j)$ . То есть ряд Тейлора отображения  $P$  с центром в точках области  $\hat{G}_j(\tilde{V}_j)$  (понимаемый в вещественном смысле) не содержит переменных  $\bar{x}, \bar{y}$ . Так как  $(0, 0) \subset \partial\tilde{V}_j$ , то из асимптотических формул замечания 4.2.7 следует, что  $(0, 0) \in \partial\hat{G}_j(\tilde{V}_j)$ . Тогда, по непрерывности, ряд Тейлора отображения  $P$  с центром в начале координат также не содержит  $\bar{x}$  и  $\bar{y}$ . Отсюда следует, что  $F_\lambda$  формально эквивалентно  $\dot{F}$  (в комплексном

смысле). То есть  $\dot{F}$  — полугиперболическое отображение.

Согласно доказанной в работе [?] теореме о полужормальной классификации, а так же следствию 1 из неё, для любого натурального  $N$  существует голоморфная замена координат  $T_N$ , сопрягающая  $F_\lambda$  с полугиперболическим отображением  $\dot{F}$  с точностью до невязки  $(o(x^N), o(x^N))$  при  $x \rightarrow 0$ . Тогда отображение

$$H_j \stackrel{def}{=} T_2 \circ J_j \circ \pi_j$$

определённое на  $\Omega_j$ , голоморфно, нормировано и сопрягает нормальную форму  $F_\lambda$  с голоморфным отображением  $F$ , имеющим следующий вид:

$$F(x, y) = F_\lambda(x, y) + (o(x^2), o(x^2)), \quad x \rightarrow 0$$

Так что  $F$  строго формально эквивалентно  $F_\lambda$ , то есть является представителем ростка класса  $\mathbf{F}_\lambda$ .

Из построения отображений  $H_j$  следует, что они являются секториальными нормализующими для  $F$ . Но тогда соответствующие им функции перехода равны  $\Phi_{j,j+1}$ :

$$H_{j+1}^{-1} \circ H_j = \pi_{j+1}^{-1} \circ \pi_j = \Phi_{j,j+1}$$

так что в соответствии с построением модулей строгой аналитической классификации исходный набор  $m$  и есть модуль ростка  $\mathbf{F}$ :

$$m = m_F$$

Тем самым теорема о реализации доказана.

## 5. Следствия

### 5.1. Необходимые и достаточные условия существования центрального многообразия

Как известно (теорема Адамара-Перрона [4]), каждому гиперболическому мультипликатору  $\Lambda$  ( $|\Lambda| \neq 0, 1$ ) ростка голоморфного отображения  $F$  в его неподвижной точке соответствует инвариантное одномерное подмногообразие  $\Gamma_\Lambda: F(\Gamma_\Lambda) \subset \Gamma_\Lambda$ , касательного к собственному вектору  $e_\Lambda$ , соответствующему  $\Lambda$ . Однако, для параболического мультипликатора  $\Lambda$  ( $|\Lambda| = 1$ ), это, вообще говоря, не так. Точнее: можно найти формальное инвариантное многообразие  $\tilde{\Gamma}_\Lambda$  (его называют центральным), касающееся  $e_\Lambda$ . В вещественном гладком случае оно — гладкое. Однако оно не всегда является голоморфным. Ниже приводится критерий существования голоморфного центрального многообразия для ростков полугиперболических отображений, сформулированный в терминах построенных ранее модулей.

**Теорема 5.1.1.** Пусть  $(A_{j,j+1}(t, \tau), B_{j,j+1}(t, \tau), C)$ ,  $j = 2, 3, 4$  — набор функциональных инвариантов ростка  $F$  класса  $\mathbf{F}_\lambda$ . Для ростка  $F$  существует голоморфное в  $(\mathbb{C}^2, 0)$  центральное многообразие тогда и только тогда, когда выполнено:

$$B_{2,3}(t, 0) \equiv 0, \quad B_{4,1}(t, 0) \equiv 0, \quad C = 0 \quad (5.1.1)$$

*Доказательство. Достаточность.* Росток отображения  $F_\lambda = (\frac{x}{1-x}, \Lambda y)$  имеет голоморфное на  $(\mathbb{C}^2, 0)$  центральное многообразие  $L = \{y = 0\}$ . Теорема о секториальной нормализации утверждает, что для любого ростка  $F \in \mathbf{F}_\lambda$  существует его представитель  $F$  и существует набор секториальных областей  $\{\Omega_j\}$  такой, что в каждой  $\Omega_j$  росток  $F$  аналитически эквивалентен  $F_\lambda$ , соответствующее (единственное) секториальное нормализующее отображение обозначим  $H_j$ :

$$F \circ H_j = H_j \circ F_\lambda, \quad (x, y) \in \Omega_j$$

Таким образом в каждой секториальной области  $\tilde{\Omega}_j = H_j(\Omega_j)$  существует и единственно голоморфное секториальное центральное многообразие  $M_j = H_j(L \cap \Omega_j)$ . Причём в пункте 3.7 было доказано, что  $M_3$  совпадает с  $M_4$  на пересечении секторов  $\tilde{\Omega}_3 \cap \tilde{\Omega}_4$  и образуют единственное голоморфное центральное многообразие на  $\tilde{\Omega}_3 \cup \tilde{\Omega}_4$ .

Если  $C = 0$ , то функция перехода  $\Phi_{1,2} = H_2^{-1} \circ H_1$  тождественна, откуда следует, что  $H_1 = H_2$  и поэтому  $M_1 = M_2$  на пересечении секторов  $\tilde{\Omega}_1$  и  $\tilde{\Omega}_2$  и образуют единственное голоморфное центральное многообразие на  $\tilde{\Omega}_1 \cup \tilde{\Omega}_2$ .

Рассмотрим многообразия  $M_4$  и  $M_1$ . Как следует из условия (5.1.1) вторая компонента функции перехода  $\Phi_{4,1} = H_1^{-1} \circ H_4$  (отметим, что  $\Phi_{4,1} : \Omega_1 \cap \Omega_4 \rightarrow \Omega_1 \cap \Omega_4$ ), делится на  $\tau = ye^{\frac{\lambda}{x}}$ , отсюда  $\Phi_{4,1}(L \cap (\Omega_1 \cap \Omega_4)) \subseteq L \cap (\Omega_1 \cap \Omega_4)$ . Тогда на пересечении  $\tilde{\Omega}_4 \cap \tilde{\Omega}_1$  выполнено:

$$\begin{aligned} M_4|_{\tilde{\Omega}_4 \cap \tilde{\Omega}_1} &= H_4(L \cap (\Omega_1 \cap \Omega_4)) = \\ &= H_1 \circ \Phi_{4,1}(L \cap (\Omega_1 \cap \Omega_4)) \subseteq H_1(L \cap (\Omega_1 \cap \Omega_4)) = M_1|_{\tilde{\Omega}_4 \cap \tilde{\Omega}_1} \end{aligned}$$

Из аналогичных рассуждений для  $\Phi_{4,1}^{-1}$  следует, что на  $M_4|_{\tilde{\Omega}_4 \cap \tilde{\Omega}_1} = M_1|_{\tilde{\Omega}_4 \cap \tilde{\Omega}_1}$ .

Аналогично при выполнении условия (5.1.1) секториальное центральное многообразие  $M_2$  на пересечении секторов  $\tilde{\Omega}_2$  и  $\tilde{\Omega}_3$  совпадает с  $M_3$ .

То есть для отображения  $F$  такого, что для его функциональных инвариантов выполнено условие (5.1.1) существуют секториальные центральные многообразия  $M_j$ , голоморфные в  $\tilde{\Omega}_j$  такие, что на пересечении областей они совпадают и вместе образуют голоморфное в инвариантное для  $F$  многообразие  $M_0 = \bigcup M_j$ . Из теоремы об устранимой особенности следует, что многообразие  $M = M_0 \cup \{(0, 0)\}$  и есть искомое голоморфное центральное многообразие.

**Необходимость.** Пусть для ростка  $F \in \mathbf{F}_\lambda$  в  $(\mathbb{C}^2, 0)$  существует голоморфное центральное многообразие. Тогда можем его выпрямить и считать равным  $\{y = 0\}$ . В этом случае  $H_1 = H_2$ , следовательно,  $C = 0$ . Так как  $F$  и  $F_\lambda$  сохраняют прямую  $\{y = 0\}$ , то все секториальные нормализующие отобра-

ражения также её сохраняют, что и означает выполнение условия (5.1.1).  $\square$

## 5.2. Связь с одномерной динамикой

Росток конформного отображения  $f : (\mathbb{C}, 0) \rightarrow (\mathbb{C}, 0)$  с неподвижной точкой 0 называется *параболическим*, если он касателен к тождественному в неподвижной точке и не равен тождественному. Два параболических ростка  $f$  и  $g$  называются *аналитически эквивалентными*, если существует росток голоморфной замены координат  $h : (\mathbb{C}, 0) \rightarrow (\mathbb{C}, 0)$ , сопрягающий их:

$$h \circ f = g \circ h \quad (5.2.1)$$

Аналитическая классификация ростков параболических отображений была получена независимо Экаллем [33] и Ворониным [11] и имеет функциональные инварианты (модули Экалля-Воронина).

Два ростка параболических отображений будем называть формально эквивалентными, если существует обратимое формальное отображение  $h$  такое, что (5.2.1) верно как равенство формальных рядов.

**Определение 5.2.1.** *Два ростка параболических отображений будем называть строго эквивалентными, если сопрягающая их замена координат  $h$  имеет вид  $h(x) = x + o(x^2)$ ,  $x \rightarrow 0$ .*

**Замечание 5.2.1.** *Если росток полугиперболического отображения класса  $\mathbf{F}_\lambda$  имеет голоморфное центральное многообразие, то сужение ростка на центральное многообразие является ростком параболического отображения.*

На вопрос: «Как связаны между собой модули Экалля-Воронина и построенные выше модули строгой аналитической классификации полугиперболических отображений?», отвечает следующая теорема.

**Теорема 5.2.1.** *Пусть росток  $F \in \mathbf{F}_\lambda$  имеет голоморфное центральное многообразие. Тогда нетривиальные сужения компонент модуля ростка  $F$*

на центральное многообразие являются модулем Экалля-Воронина сужения ростка  $\mathbf{F}$  на центральное многообразие.

*Доказательство.* Пусть для ростка  $\mathbf{F} \in \mathbf{F}_\lambda$  существует голоморфное центральное многообразие, обозначим его  $M$ . Обозначим  $\mathbf{f}$  сужение ростка  $\mathbf{F}$  на  $M$ . Пусть  $F$  — представитель ростка  $\mathbf{F} \in \mathbf{F}_\lambda$ ,  $\{\Omega_j\}$  — секториальное покрытие, на котором определены нормализующие отображения  $\{H_j\}$ .

**Замечание 5.2.2.** Из построения нормализующего отображения в секториальных областях следует, что  $\forall j : H_j(L) = M$ , где  $L = \{y = 0\}$  — голоморфное центральное многообразие нормальной формы  $F_\lambda$ . А именно: для нормализующих отображений  $H_1$  и  $H_2$  это следует из замечания 3.4.4, для  $H_3$  и  $H_3$  — из доказательства леммы 3.5.2.

Обозначим  $h_i$  сужение  $H_j$  на многообразии  $L$ . Обозначим  $f_0$  сужение нормальной формы  $F_\lambda$  на  $L$ . Заметим, что росток отображения

$$f_0(x) = \frac{x}{1-x}$$

является параболическим.

Обозначим  $\mathbf{f}_0$  класс ростков голоморфных параболических отображений строго формально эквивалентных ростку отображения  $f_0$ .

В силу замечания 5.2.2, так как отображения  $H_j$  сопрягают отображение  $F$  с нормальной формой  $F_\lambda$  в  $\Omega_j = X_j \times \{|y| < \varepsilon\}$ , то  $h_j$  сопрягают  $f$  с  $f_0$  в  $X_j$ . Тогда из определения функциональных инвариантов следует, что нетривиальные сужения функциональных инвариантов ростка  $\mathbf{F}$  на  $L$  (в координатах  $(x, y)$ ), а именно,  $A_{4,1}(x, 0)$  и  $A_{2,3}(x, 0)$  являются функциональными инвариантами ростка  $\mathbf{f}$  в задаче о строгой аналитической классификации параболических отображений (модулем Экалля-Воронина).  $\square$

### 5.3. Проблема включения



**Определение 5.3.1.** Росток голоморфного отображения  $F : (\mathbb{C}^2, 0) \rightarrow (\mathbb{C}^2, 0)$  называется включаемым, если существует голоморфный в  $(\mathbb{C}^2, 0)$  росток векторного поля  $v$  такой, что  $F = g_v^1$  — сдвиг за единичное время вдоль поля  $v$ .

**Определение 5.3.2.** Два голоморфных в  $(\mathbb{C}^2, 0)$  ростка векторных полей  $v$  и  $\tilde{v}$  называются строго формально эквивалентными, если существует формальная замена координат  $H(x, y) = (x + o(x^2), y + o(x))$ ,  $x \rightarrow 0$  такая, что равенство

$$v \circ H = H' \cdot \tilde{v}$$

верно как равенство формальных рядов.

Напомним, что отображение  $F_\lambda = \left(\frac{x}{1-x}, e^{\lambda y}\right)$ ,  $\lambda \in \mathbb{R}_+$  является сдвигом за единичное время вдоль векторного поля  $v_\lambda = x^2 \frac{\partial}{\partial x} + \lambda y \frac{\partial}{\partial y}$ ,  $\lambda \in \mathbb{R}_+$ .

Обозначим  $\mathbf{V}_\lambda$  класс ростков голоморфных в  $(\mathbb{C}^2, 0)$  векторных полей, строго формально эквивалентных ростку поля  $v_\lambda$ .

**Теорема 5.3.1** (О включении в поток). Пусть росток  $\mathbf{F} \in \mathbf{F}_\lambda$  и  $m_{\mathbf{F}}$  — его набор функциональных инвариантов. Тогда существует росток векторного поля  $v$  класса  $\mathbf{V}_\lambda$  ( $v \in \mathbf{V}_\lambda$ ) такой, что росток  $\mathbf{F} = g_v^1$ , если и только если для  $m_{\mathbf{F}}$  выполнено:

$$A_{4,1} = B_{4,1} = A_{2,3} = B_{2,3} = 0$$

*Доказательство. Достаточность.* Пусть  $F$  — представитель ростка  $\mathbf{F} \in \mathbf{F}_\lambda$ . Пусть  $m_{\mathbf{F}} = (A_{j,j+1}, B_{j,j+1}, C)$  — его функциональный модуль;  $\{\Omega_j\}$  — секториальный набор, на котором построены функции перехода отображения  $F$ .

Так как функциональные инварианты  $A_{4,1}$ ,  $A_{2,3}$ ,  $B_{4,1}$  и  $B_{2,3}$  равны нулю, то функции перехода  $\Phi_{2,3}$  и  $\Phi_{4,1}$ , действующие на пересечении секторов  $\Omega_2 \cap \Omega_3$  и  $\Omega_4 \cap \Omega_1$  соответственно, тождественны, то есть  $H_4 = H_1$ ,  $(x, y) \in \Omega_4 \cap \Omega_1$  и  $H_2 = H_3$ ,  $(x, y) \in \Omega_2 \cap \Omega_3$ .

Тем самым на объединении секториальных областей  $\Omega_4 \cup \Omega_1$  корректно определено голоморфное нормализующее отображение, которое совпадает с  $H_4$  на  $\Omega_4$  и с  $H_1$  на  $\Omega_1$ , обозначим его  $H_+$ ; и аналогично в  $\Omega_2 \cup \Omega_3$  определено голоморфное нормализующее отображение  $H_-$ . Тогда функция перехода на пересечении секторов  $\Omega_3$  и  $\Omega_4$  задаётся следующим образом:

$$\Phi_{\mp} \stackrel{def}{=} H_+^{-1} \circ H_- = \left( \frac{-2\pi i}{\frac{-2\pi i}{x} + \ln(1 + A(ye^{\lambda/x}))}, y + e^{-\lambda/x} B(ye^{\lambda/x}) \right)$$

где  $A = A_{3,4}(\tau)$ ,  $B = B_{3,4}(\tau)$ .

Из уравнения

$$H'_+ \cdot v_+ = v_\lambda \circ H_+$$

найдем векторное поле  $v_+$ . Тогда в силу определения ростка  $F_\lambda$ , так как  $F$  аналитически эквивалентен  $F_\lambda$  в объединении секторов  $\Omega_4 \cup \Omega_1$ , то  $F$  является сдвигом за единичное время вдоль поля  $v_+$  в  $\Omega_4 \cup \Omega_1$ .

Аналогично существует  $v_-$  такое, что  $F = g_{v_-}^1$  на объединении секторов  $\Omega_2 \cup \Omega_3$  и  $v_-$  является решением уравнения.

$$H'_- \cdot v_- = v_\lambda \circ H_-$$

Таким образом на пересечении секторов  $\Omega_3 \cap \Omega_4$  определены два векторных поля  $v_+$  и  $v_-$ . Заметим, что векторное поле  $v_\lambda$  удовлетворяет уравнению (проверяется прямыми вычислениями):

$$\Phi'_{\mp} \cdot v_\lambda = v_\lambda \circ \Phi_{\mp}$$

Откуда следует, что на пересечении секторов  $\Omega_3 \cap \Omega_4$  выполнено:

$$\begin{aligned} v_+ &= (H'_+)^{-1} \cdot v_\lambda \circ H_+ \circ H_-^{-1} \circ H_- = (H'_+)^{-1} \cdot (H_+ \circ H_-^{-1})' \cdot v_\lambda \circ H_- = \\ &= (H'_+)^{-1} \cdot H'_+ \cdot (H_-^{-1})' \cdot H'_- \cdot v_- = v_- \end{aligned}$$

Аналогично на пересечении секторов  $\Omega_1$  и  $\Omega_2$  функция перехода

$$\Phi_{\pm} = H_-^{-1} \circ H_+ = (x, y + e^{-\lambda/x})$$

коммутирует с векторным полем  $v_\lambda$ . Поэтому аналогично получается, что  $v_+ = v_-$  на  $\Omega_1 \cap \Omega_2$ . Таким образом существует голоморфное векторное поле  $v_0$ :

$$v_0 = \begin{cases} v_-, & x \in \Omega_2 \cup \Omega_3 \\ v_+, & x \in \Omega_4 \cup \Omega_1 \end{cases}$$

такое, что отображение  $F$  является сдвигом за единичное время вдоль поля  $v_0$ . Областью определения векторного поля  $v_0$  является  $\cup \Omega_j$  — произведение проколотой окрестности начала координат  $\{0 < |x| < \tilde{\varepsilon}\}$  на диск  $\{|y| < \varepsilon\}$ . Поле  $v_0$  голоморфно и ограничено на  $\cup \Omega_j$ , по теореме об устранимой особенности продолжим его на  $x = 0$ . Продолжение обозначим  $v$ . Заметим, что из асимптотики секториальных нормализующих отображений  $H_j$  следует, что росток векторного поля  $v$  принадлежит классу  $\mathbf{V}_\lambda$ . Тогда росток  $\mathbf{F}$  является сдвигом за единичное время вдоль  $\mathbf{v}$  на  $(\mathbb{C}^2, 0)$ .

**Необходимость.** Пусть  $F$  — представитель ростка  $\mathbf{F} \in \mathbf{F}_\lambda$  и  $F = g_v^1$ , где  $v$  — представитель ростка  $\mathbf{v} \in \mathbf{V}_\lambda$ . Тогда из теоремы о секториальной нормализации голоморфных векторных полей [15] следует, что существует секториальный набор  $\{\Omega_j\}$  такой, что на секториальных областях  $\Omega_+$  вида  $\Omega_1 \cup \Omega_4$  и  $\Omega_-$  вида  $\Omega_2 \cup \Omega_3$  соответственно существует пара голоморфных нормализующих отображений  $H_+, H_-$ , сопрягающих поле  $v$  с полем  $v_\lambda$ . Значит,  $H_\pm$  сопрягает и сдвиги за единичное время. Отсюда  $H_4 = H_1 = H_+$  на пересечении секториальных областей  $\Omega_1 \cap \Omega_4$  и  $H_2 = H_3 = H_-$  на  $\Omega_2 \cap \Omega_3$  соответственно, откуда следует, что функции перехода  $\Phi_{4,1}$  и  $\Phi_{2,3}$  тождественны.  $\square$

**Замечание 5.3.1.** Таким образом, если росток класса  $\mathbf{F}_\lambda$  включаем, то из его функциональных инвариантов нетривиальными являются инварианты  $A_{3,4}(\tau)$ ,  $B_{3,4}(\tau)$  и  $C$ . Аналитическая классификация ростков голоморфных векторных полей класса  $\mathbf{V}_\lambda$  имеет три функциональных инварианта: модули Мартине-Рамиса [38], [39] и модуль Мещеряковой-Тессье [15]. Из приведённого выше доказательства (раздел «необходимость») и в тех же

обозначениях следует, что инварианты  $A_{3,4}(\tau)$  и  $C$  являются модулями Мартине-Рамиса ростка  $\nu$ , а  $B_{3,4}(\tau)$  — модуль Мещеряковой-Тессье этого ростка.

## Заключение

В работе получена строгая аналитическая классификация простейших ростков голоморфных двумерных полугиперболических отображений. Для ростков такого класса:

- построены модули строгой аналитической классификации; доказана теорема об эквивалентности и эквимодальности; доказана теорема о реализации;

- найдены необходимые и достаточные условия существования голоморфного центрального многообразия (в терминах построенных модулей); указана связь с модулями Экалля-Воронина строгой аналитической классификации параболических отображений;

- доказана теорема о включении; указана связь с модулями Мартине-Рамиса и Мещеряковой-Тессье строгой аналитической классификации ростков голоморфных векторных полей.

Разработанный в диссертации метод решения гомологических уравнений, по всей видимости, позволит получить аналитическую классификацию ростков многомерных резонансных отображений в более общей ситуации (не только для двумерных полугиперболических отображений, но и для любых гиперболических, а так же в размерности выше 2).

Двумерные полугиперболические ростки возникают как преобразования монодромии трёхмерных векторных полей. Поэтому полученные результаты так же могут быть использованы для исследования орбитальной аналитической классификации трёхмерных векторных полей.

## Обозначения и соглашения

1. Множества, как правило, обозначаются заглавными буквами латинского алфавита, при этом

$\mathbb{N}$  — множество натуральных чисел;

$\mathbb{R}$  — множество действительных чисел;

$\mathbb{R}_+ = \{a \in \mathbb{R} : a > 0\}$ ;

$\mathbb{C}$  — множество комплексных чисел.

2.  $[a]$  — целая часть вещественного числа  $a$ .

3. Символ  $\square$  обозначает конец доказательства.

## Список литературы

- [1] Арнольд В. И. Замечания об особенностях конечной коразмерности в комплексных динамических системах / В. И. Арнольд // Функциональный анализ и его приложения — 1969 — Т.3, вып. I — С. 1–6.
- [2] Арнольд В. И. Лекции о бифуркациях и версальных семействах / В. И. Арнольд // Успехи математических наук, XXVII — 1972 — вып. 5(167) — С. 119–184.
- [3] Арнольд В. И. Дополнительные главы теории обыкновенных дифференциальных уравнений / В. И. Арнольд // М:Наука, — 1978.
- [4] Арнольд В. И. Обыкновенные дифференциальные уравнения / В. И. Арнольд, Ю. С. Ильяшенко // Итоги науки и техн., Современ. пробл. мат., Фундамент. напр., М:ВИНИТИ — 1985 — Т.1 — С. 7–140.
- [5] Белицкий Г. Р. Нормальные формы, инварианты и локальные отображения / Г. Р. Белицкий // Киев:Наукова думка — 1974.
- [6] Бронштейн И. У. Инвариантные многообразия и нормальные формы / И. У. Бронштейн, А. Я. Копанский // Кишинёв:Штиинца — 1992.
- [7] Брюно А. Д. Аналитическая форма дифференциальных уравнений / А. Д. Брюно // Труды ММО — 1971 — Т.25 — С. 119–262.
- [8] Брюно А. Д. Аналитическая форма дифференциальных уравнений / А. Д. Брюно // Труды ММО — 1972 — Т.26 — С. 199–239.
- [9] Брюно А. Д. Аналитические интегральные многообразия / А. Д. Брюно // Доклады АН СССР — 1974 — Т.216 — С. 253–256.
- [10] Брюно А. Д. Локальный метод нелинейного анализа / А. Д. Брюно // М:Наука — 1979.

- [11] Воронин С. М. Аналитическая классификация ростков конформных отображений  $(\mathbb{C}, 0) \rightarrow (\mathbb{C}, 0)$  с тождественной линейной частью / С. М. Воронин // Функц.анализ — 1981 — Т.15, Вып.1 — С. 1–17.
- [12] Воронин С. М. Аналитическая классификация пар инволюций и ее приложения / С. М. Воронин // Функц.анализ — 1982 — Т.16, Вып.2 — С. 94–100.
- [13] Воронин С. М. Орбитальная аналитическая эквивалентность вырожденных особых точек голоморфных векторных полей на комплексной плоскости / С. М. Воронин // Тр.мат.инст.им.Стеклова — 1997 — Т.213 — С. 35–55.
- [14] Воронин С. М. Аналитическая классификация ростков голоморфных отображений с неизолированными неподвижными точками и постоянными мультипликаторами и ее приложения / С. М. Воронин // Вестник ЧелГУ — 1999 — Т.5 — С. 12–30.
- [15] Воронин С. М. Аналитическая классификация седлоузлов / С. М. Воронин, Ю. И. Мещерякова // Тр.ММО — 2005 — Т.66, №1 — С. 93–113.
- [16] Воронин С. М. Проблема Тома в задаче об орбитальной аналитической классификации вырожденных особых точек голоморфных векторных полей на плоскости / С. М. Воронин, Л. Ортис-Бобадилла, Э. Росалес-Гонсалес // ДАН — 2010 — Т.434, №4 — С. 443–446.
- [17] Дюлак А. О предельных циклах / А. Дюлак // М.:Наука — 1980.
- [18] Елизаров П. М. Замечания об орбитальной аналитической классификации ростков векторных полей / П. М. Елизаров, Ю. С. Ильяшенко // Матем.сб. — 1983 — Вып.121(163), №1(5) — С. 111–126.



- [19] Зигель К. Л. О нормальной форме аналитических дифференциальных уравнений в окрестности положения равновесия / К. Л. Зигель // Математика — 1961 — Т.5, вып.2 — С. 103–155.
- [20] Ильяшенко Ю. С. Расходимость рядов, приводящих аналитическое дифференциальное уравнение к линейной нормальной форме в особой точке / Ю. С. Ильяшенко // Функциональный анализ и его приложения — 1979 — Т.13, вып.3 — С. 87–88.
- [21] Ильяшенко Ю. С. В теории нормальных форм аналитических дифференциальных уравнений при нарушении условий А.Д.Брюно расходимость — правило, сходимость — исключение / Ю. С. Ильяшенко // Вестник Московского университета — 1981 — сер. I, №.2 — С. 10–15.
- [22] Ильяшенко Ю. С. Аналитическая теория дифференциальных уравнений, Т. 1 / Ю. С. Ильяшенко, С. Ю. Яковенко // М:МЦНМО — 2013.
- [23] Лазуткин В. Ф. Аналитические интегралы полустандартного отображения и распад сепаратрис / В. Ф. Лазуткин // Алгебра и анализ — 1989 — Т.1, №2 — С. 116–131.
- [24] Мещерякова Ю. И. Формальная классификация вырожденных элементарных особых точек / Ю. И. Мещерякова // Ур.Соб. типа:Сб.науч.раб. Челяб.гос.ун-та, Челябинск — 2002 — С. 197–206.
- [25] Пяртли А. С. Рождение комплексных инвариантных многообразий вблизи особой точки векторного поля, зависящего от параметра / А. С. Пяртли // Функциональный анализ и его приложения — 1972 — Т.6, вып.4 — С. 95–96.

- [26] Пяртли А. С. Циклы системы двух комплексных дифференциальных уравнений в окрестности неподвижной точки / А. С. Пяртли // Тр.ММО — 1978 — Т.37 — С. 95–106.
- [27] Хартман П. Обыкновенные дифференциальные уравнения / П. Хартман // М:Мир — 1970.
- [28] Хермандер Л. Введение в теорию функций нескольких комплексных переменных / Л. Хермандер // М:Мир — 1968.
- [29] Шабат Б. В. Введение в комплексный анализ, т.1 / Б. В. Шабат // URSS — 2015.
- [30] Шабат Б. В. Введение в комплексный анализ, т.2 / Б. В. Шабат // URSS — 2015.
- [31] Cerveau D. Groups d'automorphismes de  $(C, 0)$  et équations différentielles  $ydy + \dots = 0$  (French) / D. Cerveau, R. Moussu // Bull.Soc.Math.France — 1989 — V.116, №4 — P. 459–488.
- [32] Elizarov P. M. Finitely generated group of germs of one-dimensional conformal mappings, and invariants for complex singular points / P. M. Elizarov, Yu. S. Il'yashenko, A. A. Shcherbakov, S. M. Voronin // In Adv. Soviet Math., Amer. Math. Soc., Providence — 1993 — V.14 — P. 57–105.
- [33] Ecalle J. Sur les fonctions resurgentes / J. Ecalle // Orsay.Publ.Math.d'Orsay — 1981.
- [34] Bedford E. Semi-parabolic Bifurcations in Complex Dimension Two / E. Bedford, J. Smillie, T. Ueda // Commun.Math.Phys. — 2017 — V.350, №1 — P. 1–29.

- [35] Hukuara H. Equations différentielles ordinaires du premier ordre dans le champs complexe / H. Hukuara, T. Kimura, T. Matuda // Publ.Math.Soc.of Japan — 1961.
- [36] Il'yashenko Yu. S. Nonlinear Stokes Phenomena / Yu. S. Il'yashenko // Nonlinear Stokes Phenomena, Adv. in Sov.Math.,13, Amer. Math.Soc., Providence — 1992 — P. 1–51.
- [37] Malgrange B. Travoux d'Ecalles et de Martinet-Ramis sur les systemes dynamique / B. Malgrange // Asterisque — 1982 — №582 — P. 59–73.
- [38] Martinet J. Problème de modules pour des équations différentielles non linéaires du premier ordre / J. Martinet, J. P. Ramis // Inst. Hautes Études Sci.PublMath — 1982 — №55 — P. 63–164.
- [39] Martinet J. Classification analytique des équations différentielles non linéaires resonnantes du premier ordre / J. Martinet, J. P. Ramis // Ann.Sci.École norm. supér — 1983 — V.16, №4 — P. 571–621.
- [40] Newton I. Philosophia Naturalis Principia Mathematica /I. Newton // London — 1687.
- [41] Poincare H. Mémoire sur les courbes définies par une équation différentielle I / H. Poincare // J. Math. Pures et Appl. — 1881 — V.7 —P. 375–422.
- [42] Poincare H. Mémoire sur les courbes définies par une équation différentielle II / H. Poincare // J. Math. Pures et Appl. — 1882 — V.8 —P. 251–296.
- [43] Poincare H. Sur les courbes définies par les équations différentielles III / H. Poincare // J. Math. Pures et Appl. — 1885 — V.1 —P. 167–244.
- [44] Poincare H. Sur les courbes définies par les équations différentielles IV / H. Poincare // J. Math. Pures et Appl. — 1886 — V.2 —P. 151–218.

- [45] Poincare H. Sur les problém des trois corps et les équations de la dynamique / H. Poincare // Acta Math., XIII — 1890 — P. 1–271.
- [46] Pfiefer G. A. Existeme of divergent solutions of the functional equations  $\phi[g(x)] = a\phi(x)$ ,  $f[f(x)] = g(x)$ , where  $g(x)$  is a given analytic function, in the irrational case / G. A. Pfiefer // Bull.Amer.Math.Soc. — 1916 — V.22 — pp. 163.
- [47] Rousseaua C. The root of extraction problem / C. Rousseaua // J. of Diff. Equation — 2007 — V.234, Issue 1 — P. 110–141.
- [48] Rousseaua C. Modulus of analytic classification for the generic unfolding of a codimension 1 resonant diffeomorphism or resonant saddle / C. Rousseaua, C. Christopher // Annales de l’institut Fourier — 2007 — V.57, №1 — P. 301–360.
- [49] Rousseaua C. Analytic moduli for Unifoldings of Saddle-Node Vector Fields / C. Rousseaua, L. Teyssier // Mosc.Math.J. — 2008 — V.8, №3 — P. 547–614.
- [50] Rousseaua C. The moduli space of germs of generic families of analytic diffeomorphisms unfolding of a codimension one resonant diffeomorphism of resonant saddle / C. Rousseaua // J. of Diff. Equation. — 2010 — V.248 — P. 1794–1825.
- [51] Stolovitch L. Family of intersecting totally real manifolds of  $(C^n, 0)$  and germs of holomorphic diffeomorphisms / L. Stolovitch // Bulletin de la societe matematique de France — 2015 — V.143, №2 — P. 247–263.
- [52] Stolovitch L. Holomorphic normal form of nonlinear perturbations of nilpotent vector fields / L. Stolovitch, F. Verstringe // Regular and Chaotic Dynamics — 2016 — V.21, №4 — P. 410–436.
- [53] Tessier L. Classification analytique des champs de vecteurs noeud-cols / L. Tessier // C.R.Acad.Sci.Paris — 2003 — V.336, Ser.1, №8 — P. 619–624.

- [54] Tessier L. Equation homologique et cycles asymptotiques d'une singularité neoud-col / L. Tessier // Bulletin des Sciences Mathématiques — 2004 — V.128, №.3 — P. 167–187.
- [55] Tessier L. Analytical classification of singular saddle-node vector field / L. Tessier // Journal of Dynamical and Control Systems — 2004 — V.10, №.4 — P. 577–605.
- [56] Ueda T. Local structure of analytic transformations of two complex variables, I / T. Ueda // J. Math. Kyoto Univ. — 1986 — V.26, №2 — P. 233–261.
- [57] Ueda T. Local structure of analytic transformations of two complex variables, II / T. Ueda // J. Math. Kyoto Univ. — 1991 — V.31, №3 — P. 695–711.
- [58] Voronin S. M. Darboux-Whitney's Problem and Related Questions / Nonlinear Stokes Phenomena // Adv. in Sov.Math.,13, Amer. Math.Soc., Providence — 1992.
- [59] Voronin S. M. An analytic classification of saddle resonant singular points of holomorphic vector fields in the complex plane / S. M. Voronin, A. A. Grinchii // J.Dynam.Control Systems — 1996 — T.2, №1 — P. 21–53.
- [60] Voronin S. M. Invariants for singular points of holomorphic vector fields on complex plane // The Stokes Phenomenon and Hilbert's 16th problem (Groningen, 1995), World Sci. Publ., River Edge, NJ — 1996 — P. 305–323.
- [61] Yoccoz J. C. Linearisation des germes de difféomorphismes holomorphes de  $(\mathbf{C}, 0)$  / J. C. Yoccoz // C.R. Acad.Sci.Paris Ser. I Math. — 1988 — V.306, №1 — P. 55–58.
- [62] Yoccoz J. C. Theorem de Siegel, nombres de Briuno et polynomes quadratiques / J. C. Yoccoz // Asterisque — 1995 — V.231 — P. 3–88.

- [63] Zitomirskii M. Local normal forms for constrained systems on 2-manifolds / M. Zitomirskii // Bol. Soc. Bras.Math. — 1993 — V.24 — P. 211–232.
- [64] Zoladek H. Monografie Matematyczne, New Series / H. Zoladek // Birkhauser, Basel, Boston, Berlin — V.67 — 2006.

**Публикации автора диссертации в журналах, входящих в  
перечень ведущих периодических изданий**

- [65] Шайхуллина П. А. Формальная классификация типичных ростков полугиперболических отображений / П. А. Шайхуллина // Математические заметки СВФУ — 2015 — Т.22, №4 — С. 79–90.
- [66] Шайхуллина П. А. О решении простейшего функционального уравнения в области типа «криволинейная полоса» / П. А. Шайхуллина // Математические заметки СВФУ — 2017 — Т.24, №4 — С. 87–95.
- [67] Шайхуллина П. А. Функциональные инварианты типичных ростков полугиперболических отображений / П. А. Шайхуллина, С. М. Воронин // Чел. Физ.-Мат. Жур. — 2017 — Т.2 — С. 447–455.

**Публикации по теме диссертации, примыкающие к основным**

- [68] Воронин С. М. Секториальная нормализация ростков полугиперболических отображений / С. М. Воронин, П. А. Фомина // Вестник ЧелГУ — 2013 — №. 16 — С. 94–113.
- [69] Воронин С. М. Функциональные инварианты ростков полугиперболических отображений / С. М. Воронин, П. А. Фомина // Дифференциальные уравнения и смежные вопросы: тез. докл. международ. конф. посв. 110-й годовщине И.Г. Петровского — Москва: МГУ, 2011 — С. 173.

- [70] Шайхуллина П. А. Нормализующие преобразования ростков полугиперболических отображений в левых секториальных областях / П. А. Шайхуллина // Комплексный анализ, математическая физика и нелинейные уравнения: тез. докл. междунар. конф. — оз.Банное: Ин-т математики с ВЦ УНЦ РАН, 2018 — С. 89.
- [71] Шайхуллина П. А. Аналитическая классификация полугиперболических отображений / П. А. Шайхуллина // Дифференциальные уравнения и динамические системы: тез. докл. междунар. конф. — Суздаль: ВладГУ, 2018 — С. 217–218.
- [72] Шайхуллина П. А. Строгая аналитическая классификация простейших ростков полугиперболических отображений / П. А. Шайхуллина // Вещественные и комплексные динамические системы: тез. докл. междунар. конф. посв. 75-летию Ю.С. Ильяшенко — Москва: НМУ, 2018 — С. 63–64.